



SAPIENZA
UNIVERSITÀ DI ROMA

FACOLTÀ DI SCIENZE MATEMATICHE FISICHE E NATURALI
CORSO DI LAUREA SPECIALISTICA IN FISICA

CATENE IDEALI CON NUMERO
FISSATO DI AUTO-INTERSEZIONI

SIMONE FRANCHINI
MATR. N° 697666

RELATORE
PROF. GIORGIO PARISI

A.A. 2010/2011

Indice

1	Range e intersezioni di Random Walks	5
1.1	Notazione e generalità	5
1.2	Range di un SRW e distribuzione delle intersezioni	8
1.3	Probabilità di intersezione	10
1.4	Funzione <i>ambiente</i> e distribuzione delle intersezioni	12
2	Intersezioni per monomero vincolate	15
2.1	Proprietà geometriche dei cammini al variare di m	15
2.2	La funzione <i>ambiente</i>	18
3	Processo stocastico a due variabili	34
3.1	Momenti della distribuzione $P_t(M)$	35
3.2	Master equation	37
3.3	Soluzioni perturbative intorno al massimo	38
3.4	Due casi specifici	39
4	Forma dell'<i>ambiente</i> $\pi(m)$	47
4.1	Decomposizione di una catena $m < m_c$	48
4.2	Approssimazione lineare per $\pi(m)$	50
4.3	Caso collassato $m > m_c$ e distribuzione $P_n(m)$	52
5	Modelli termodinamici	54
5.1	Catene interagenti	54
5.2	Modello di Stanley	55
5.3	Energia libera del modello di Stanley repulsivo	57
5.4	Approssimazione per $d \geq 5$	60
6	Conclusioni	66
6.1	Grandi deviazioni di $P_n(M)$ nella direzione negativa	67
6.2	Transizione Coil-Globule	68

Introduzione

Sin dalla sua introduzione, il Random Walk ([1, 2, 3]) è stato uno dei modelli probabilistici di maggiore successo in molti campi scientifici. La definizione più intuitiva che se ne può dare è quella di una traccia lasciata da un punto che si muove a salti: ognuno di questi salti ha direzione e modulo casuali, determinati da una distribuzione di probabilità di qualche tipo. Questa definizione può essere poi generalizzata, pensando al RW semplicemente come una successione ordinata di punti nello spazio.

Proprio questa interpretazione geometrica ha suggerito l'impiego del Random Walk come primo modello di polimero, da cui sono nate una infinità di varianti per includere alcune proprietà non banali dei sistemi reali ([4, 5, 6]). Ad esempio, l'introduzione di vincoli statistici che limitassero il numero di auto-intersezioni ha premesso di modellizzare l'effetto di *volume escluso* (il cui paradigma è rappresentato dal Self-Avoiding Walk, [7]).

In questo lavoro tratteremo in dettaglio le proprietà di auto-intersezione nei Random Walks ([1, 2]). Benché relativamente poco studiate (anche a causa della complessità matematica del problema), queste proprietà rappresentano senza dubbio uno degli aspetti più importanti dei cammini aleatori, essendo correlate in larga misura a quasi tutti i comportamenti dei polimeri reali.

Il nostro scopo principale sarà quello di studiare catene ideali (Random Walks) su reticolo \mathbb{Z}^d , $d \geq 3$, in cui il rapporto fra numero di auto-intersezioni (visite multiple di un dato sito reticolare) e lunghezza totale della catena è fissato ad un numero reale $m \in [0, 1]$. Come vedremo, questo modello mostrerà interessanti proprietà in funzione del parametro m , come ad esempio una transizione di fase per un particolare valore $m_c \in (0, 1)$.

Il primo capitolo di questo lavoro sarà dedicato essenzialmente all'esposizione dell'attuale teoria sulle proprietà di auto-intersezione dei Random Walks, introducendo poi alcune quantità di interesse per lo studio delle intersezioni. Il secondo presenterà i risultati di alcuni esperimenti al computer, mirati all'indagine delle proprietà geometriche dei cammini al variare del parametro m : in particolare, verranno esaminate la distanza end-to-end, e il numero di occupazione dei siti intorno all'origine (*ambiente*).

Nel terzo capitolo verrà introdotto e studiato un processo stocastico (esplicitamente dipendente dal tempo), che consentirà di derivare alcune proprietà matematiche, utili nello studio della distribuzione delle intersezioni.

Il quarto si concentrerà sulle proprietà della funzione *ambiente*, introducendo una teoria microscopica approssimata: in particolare, sarà possibile ottenere una approssimazione lineare, abbastanza accurata per reticoli $d \geq 4$.

In fine, nel quinto capitolo si utilizzeranno i risultati ottenuti in precedenza per studiare un particolare modello termodinamico (il modello di Stanley, [16]), che permetterà a sua volta di approfondire ulteriormente le proprietà dei cammini con m intersezioni per monomero.

Capitolo 1

Range e intersezioni di Random Walks

Questo primo capitolo è dedicato all'esposizione delle proprietà di intersezione dei random walks su reticolo. Dopo una breve introduzione del formalismo utilizzato, verranno definite alcune quantità di interesse per questo lavoro: in particolare, le nozioni di *range* e *intersezione* per random walk semplici, e la distribuzione delle intersezioni sull'ensemble. Per ognuna di queste quantità verranno riassunti i principali risultati dell'attuale teoria, riguardanti essenzialmente valor medio e varianza: per quest'ultima verrà riportato esplicitamente (e, a nostra conoscenza, per la prima volta) un calcolo numerico esplicito degli andamenti asintotici. Si procederà poi con l'introduzione della funzione *ambiente*, e del suo utilizzo per esprimere la distribuzione delle intersezioni.

1.1 Notazione e generalità

Un Random Walk è un processo stocastico definito su un grafo connesso. Detto \mathfrak{S} il grafo di supporto, sia $X_i \in \mathfrak{S}$, $i \in [1, n]$ una sequenza di n variabili casuali indipendenti, distribuite su \mathfrak{S} secondo le distribuzioni $\Pi_i(X_i)$. Chiameremo Random Walk $\omega_n(A, B)$ il set di variabili $S_i \in \mathfrak{S}$, $i \in [0, n]$ individuate dalla relazione

$$S_k = S_0 + \sum_{i=1}^k X_i, \quad (1.1)$$

dove $S_0 = A$, $S_n = B$ (con $A, B \in \mathfrak{S}$). Da un punto di vista geometrico, $\omega_n(A, B)$ è una *catena* di punti in \mathfrak{S} (nodi), associati ad un set di coppie di punti (archi). Sia inoltre $\Omega_n(A, B)$ l'insieme dei possibili set $\omega_n(A, B)$.

I Random Walk che tratteremo, ove non specificato, sono quelli definiti sul reticolo d -dimensionale \mathbb{Z}^d : i nodi di questo grafo sono i vettori $x = (x_1, x_2, \dots, x_d)$ con $x_j \in \mathbb{Z}$, mentre gli archi sono le coppie di punti $x, y \in \mathbb{Z}^d$. In particolare la nostra attenzione si rivolgerà sul cosiddetto Simple Random

Walk (SRW), per il quale tutte le X_i hanno $|X_i| = 1$, e $\Pi_i(X_i) = 1/2d$ per ogni primo vicino di S_{i-1} : per i pattern ottenuti, i nodi collegati dagli archi godranno dunque della proprietà $|S_i - S_{i+1}| = 1$ (chiameremo queste coppie di punti *primi vicini*, o semplicemente NN). Dato il largo uso dei SRW nella modellizzazione dei polimeri ideali, indicheremo i nodi del SRW con il nome di *monomeri*.

Si consideri l'insieme $\Omega_n \equiv \bigcup_{y \in \mathbb{Z}^d} \Omega_n(x, y)$ dei SRW $\omega_n(x, y)$, $\forall y$, sul reticolo d -dimensionale \mathbb{Z}^d (si omette la dimensione nella notazione). Dove non specificato altrimenti, la misura su di esso sarà quella uniforme, considerando dunque un peso pari a $1/|\Omega_n|$ per elemento (per gli insiemi il modulo $|\cdot|$ rappresenterà la cardinalità). Si noti che per un SRW sul reticolo ipercubico \mathbb{Z}^d si ha semplicemente $|\Omega_n| = (2d)^n$.

Verranno ora elencate le definizioni di alcune quantità fondamentali. Chiamiamo $P_n(x, y)$ la probabilità che all' n -esimo passo un cammino partito da x abbia raggiunto il sito y .

$$P_n(x, y) = \mathbb{P}[S_0 = x, S_n = y], \quad (1.2)$$

La funzione gode di un'invarianza traslazionale: introducendo $\delta x = y - x$ abbiamo $P_n(x, y) = P_n(y - x) = P_n(\delta x)$. Gode inoltre della seguente rappresentazione integrale:

$$P_n(\delta x) = (2\pi)^{-d} \int_{[-\pi, \pi]^d} dq e^{iq\delta x} \tilde{\lambda}_d(q)^n. \quad (1.3)$$

La quantità $\tilde{\lambda}_d(q)$ è detta fattore di struttura del reticolo, ed è legata al tipo di reticolo in esame; nel caso del reticolo \mathbb{Z}^d si ha

$$\tilde{\lambda}_d(q) = d^{-1} \sum_{i=1}^d \cos(q_i). \quad (1.4)$$

Data l'importanza che avrà nei prossimi sviluppi, è conveniente indicare il caso particolare $p_n = P_n(0, 0)$, che rappresenta la probabilità di ritrovarsi nel punto d'origine al passo n -esimo. La sua rappresentazione integrale segue dalle (1.3), (1.4), mentre è possibile ottenere un andamento asintotico per grandi n sviluppando il fattore di struttura: si avrà $p_n \sim (d/2\pi n)^{d/2}$.

Il valore atteso del numero di visite al sito y dopo n passi è detto $G_n(x, y)$:

$$G_n(x, y) = \sum_{i=0}^n P_i(x, y), \quad (1.5)$$

definiamo il limite $n \rightarrow \infty$ con $G(x, y)$. In generale i limiti $n \rightarrow \infty$ di funzioni relative all'insieme $\Omega_n(x, y)$ si indicheranno omettendo l'indice basso n . La rappresentazione integrale segue dalla (1.3). Anche in questo caso prestiamo particolare attenzione al caso $G_n(0, 0) = G_n$, che rappresenta il numero medio

di visite all'origine di un cammino di n passi. In particolare è necessario discutere il limite

$$\rho_d = \lim_{n \rightarrow \infty} G_n. \quad (1.6)$$

L'esistenza del limite (1.6) è infatti legata alla dimensionalità, piuttosto che al tipo di reticolo. Dalla sua rappresentazione integrale

$$\rho_d = (2\pi)^{-d} \int_{[-\pi, \pi]^d} dq \left(1 - \tilde{\lambda}_d(q)\right)^{-1} \quad (1.7)$$

si nota ([8]) che $\rho_d < \infty$ solo se $d \geq 3$. Per $d \leq 2$ il numero di ritorni nell'origine è infinito, e il cammino tende ad occupare \mathbb{Z}^d uniformemente. Questo tipo di cammini viene definito *ricorrente*, mentre un ρ_d finito indica una occupazione parziale dello spazio, e i cammini vengono classificati come *transienti*. Il valore di ρ_d è valutabile con l'ausilio del calcolatore, ed è noto per un gran numero di valori di d (anche frazionari).

Detto H un sottospazio di \mathbb{Z}^d , sia $P_n^H(x, y)$ la probabilità che un cammino di lunghezza $n \geq 1$ (con estremi x, y) non abbia incontrato il sottospazio H per i primi $n - 1$ passi.

$$P_n^H(x, y) = \mathbb{P}[S_i \notin H, i \in (0, n)]. \quad (1.8)$$

Da qui passiamo al limite $n \rightarrow \infty$, introducendo la frazione $F^H(x, y)$ di cammini che terminano in $y \in H$ senza aver incontrato H nei primi $n - 1$ passi:

$$F^H(x, y) = \sum_{i=1}^{\infty} P_i^H(x, y). \quad (1.9)$$

Consideriamo infine il caso particolare $H = y$, che rappresenta la frazione di cammini con estremi in x, y che includono l'estremo y una sola volta.

$$F(x, y) = \sum_{i=1}^{\infty} P_i^y(x, y). \quad (1.10)$$

come prima, per $n < \infty$ indicheremo con $F_n(x, y)$. Chiameremo $f_n = P_n^0$ la probabilità che l'origine sia stata raggiunta per la seconda volta esattamente all' n -esimo passo. Questo ci consente di introdurre un altro valore fondamentale: la probabilità C_d di ritorno nell'origine per $n \rightarrow \infty$.

$$C_d = \sum_{i=1}^{\infty} f_i = \mathbb{P}[\exists i | S_i = S_0, i \in (0, \infty)]. \quad (1.11)$$

Chiaramente la probabilità complementare $\bar{C}_d = 1 - C_d$ rappresenterà la frazione di cammini che contengono l'origine una sola volta. Quest'ultima quantità è legata alla ρ_d dalla relazione $\bar{C}_d = \rho_d^{-1}$ ([3]). Si noti come nei cammini ricorrenti il ritorno all'origine sia un evento certo ($C_1 = C_2 = 1$), mentre per $d \geq 3$ si abbia una frazione finita che riesce a sfuggire. In ultimo, si riporta da [1] che $F(x, y) = [1 - F(0, 0)]G(x, y)$ per $x \neq y$, con $F(0, 0) = C_d$.

1.2 Range di un SRW e distribuzione delle intersezioni

Sia $R[\omega_n(x, y)]$ il numero di siti di \mathbb{Z}^d occupati almeno una volta dal cammino; questa quantità è nota come *range* del SRW $\omega_n(x, y)$. Sia inoltre $M[\omega_n(x, y)]$ il numero di volte in cui percorrendo $\omega_n(x, y)$ da un estremo all'altro si incontra un sito già visitato (numero di *intersezioni*). Le due quantità sono legate dalla relazione

$$R[\omega_n(x, y)] + M[\omega_n(x, y)] = n + 1. \quad (1.12)$$

Per evitare di appesantire la notazione, ove non sia necessario indicare gli estremi dei cammini chiameremo queste due quantità con R_n e M_n . Dalla (1.12) è evidente come tutti i risultati validi per il range, siano immediatamente applicabili al numero M_n delle intersezioni. Di conseguenza per tutta questa sezione ci occuperemo della sola variabile *range*, così da presentare direttamente i notevoli risultati disponibili in letteratura. Introduciamo le notazioni per aspettazione e varianza della variabile s , distribuita secondo $P(s)$: il valore atteso è $\langle s \rangle = \sum sP(s)$, la varianza invece verrà indicata con $\langle \Delta s^2 \rangle = \langle (s - \langle s \rangle)^2 \rangle$.

Riportiamo ora un risultato fondamentale su distribuzione, aspettazione e varianza del range : dette ξ_n, ξ le variabili

$$\xi_n = \frac{R_n - \langle R_n \rangle}{\sqrt{\langle \Delta R_n^2 \rangle}}, \quad (1.13)$$

$$\xi = \lim_{n \rightarrow \infty} \xi_n, \quad (1.14)$$

Jain, Orey e Pruitt ([9, 10]) hanno rigorosamente dimostrato che, per $d \geq 2$, la variabile ξ ammette una distribuzione

$$P(\xi) = \frac{1}{\sqrt{2\pi}} \exp\left(-\frac{1}{2}\xi^2\right) \quad (1.15)$$

ovvero, nel limite di $n \rightarrow \infty$, la variabile ξ_n tende ad avere una distribuzione normale con $\langle \xi_n \rangle = 0$, $\langle \Delta \xi_n^2 \rangle = 1$.

In particolare Erdos, Dvoretzky, Jain, Orey, Pruitt e Torney ([9, 10, 11, 12]) hanno calcolato gli andamenti di varianza e aspettazione per $d = 2$ (cammini ricorrenti):

$$\langle R_n \rangle = \frac{\pi n}{\log(n)} + \mathcal{O}(\log \log(n) \log^{-2}(n)) \quad (1.16)$$

$$\langle \Delta R_n^2 \rangle = \frac{\sigma_2^2 n^2}{\log(8n)^4} + \mathcal{O}(n^2 \log(n)^{-5}) \quad (1.17)$$

La costante σ_2 può essere calcolata analiticamente in forma chiusa. Si noti come il raggiungimento dell'andamento asintotico sia particolarmente lento per la varianza in $d = 2$; è in realtà possibile fornire una stima migliore di ordine $\mathcal{O}(\sqrt{n} \log^{-2}(n))$ attraverso una sommatoria.

In effetti i risultati sul caso $d = 2$ sono molteplici, dato l'enorme interesse accademico suscitato sin dai primi anni '50. Ci troviamo tuttavia costretti a

omettere una esposizione sistematica, a causa della loro scarsa rilevanza nell'ambito di questo lavoro: verranno brevemente introdotti quando necessario durante l'esposizione.

Come già detto in precedenza, la nostra trattazione si concentra sui cammini transienti, dunque $d \geq 3$. Per questa categoria valgono i risultati di Jain e Pruitt ([9, 10]):

$$\langle R_n \rangle = \begin{cases} (1 - C_d)n + \Delta_d \left(2 - \frac{d}{2}\right)^{-1} n^{2-\frac{d}{2}} + \mathcal{O}(1) & d \neq 4 \\ (1 - C_4)n + \Delta_4 \log(n) + \mathcal{O}(1) & d = 4 \end{cases}. \quad (1.18)$$

Le costanti C_d sono calcolabili attraverso una integrazione numerica (per $d = 3$ anche in forma analitica). Le Δ_d sono direttamente dipendenti dalle C_d : ne forniremo più avanti i valori espliciti. Per quanto riguarda la varianza, sempre gli stessi autori ([9]) concludono che

$$\langle \Delta R_n^2 \rangle = \begin{cases} \sigma_3^2 n \log(n) + \mathcal{O}(n) & d = 3 \\ \sigma_d^2 n + \mathcal{O}(\sqrt{n}) & d \geq 4 \end{cases}. \quad (1.19)$$

Solo la costante σ_3 è effettivamente calcolata in forma analitica. Ora, benché in [9] questo non sia esplicitamente indicato, è possibile derivare una forma integrale delle costanti σ_d anche per $d \geq 4$, che le rende direttamente calcolabili attraverso una integrazione numerica. La dimostrazione di questi risultati è riportata in appendice nel caso $d \geq 4$.

In particolare, dal teorema di Jain-Pruitt si ottiene la seguente forma esplicita della costante σ_d nel limite (calcoli dettagliati sono riportati in appendice):

$$\sigma_d^2 = C_d \bar{C}_d + 2a \quad (1.20)$$

$$a = \bar{C}_d \sum_{x \neq 0} F(x)^3 (1 + F(x))^{-1} \quad (1.21)$$

Ricordiamo che $F(x) = F(0, x)$ rappresenta la probabilità totale che un cammino, con estremi in $0, x$, e nel limite di lunghezza infinita, abbia occupato l'origine esattamente una volta, ed è uguale a $\bar{C}_d G(0, x) = \bar{C}_d G(x)$ per $x \neq 0$.

Notiamo dalla (1.21) che $a < \infty$ se $\sum_x G(x)^3 < \infty$: questo è vero per $d \geq 4$, mentre in $d = 3$ si avrà una divergenza logaritmica in n , che porta al risultato precedentemente enunciato in (1.19).

Per calcolare esplicitamente le σ_d dobbiamo esprimere $G(x)$ in una forma che ne permetta una agevole integrazione: partiamo dalle (1.3), (1.5), che danno per $G(x)$ la seguente forma integrale

$$G(x) = (2\pi)^{-d} \int_{[-\pi, \pi]^d} dq e^{iqx} \left(1 - \tilde{\lambda}_d(q)\right)^{-1}. \quad (1.22)$$

Quest'ultima espressione può essere scritta attraverso un integrale di funzioni di Bessel modificate, secondo la relazione

$$G(x) = \int_0^\infty d\tau e^{-\tau} \prod_{i=1}^d I_{x_i} \left(\frac{\tau}{d}\right), \quad (1.23)$$

Tabella 1.1:

d	C_d	a	σ_d
2	1	∞	4.09489 (8)
3	0.3405373 (3)	∞	0.21514 (5)
4	0.1932016 (7)	0.06165 (3)	0.27918 (1)
5	0.1351786 (1)	0.02221 (5)	0.16133 (5)
6	0.1047155 (0)	0.01211 (2)	0.11797 (4)
7	0.0858449 (3)	0.00781 (9)	0.09411 (4)
8	0.0729126 (5)	0.00553 (1)	0.07865 (8)

dove x_i è la componente i -esima del vettore di posizione x , e

$$I_k(u) = \int_0^\pi \frac{d\theta}{\pi} e^{u \cos \theta} \cos(k\theta) \quad (1.24)$$

($k \in \mathbb{Z}$) è la funzione di Bessel modificata di ordine k . Da questa espressione è possibile calcolare numericamente una stima inferiore del valore di a , eseguendo la somma in (1.21) per $|x| \leq Q$. Dato il rapido decadimento in x di $G(x)^3$, le stime così impostate sono già ottime per valori di $Q < 12$. Si noti inoltre che la proprietà $I_m(x) = I_{-m}(x)$ permette di suddividere il dominio di integrazione in sottoinsiemi di integrali equivalenti, da risommare con le opportune molteplicità: questo riduce notevolmente il numero calcoli da eseguire.

Nella tabella 1.1 sono riportati alcuni valori di a , σ_d , calcolati con il metodo descritto (tranne i valori di σ_2 , σ_3 che sono tratti da [12]), assieme ai corrispondenti valori di C_d ; l'incertezza è sulle cifre in parentesi.

1.3 Probabilità di intersezione

Vogliamo ora prendere in considerazione la probabilità, da parte di un camminatore, di finire in un sito già visitato in precedenza nell'esecuzione dell' n -esimo passo. Da un punto di vista statico, si può vedere questa quantità come la probabilità che all' n -esimo passo si verifichi una configurazione tale che $S_n = S_{n-k}$ per un qualche $k < n$. In quest'ultima definizione è già possibile individuare la stretta connessione con i risultati della sezione precedente, ottenuti per il numero di intersezioni in situazione statica.

Definiamo dunque il funzionale $\pi[\omega]$, secondo la relazione

$$\pi[\omega] = (2d)^{-1} \sum_{|x|=1} R_x[\omega]. \quad (1.25)$$

dove $R_x[\omega]$ è la funzione caratteristica del set ω (con l'estremo di partenza nell'origine), il cui valore è 1 se $x \in \omega$, e 0 altrimenti: è facile verificare come una integrazione sullo spazio restituisca il range $R[\omega]$ della realizzazione ω . Nella moderna letteratura $R_x[\omega]$ viene indicata come *tempo locale di auto-intersezione* di ordine 0.

Ora, la $\pi[\omega]$, che chiameremo *ambiente*, rappresenta la frazione di siti occupati intorno all'origine, dunque, se proseguiamo il cammino aggiungendo un monomero all'estremo nell'origine, $\pi[\omega]$ rappresenterà proprio la probabilità che questo passo finisca in un sito già occupato dal resto del cammino.

Consideriamo $\pi_n = \langle \pi \rangle$, valore atteso su Ω_n : questo valore rappresenta il numero medio di siti occupati intorno all'origine in un random walk di n passi. Data la simmetria geometrica di un SRW per inversione dell'ordinamento temporale dei siti visitati, questa quantità indica anche la probabilità, per un generico cammino, di saltare in un sito occupato quando viene aggiunto un monomero.

Per calcolare π_n prendiamo un cammino ω che all' n -esimo passo si trovi ad occupare il sito S_k , già precedentemente occupato al tempo $k < n$. Possiamo dividere il cammino in due sottoinsiemi:

$$\begin{aligned}\omega_I &= \{S_j \mid j \in [0, k)\} \\ \omega_L &= \{S_j \mid j \in [k, n]\}\end{aligned}\tag{1.26}$$

dove il sottoinsieme ω_L è un cammino chiuso di $n - k$ passi, mentre ω_I è un qualunque cammino di $k - 1$ passi. Siamo interessati a calcolare la probabilità di una intersezione di qualunque ordine nel passo $n - 1 \rightarrow n$; possiamo ignorare l'insieme ω_I , e calcolare la probabilità che si verifichi una qualunque configurazione chiusa ω_L . Se ridefiniamo l'origine in S_k , notiamo immediatamente l'equivalenza con la probabilità f_{n-k} di ritorno nell'origine esattamente al passo $n - k$. Siccome a noi interessa che l'intersezione avvenga, indipendentemente dal valore di k , sommiamo sulle possibili realizzazioni di ω_L con lunghezza di al massimo n , ottenendo

$$\pi_n = \sum_{k=0}^n f_{n-k} = F_n.\tag{1.27}$$

Dunque π_n è uguale alla probabilità di ritorno all'origine per un cammino di n passi.

Dalla (1.27) si può immediatamente osservare che nel limite di catena infinita si ha $\pi_n \rightarrow C_d$. Possiamo ottenere anche una stima delle fluttuazioni come segue. Si consideri il numero medio di visite all'origine nella forma $G_n = \bar{C}_d^{-1} - \Sigma_n$: da uno sviluppo al primo ordine in analogia con la relazione $\bar{C}_d = \rho_d^{-1}$ ([3]) si ottiene $\pi_n \simeq C_d - \bar{C}_d^2 \Sigma_n$, con Σ_n data dalla relazione (per (1.3), (1.5))

$$\Sigma_n = (2\pi)^{-d} \int_{[-\pi, \pi]^d} dq \tilde{\lambda}_d(q)^n \left(1 - \tilde{\lambda}_d(q)\right)^{-1}.\tag{1.28}$$

L'integrale (1.28) non è esattamente risolvibile, tuttavia è stimabile con buona precisione attraverso le seguenti approssimazioni. Per prima cosa sostituiamo $\cos(q_i)$ nel fattore di struttura con una espansione al secondo ordine in $q = 0$; questo ci porta alla forma $\tilde{\lambda}_d(q) \simeq 1 - (2d)^{-1} |q|^2$. Dato che la $\tilde{\lambda}_d(q)$ così approssimata può assumere valori negativi nel dominio di integrazione della (1.28), dobbiamo cambiare anche il dominio $[-\pi, \pi]^d$ nella ipersfera $q \in \{|q|^2 \leq 2d\}$. Si

noti che il nuovo dominio esclude dall'integrazione le singolarità dell'integrando ai vertici di $[-\pi, \pi]^d$, dando solo metà del valore totale: è quindi necessario introdurre "a mano" un fattore correttivo di $1/2$. Passando alle coordinate polari $dq \rightarrow dV_q = 2\Gamma\left(\frac{d}{2}\right)^{-1} \pi^{-\frac{d}{2}} |q|^{d-1} d|q|$ si ha:

$$\Sigma_n \simeq \frac{2^{2-d}d}{\Gamma\left(\frac{d}{2}\right) \pi^{\frac{d}{2}}} \int_0^{\sqrt{2d}} d|q| |q|^{d-3} \left(1 - \frac{|q|}{2d}\right)^{n+1}. \quad (1.29)$$

Cambiando la variabile di integrazione in $\tau = |q|^2/2d$, otteniamo un integrale di Eulero del primo tipo

$$\Sigma_n \simeq \frac{1}{\Gamma\left(\frac{d}{2}\right)} \left(\frac{d}{2\pi}\right)^{\frac{d}{2}} \int_0^1 d\tau (1-\tau)^{\frac{d}{2}-2} \tau^{n+1}. \quad (1.30)$$

Ora, usando la nota relazione $\int_0^1 d\tau (1-\tau)^\alpha \tau^\beta = \Gamma(\alpha)\Gamma(\beta)\Gamma(\alpha+\beta)^{-1}$, e l'approssimazione di Stirling nel limite $n \rightarrow \infty$, otterremo l'andamento

$$\frac{\Gamma\left(\frac{d}{2}-2\right)\Gamma(n+1)}{\Gamma\left(\frac{d}{2}+n-1\right)} \simeq \Gamma\left(\frac{d}{2}\right) \frac{n^{1-\frac{d}{2}}}{\left(\frac{d}{2}-1\right)}, \quad (1.31)$$

da cui le relazioni per π_n :

$$\pi_n = C_d - \Delta_d n^{1-\frac{d}{2}} + o(1), \quad (1.32)$$

con l'ampiezza di fluttuazione Δ_d data dall'espressione

$$\Delta_d \simeq \frac{4\bar{C}_d^2}{(d^2-3d+2)} \left(\frac{d}{2\pi}\right)^{\frac{d}{2}}. \quad (1.33)$$

Come ultima osservazione, notiamo che la somma $\sum_{t=0}^n \pi_t$ corrisponde al numero medio $\langle M_n \rangle$ di intersezioni in un cammino di n passi: dunque la Δ_d che compare nella (1.32) corrisponde a quella che troviamo nelle relazioni (1.18), valide per il range $\langle R_n \rangle = n+1 - \langle M_n \rangle$.

Chiaramente le espressioni appena ottenute sono valide solo per cammini transienti (nel nostro caso $d \geq 3$), in quanto per quelli ricorrenti l'integrale (1.28) diverge; per $d = 2$ è comunque possibile ricavare l'andamento di π_n differenziando in n la relazione (1.16).

1.4 Funzione *ambiente* e distribuzione delle intersezioni

E' possibile calcolare la distribuzione delle intersezioni $P_n(M)$ a partire dalla media di $\pi[\omega]$ sull'insieme dei cammini $\Omega_n(M)$, definito come

$$\Omega_n(M) \equiv \{|\omega| = n, M[\omega] = M\} \quad (1.34)$$

Detta dunque $|\Omega_n(M)|$ la cardinalità dell'insieme dei cammini con esattamente M intersezioni, definiamo la funzione $\pi_n(M)$ attraverso la relazione:

$$\pi_n(M) = |\Omega_n(M)|^{-1} \sum_{\omega \in \Omega_n(M)} \pi[\omega] \quad (1.35)$$

La $\pi_n(M) \in [0, 1]$ rappresenta la probabilità di incontrare un sito già visitato quando aggiungiamo un monomero ad un cammino di n passi, con esattamente M intersezioni.

Si consideri ora il processo stocastico nella variabile M_t , definito dalle seguenti equazioni:

$$M_{t+1} = M_t + \delta_t M_t, \quad (1.36)$$

$$\delta_t M_t = \theta(w_t - \pi_t(M_t)), \quad (1.37)$$

dove $\theta(\cdot)$ è la funzione di Heaviside, e $w_t \in [0, 1]$ è una variabile aleatoria di supporto, distribuita in modo uniforme nell'intervallo secondo la distribuzione $\partial_w P(w) = 0$. L'eguaglianza tra $P_n(M)$ del SRW e la distribuzione derivante dalle (1.36), (1.37) segue immediatamente dalla definizione di $\pi_t(M)$.

Una diretta relazione funzionale fra $\pi_n(M)$ e la distribuzione $P_n(M)$ può essere fornita attraverso l'introduzione di una distribuzione ausiliaria $\varphi_n(t)$, che assume esclusivamente i valori 0 o 1 al variare del parametro intero $t \in [0, n]$. Introduciamo il funzionale

$$W_n[\varphi] = \prod_{t=1}^n [1 - \varphi_n(t) - \pi_t(M_t[\varphi]) + 2\varphi_n(t)\pi_t(M_t[\varphi])], \quad (1.38)$$

$$M_t[\varphi] = \sum_{\tau=1}^t \varphi_n(\tau) : \quad (1.39)$$

questa quantità corrisponde al peso statistico di una configurazione ω le cui intersezioni sono avvenute esattamente ai tempi $t' | \varphi_n(t') = 1$. Le configurazioni impossibili sono comprese, e danno un peso $W_n[\varphi]$ nullo.

Considerando che la somma $\pi[\omega] + \bar{\pi}[\omega] = 1$ dei pesi su tutte le possibili realizzazioni di $\varphi_n(t)$ deve valere

$$\sum_{\forall \varphi} W_n[\varphi] = \prod_{t=1}^n \sum_{\varphi=1,0} [1 - \varphi_n(t) - \pi_t(M_t[\varphi]) + 2\varphi_n(t)\pi_t(M_t[\varphi])] = 1, \quad (1.40)$$

possiamo esprimere la distribuzione di M attraverso la somma

$$P_n(M) = \sum_{\varphi \in \Phi_n(M)} W[\varphi], \quad (1.41)$$

definita sui φ appartenenti all'insieme

$$\Phi_n(M) = \{|\varphi_n(t)| = n, M_n[\varphi] = M\}, \quad (1.42)$$

che comprende costruzioni di φ con uguale $M_n[\varphi] = M$; si noti come la somma su M della (1.41) dia immediatamente la (1.40).

Attraverso semplici passaggi algebrici, è possibile legare $\pi_n(M)$ a probabilità di intersezione π_n e numero medio di intersezioni $\langle M_n \rangle$ del SRW:

$$\pi_n = \sum_{M=0}^{n-1} \pi_n(M) \cdot P_n(M) \quad (1.43)$$

$$\langle M_n \rangle = \sum_{M=0}^{n-1} M \cdot P_n(M) = \sum_{t=0}^n \sum_{M=0}^{t-1} \pi_t(M) \cdot P_t(M) \quad (1.44)$$

Si individuano subito due valori particolari di $\pi_n(M)$: il primo si ha per $M = 0$, che rappresenta la media dell'ambiente $\pi[\omega]$ sull'insieme $\Omega_n(0)$ dei *Self-Avoiding Walks* (SAW, in appendice è presente un breve riassunto dei risultati noti per questo modello). Questo valore è $\pi_n(0) \rightarrow \eta_d$, che può essere calcolato a partire dalla costante connettiva del SAW μ_d secondo la relazione

$$\eta_d = 1 - \frac{\mu_d}{2d}. \quad (1.45)$$

Il secondo può essere individuato a partire dalle (1.13), (1.14), (1.15): la distribuzione $P_n(M)$ nel limite di $n \rightarrow \infty$ tende ad una delta in $\langle M_n \rangle$, da cui segue che $\lim_{n \rightarrow \infty} \pi_n(\langle M_n \rangle) = \lim_{n \rightarrow \infty} \pi_n = C_d$. Come vedremo più avanti, è possibile imporre una terza condizione legata alla varianza del SRW.

Capitolo 2

Intersezioni per monomero vincolate

Fino ad ora abbiamo considerato catene di lunghezza n , con $M \in [0, n - 1]$ intersezioni; passeremo ora allo studio di cammini caratterizzati da un rapporto fissato $\tilde{m} = n^{-1}M$ tra numero di intersezioni e numero di monomeri. A questo scopo si introducono il parametro reale $m \in [0, 1]$ e l'insieme associato Ω_m , definito come

$$\Omega_m \equiv \{|\omega| = n, M[\omega] = \lfloor m(n - 1) \rfloor\}, \quad (2.1)$$

dove $\lfloor a \rfloor$ indica la parte intera di $a \in \mathbb{R}$. Nel limite di n grandi si ha $m(n - 1) \simeq mn$, dunque possiamo considerare l'insieme Ω_m come l'insieme dei cammini che hanno $m \simeq \tilde{m}$ intersezioni per monomero. Da qui in poi, dove non specificato diversamente, lavoreremo in approssimazione $M = mn$.

In questo capitolo studieremo l'ensemble Ω_m al variare del parametro: in particolare ci si concentrerà sull'interpretazione di simulazioni numeriche, consistenti in cammini di lunghezza $\mathcal{O}(10^3)$ per reticoli con $2 \leq d \leq 6$, realizzati utilizzando una variante a un parametro del Pruned-Enriched Rosenbluth Method (PERM, si veda la sezione relativa in Appendice).

2.1 Proprietà geometriche dei cammini al variare di m

Come primo approccio vogliamo osservare il comportamento della distanza quadratica end-to-end mediata su Ω_m :

$$\mathfrak{R}_n^2(m) = \langle |S_n - S_0|^2 \rangle_{\Omega_m} \quad (2.2)$$

Introduciamo la distribuzione $P_n(m)$, definita attraverso il cambio di variabile $M \rightarrow n^{-1}M$ su $P_n(M)$: dalle (1.13), (1.14) si osserva che $P_n(m)$ tende ad

una delta in C_d per $n \rightarrow \infty$. Ne segue che media e massimo della distribuzione coincidono nel limite considerato, e dunque vale la relazione

$$\mathfrak{R}_n^2(C_d) \simeq \langle \mathfrak{R}_n^2(C_d) \rangle_m, \tag{2.3}$$

con $\langle \mathfrak{R}_n^2(C_d) \rangle_m = n$ raggio quadratico medio del SRW. Nel caso $m = 0$, $\mathfrak{R}_n^2(0)$ corrisponderà alla distanza quadratica media del SAW:

$$\mathfrak{R}_n^2(0) \simeq D n^{2\nu_d} : \tag{2.4}$$

gli esponenti caratteristici per il SAW saranno indicati con ν_d (per una trattazione più dettagliata si veda in appendice).

Dalle simulazioni si osserva che per tutte le dimensioni vale la relazione $\mathfrak{R}_n^2(m) \propto n^{2\nu(m)}$, con $\nu(m)$ esponente critico dipendente da m . Di seguito discuteremo i comportamenti a seconda della dimensionalità d del reticolo.

Il caso $d = 1$ è piuttosto semplice: in una catena unidimensionale il range è proporzionale alla distanza end-to-end, dunque fissare il parametro ad un valore $m < 1$ significa imporre una distanza end-to-end con andamento balistico (proporzionale ad n). In particolare per grandi n si avrà $\mathfrak{R}_n^2(m) \sim (1 - m)^2 n^2$, andamento simile a quello del SAW unidimensionale ($\nu_1 = 1$), che viene recuperato esattamente imponendo $m = 0$.

Un SRW in $d = 1$ ha $\nu = 1/2$, dunque il range medio avrà un andamento $\langle R_n \rangle \propto n^{1/2}$: ne deriva che, per $m \sim 1 - \mathcal{O}(n^{-1/2})$, l'esponente dovrà cadere da $\nu = 1$ a $\nu = 1/2$, determinando una discontinuità di $\nu(m)$ in $m = 1$. Come vedremo a breve, questo comportamento sarà comune a tutte le dimensioni reticolari per un valore critico m_c del parametro.

Per $d = 2$ la situazione è concettualmente simile. Se $m < 1$ si ritrova $\nu(m) = \nu_2$. I cammini bidimensionali sono ancora ricorrenti, dunque si avrà $C_2 = 1$, e la conseguente discontinuità in $m = 1$ (da ν_2 ad $1/2$) per $\nu(m)$. In particolare la (1.16) prevede il salto per $m = 1 - \mathcal{O}(\log(n)^{-1})$. A parte una verifica di $\nu(m < 1) = \nu_2$ (si vedano le Figure 2.1, 2.2), il caso bidimensionale non è stato trattato, preferendo concentrare l'interesse sui reticoli $d \geq 3$.

Il caso $d \geq 3$ presenta infatti un fenomeno interessante: le Figure 2.1, 2.2 indicano l'esistenza di un valore critico $0 < m_c < 1$, oltre il quale le catene collassano in una configurazione semi-compatta con $\nu(m) = 1/d$ (range proporzionale al volume). Per $m < m_c$ si trova invece $\nu(m) = \nu_d$:

$$\nu(m) = \begin{cases} \nu_d & m < m_c \\ \nu_c & m = m_c \\ \frac{1}{d} & m > m_c \end{cases}, \tag{2.5}$$

dove abbiamo indicato con ν_c l'esponente relativo all'andamento critico. Le simulazioni indicano dunque una transizione nel parametro m , dove lo stato esteso scala come un SAW, e quello collassato come un cluster compatto.

Questi dati sono consistenti con un lavoro di Van den Berg, Bolthausen, den Hollander ([13]), in cui viene affrontato il problema di una Wiener Sausage

Tabella 2.1:

d	$\nu(m < m_c)$	$\nu(m = m_c)$	$\nu(m > m_c)$	m_c/C_d
3	ν_3	1/2	1/3	1
4	$1/2$ <i>l.c.</i>	1/2	1/4	1
5	1/2	–	1/5	1.5 \sim 2.7
6	1/2	–	1/6	2.1 \sim 4.4

l.c. indica la correzione logaritmica (2.6)

$W^a(t)$ vincolata ad avere un volume $|W^a(t)| \leq \bar{m}t$: si tratta dell'analogo continuo del problema da noi trattato (i risultati di questo lavoro sono brevemente riassunti in Appendice).

Il lavoro [13] mostra rigorosamente l'esistenza di una m_c , giungendo alle medesime conclusioni per quanto riguarda la configurazione geometrica delle catene sotto il valore critico di \bar{m}_c : in particolare si ipotizza per il caso collassato una configurazione *a gruviera*, con i buchi taglia $\mathcal{O}(1)$, sempre più densi quando ci si allontana dall'origine.

Per le simulazioni in $d = 3$ possiamo fare alcune considerazioni. Dai risultati noti in letteratura per il modello di Stanley repulsivo, quando $m < C_3$ si deve avere $\nu(m) = \nu_3$ (il motivo verrà chiarito più avanti nel capitolo relativo ai modelli termodinamici), mentre, assumendo il medesimo comportamento del modello continuo, da [13] si deduce che $\nu(m > C_3) = 1/3$: sotto queste ipotesi si ha quindi $m_c = C_3$. Si può inoltre concludere che l'andamento di $\mathfrak{R}_n^2(m)$ al punto critico deve avere $\nu_c = 1/2$, ovvero, per $d = 3$ si ha una transizione di tipo *Coil-globule* nel parametro m (questo rappresenta un risultato sorprendente, di cui tratteremo diffusamente nel capitolo conclusivo).

Si noti tuttavia che la configurazione collassata $\nu(m > C_3) = 1/3$ viene raggiunta solo dopo un lungo crossover. La Figura 2.3 mostra ν contro $n^{-1}M$ e $C_3M/\langle M_n \rangle$: il primo caso non tiene conto della taglia finita del sistema simulato, e mostra un esponente $\nu > 1/3$ (cluster non compatto, con buchi percolanti di taglia divergente $\mathcal{O}(n^\epsilon)$), mentre il secondo considera sommariamente le fluttuazioni di $\langle M_n \rangle$, dando un risultato compatibile con l'ipotesi $\nu(m > C_3) = 1/3$.

Allo stesso modo possiamo discutere il caso $d = 4$: sempre dal modello di Stanley, che per $d = 4$, $\beta < \infty$ prevede lo stesso scaling del SAW, quando $m < C_4$ si avrà $\nu(m) = 1/2$ con una correzione logaritmica all'andamento a potenza:

$$\mathfrak{R}_n^2(m < C_4) \propto n \log(n)^{\frac{1}{4}}. \quad (2.6)$$

Questo risultato è confermato dalle simulazioni (Figure 2.1, 2.2), dove troviamo un esponente più grande dell'unità di un ordine $\mathcal{O}(\log(\log(n)) / \log(n))$.

Dai dati si osserva anche che $\nu(m > C_4) = 1/4$, in accordo con il modello continuo: dunque, anche per $d = 4$ la transizione è prevista per $m = C_4$, con $\nu_c = 1/2$ (transizione di tipo *Coil-globule*).

Per quanto riguarda $d \geq 5$, i dati delle simulazioni con $d = 5, 6$ sembrano confermare la (2.5), con $m_c > C_d$ (in accordo con [13]): in Tabella 2.1 sono riassunte le considerazioni fatte fino a questo punto per $3 \leq d \leq 6$.

Un ultimo commento va ai grafici che mostrano la quantità $n^{-2\nu_d} \mathfrak{R}_n^2(m)$ in funzione del parametro m . Il limite

$$\varrho_d(m) = \lim_{n \rightarrow \infty} \frac{\mathfrak{R}_n^2(m)}{\mathfrak{R}_n^2(0)} \tag{2.7}$$

si annulla nel punto critico, e potrebbe essere considerato un buon parametro d'ordine per caratterizzare la transizione: purtroppo i dati nelle Figure 2.4, 2.5, 2.6, 2.7, 2.8, pur rilevando chiaramente il passaggio dalla fase estesa a quella collassata, non hanno una taglia sufficiente per mostrare l'andamento asintotico in prossimità di m_c , e fornire informazioni sull'ordine della transizione.

Per $d = 3, 4$ è comunque possibile stabilire una connessione con il modello di Stanley, che ci consente di fare alcune ipotesi circa il tipo di transizione. In particolare, si anticipa che per $d = 3$ la transizione è supposta continua. La questione sarà trattata più avanti, nel capitolo sui modelli termodinamici.

2.2 La funzione *ambiente*

Passiamo ora all'ambiente $\pi[\omega]$, mediato su Ω_m : definiamo $\pi_n(m) = \langle \pi[\omega] \rangle_{\Omega_m}$, e il suo limite

$$\pi(m) = \lim_{n \rightarrow \infty} \pi_n(m). \tag{2.8}$$

Con un ragionamento identico a quello fatto per $\mathfrak{R}_n^2(m)$, anche in questo caso individuiamo due valori particolari: per $m = C_d$ si deve avere $\pi(C_d) = C_d$, mentre $\pi(0) = \eta_d$. Per quanto riguarda $m < m_c$, le simulazioni indicano l'esistenza di $\pi(m)$: dalla Figura 2.11 (il caso mostrato è $d = 5$, ma si osserva lo stesso anche nelle altre dimensioni) si nota chiaramente come $\pi_n(m)$ converga ad una funzione $\pi(m)$ per $m < m_c$.

Dalle Figure 2.9, 2.10, 2.11, 2.12, 2.13 è anche evidente come $\pi_n(m)$ abbia una discontinuità in m_c , oltre la quale, per problemi di efficienza computazionale, non è stato possibile ottenere dati conclusivi su una eventuale forma di $\pi(m)$.

Possiamo comunque fare alcune osservazioni: i dati suggeriscono infatti $\pi_n(m) < 1$ per $m > m_c$, con $\pi(m)$ continua per $m \rightarrow m_c^+$, $m \rightarrow m_c^-$. Se per $m_c < m < 1$ l'ambiente è ancora $\pi(m) < 1$, ne deriva che il range continua ad avere una frazione di spazio vuoto, di taglia complessiva comparabile, distribuita al suo interno. Dato che se $\nu(m) = 1/d$, si deve avere un volume occupato dalla catena di ordine $\mathcal{O}(\langle R \rangle_{\Omega_m}) = \mathcal{O}(n)$, allora anche il volume complessivo occupato dai buchi dovrà essere di ordine $\mathcal{O}(n)$. Questo è consistente con il comportamento descritto in [13] per la WS collassata, dove si ipotizzano buchi di taglia $\mathcal{O}(1)$ uniformemente distribuiti nel volume del cluster (dando un vuoto complessivo di ordine $\mathcal{O}(n)$).

E' intuitivamente chiaro che

$$\lim_{m \rightarrow 1} \pi(m) = 1 : \quad (2.9)$$

nel limite $m \rightarrow 1$ infatti il range equivale al volume occupato dalla catena, dunque, se l'origine si trova strettamente contenuta in esso, non avrà siti liberi nel suo intorno. Dai dati per n finito si osserva tuttavia un crollo di $\pi_n(m)$ verso il valore $1/2d$ (quando si ha $m = 1$, la catena è ridotta ad un singolo arco tra i siti reticolari, dando necessariamente $\pi_n(1) = 1/2d$): questo avviene quando il volume del cluster diventa molto piccolo, tanto da non consentirci di trascurare la probabilità di avere l'origine sulla frontiera (a titolo d'esempio, in Figura 2.11 è mostrato il caso $d = 5$).

Da queste due relazioni deriva l'idea che, per $n \rightarrow \infty$, sia possibile scomporre $\pi_n(m)$ in due funzioni: una $\pi(m)$ dipendente solo dal rapporto $m = M/n$, e una $\psi_n(m) = 1 - \bar{\psi}_n(m)$, indicante la probabilità di trovarsi sulla frontiera del volume occupato da una catena collassata: avremo dunque

$$\pi_n(m) \simeq \pi(m) \psi_n(m) + \lambda(m) \bar{\psi}_n(m), \quad (2.10)$$

dove solo $\psi_n(m)$ contiene gli effetti di taglia finito del sistema, e $\lambda(m)$ è il valore dell'*ambiente* condizionato al fatto di trovarsi sulla frontiera del cluster ($\lambda(1) = 1/2d$).

Abbiamo detto che gli effetti di bordo insorgono per m prossimo all'unità, quando la catena è un cluster così compresso da avere una frontiera comparabile con il volume: è logico concludere che nel limite $n \rightarrow \infty$ questi effetti siano trascurabili per ogni $m \in [0, 1)$, e che la funzione $\psi_n(m)$ sia apprezzabilmente minore di 1 solo in una zona $m \in [1 - \mathcal{O}(n^{-s}), 1]$, $s < 1$. Come vedremo a breve, l'ordine di decadimento nella zona rilevante è supposto di tipo n^{-s} . Si sottolinea che un effetto di bordo dell'ordine di una potenza può insorgere solo nel caso collassato, perché i decadimenti per effetti di bordo in catene estese sono tipicamente di ordine esponenziale.

Non è stato possibile indagare numericamente $\bar{\psi}_n(m)$ per valori significativi di n ; tuttavia la seguente argomentazione euristica fornisce una stima che, come vedremo più avanti, risulterà in accordo con quanto si osserva sulla WS.

Consideriamo un moto browniano al tempo t , e supponiamo che sia contenuto in una sfera di raggio L : da una analisi agli autovalori dell'equazione di diffusione per la distribuzione $p(t, x)$

$$\partial_t p(t, x) = \mathfrak{D} \nabla^2 p(t, x), \quad (2.11)$$

condizionata $p_t(0) = \delta(0)$, $p_t(L) = 0$, si può mostrare ([2]) che la probabilità \bar{p}_t che il confinamento avvenga è di ordine $\exp(-ctL^{-2})$, con c costante positiva.

Ora, supponendo che lo stesso valga anche per cammini discreti, la probabilità che un cammino di n passi, interamente contenuto in una sfera di raggio L , vi resti anche al passo $(n + 1)$ -esimo sarà

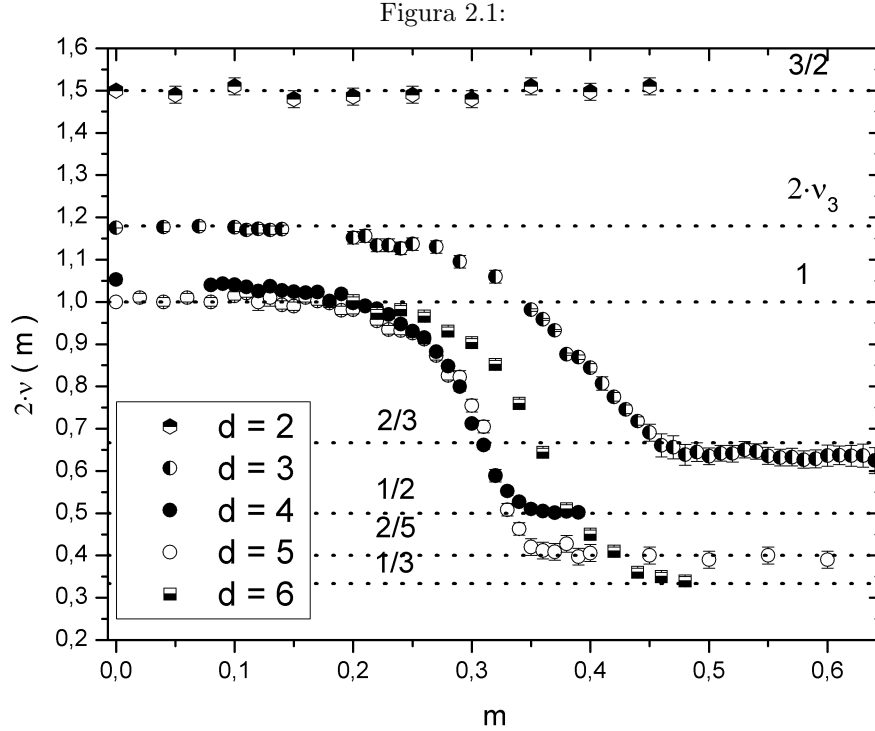
$$\psi_n \simeq \frac{\bar{p}_{n+1}}{\bar{p}_n} \propto \exp(-cL^{-2}). \quad (2.12)$$

Approssimiamo la distribuzione dei monomeri a una distribuzione uniforme nell'interno della sfera, così da avere range e numero di intersezioni proporzionale al volume; questo ci darà $L \sim R^{1/d}$, da cui segue $\psi_n \propto \exp(-cR^{-2/d})$. Infine, espandendo al primo ordine per $R \rightarrow \infty$, e imponendo $\psi_n + \bar{\psi}_n = 1$, si arriva alla relazione $\bar{\psi}_n \propto R^{-2/d}$.

La $\bar{\psi}_n$ trovata è una approssimazione per $\bar{\psi}_n(m)$ nel limite di grandi n , con $m \rightarrow 1$: sostituendo $R = (1 - m)n$ otterremo

$$\bar{\psi}_n(m) \propto [(1 - m)n]^{-\frac{2}{d}}. \quad (2.13)$$

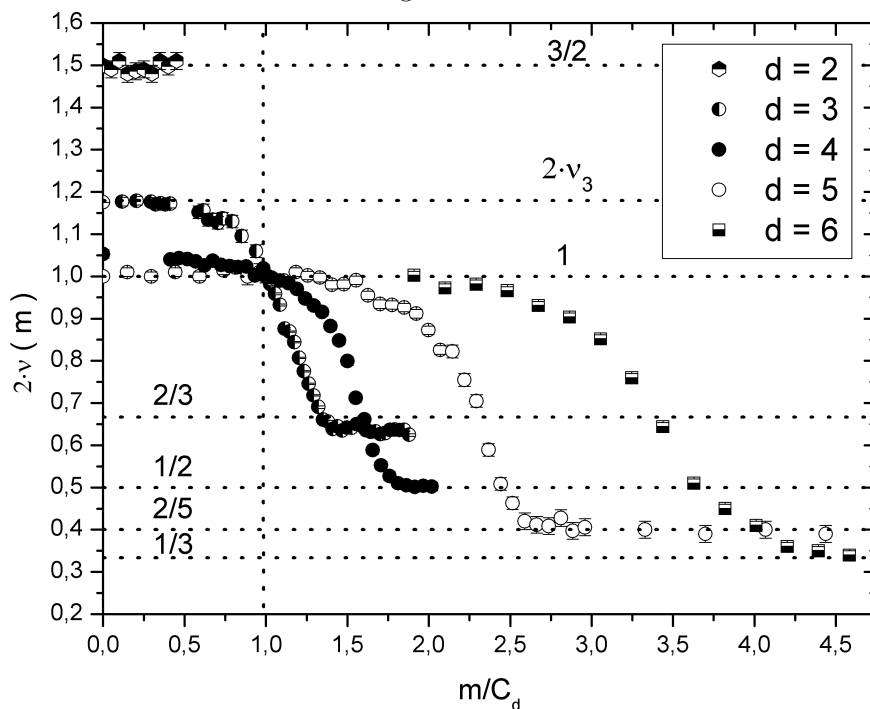
Per il momento non discuteremo $\pi(m)$: verrà trattata diffusamente in un capitolo dedicato, al termine del quale vedremo anche come la stima di $\bar{\psi}_n(m)$ fornita in (2.13) sia in accordo con la distribuzione di volume della WS ([13]) per $m \rightarrow 1$, $n \rightarrow \infty$.



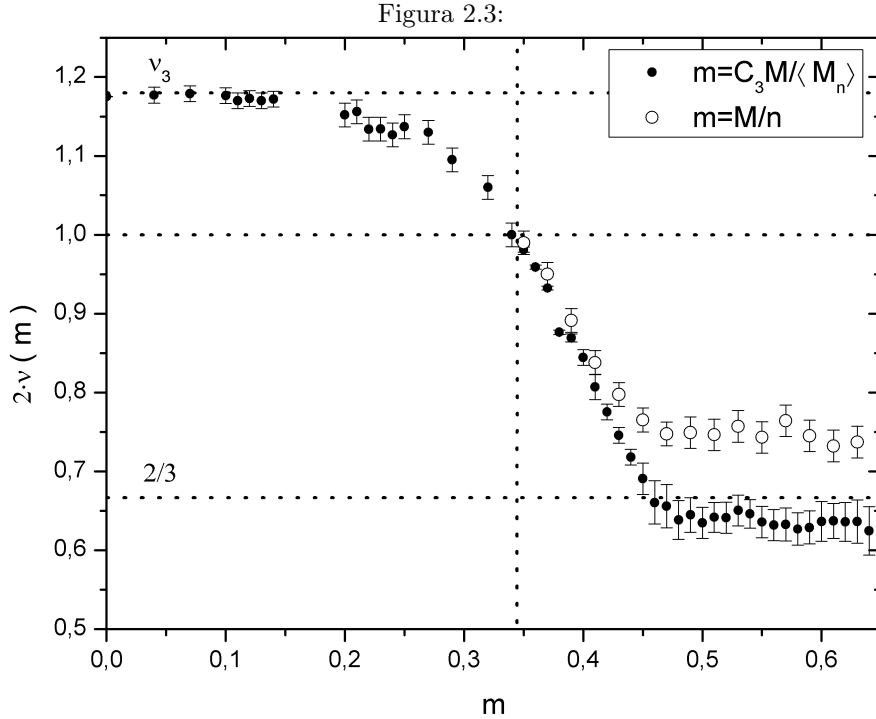
Nel grafico sono riportati i valori di $\nu(m)$, ottenuti da fit di $\log(\mathfrak{R}_n^2(m))$ vs $\log(n)$: il range per ogni fit è $n \in [0.8n_M, n_M]$. La lunghezza massima dei cammini simulati è stata: per $d = 2$, $n_M = 2 \cdot 10^3$, per $d = 3$, $n_M = 10^3$, per $d = 4$, $n_M = 2 \cdot 10^3$, per $d = 5$, $n_M = 10^3$, per $d = 6$, $n_M = 0,5 \cdot 10^3$. Nel caso $d = 3$, inoltre, la $\log(\mathfrak{R}_n^2(m))$ è stata realizzata imponendo un parametro $m = C_3 M / \langle M_n \rangle$ dipendente da n , dove $C_3 / \langle M_n \rangle$ è una correzione inserita per tenere conto che $n < \infty$ (si veda la Figura 2.3). Per $d > 3$ gli effetti di taglia finita sono molto più deboli, e questo accorgimento non è necessario.

Le simulazioni per $d = 4$ mostrano un esponente leggermente maggiore di 1 di un ordine $\mathcal{O}(10^{-2})$: questo è compatibile con la correzione logaritmica prevista, che per catene di $2 \cdot 10^3$ dà un esponente apparente di $\nu \sim 1.067$.

Figura 2.2:



In questo grafico gli stessi valori di $\nu (m)$ in Figura 2.1 sono riportati in funzione del rapporto m/C_d (con $C_2 = 1$). Questo rende più agevole il confronto tra reticoli a dimensionalità differente: in particolare la figura sembra confermare la relazione $m_c > C_d$ per $d = 5, 6$. Si noti che il rapporto m_c/C_d è apparentemente crescente in d .

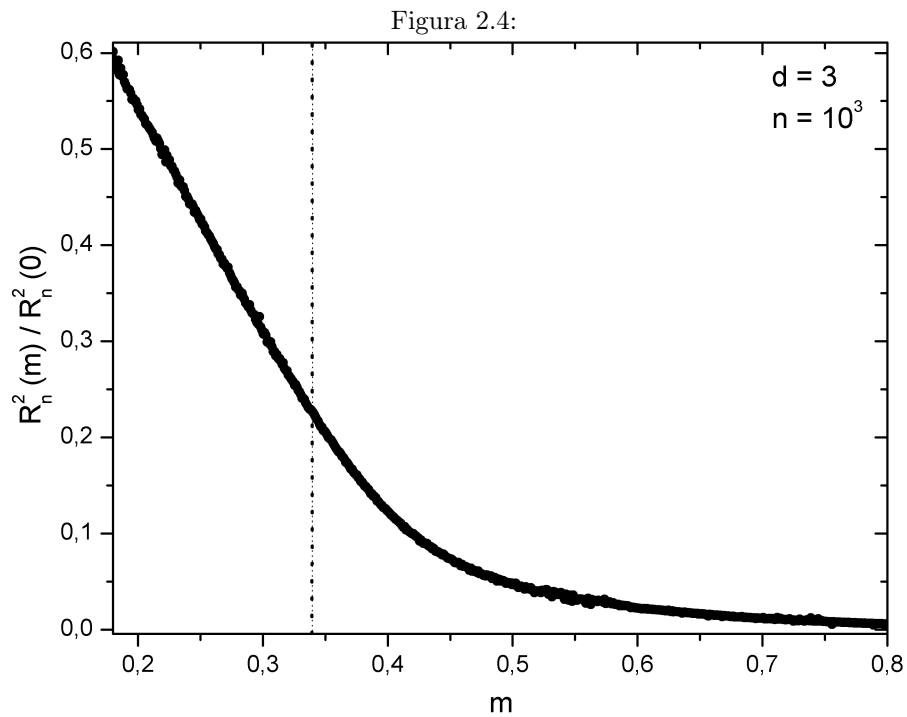


Valori di $\nu(m)$ per $d = 3$, $n_M = 10^3$: nel grafico sono confrontati i dati ottenuti dai fit di $\log(\mathfrak{R}_n^2(m))$ vs $\log(n)$ (punti vuoti) e $\log(\mathfrak{R}_n^2(C_3 n m / \langle M_n \rangle))$ vs $\log(n)$ (punti pieni), con $\langle M_n \rangle = n - \langle R_n \rangle$ dato dalla (1.18).

In pratica, m viene riscaldato con il valore del supporto (range) previsto per un SRW con $n < \infty$. Questo procedimento, esatto per il punto $m = C_d$, costituisce un notevole miglioramento delle simulazioni, almeno per m non troppo lontano da C_d .

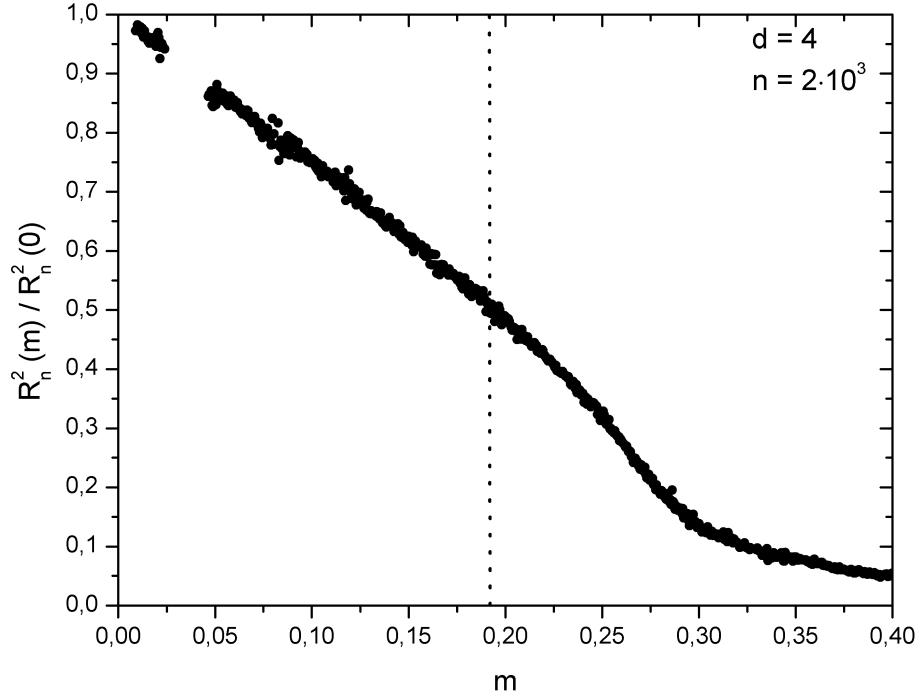
Dai dati con m non corretto appare evidente come, per $n_M = 10^3$, si sia ancora lontani dall'andamento asintotico (le due previsioni devono coincidere): il sistema mostra dunque un comportamento transiente, di cui (a titolo speculativo) si presenta la seguente interpretazione.

L'andamento transiente osservato ha un esponente prossimo a $\nu_\theta = 11/30$, previsto in [14] per uno "Sponge Polymer" al punto θ : a livello speculativo si potrebbe ipotizzare un valore n^* critico tale che, per $n < n^*$, la taglia dei buchi all'interno dei cluster sia $\mathcal{O}(n^{11/10})$ (buchi percolanti). Superato n^* , la crescita smette e si arriva alla configurazione compatta, con $\nu(m) = 1/3$ e buchi di taglia $\mathcal{O}(1)$.



Andamento di $R_n^2(m) / R_n^2(0)$ per $d = 3$, $n = 10^3$: la linea verticale rappresenta il punto $m = C_3$, dove è previsto l'annullamento di $\varrho_3(m)$. Dal grafico non è tuttavia possibile chiarire la natura della transizione: in particolare se il limite $\varrho_3(m)$ è discontinuo in m_c .

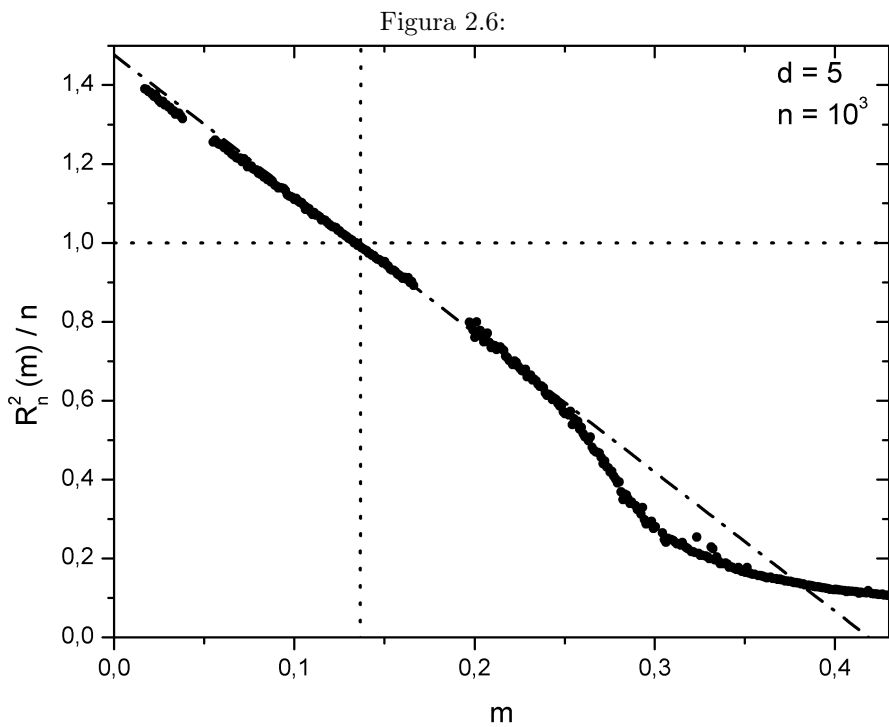
Figura 2.5:



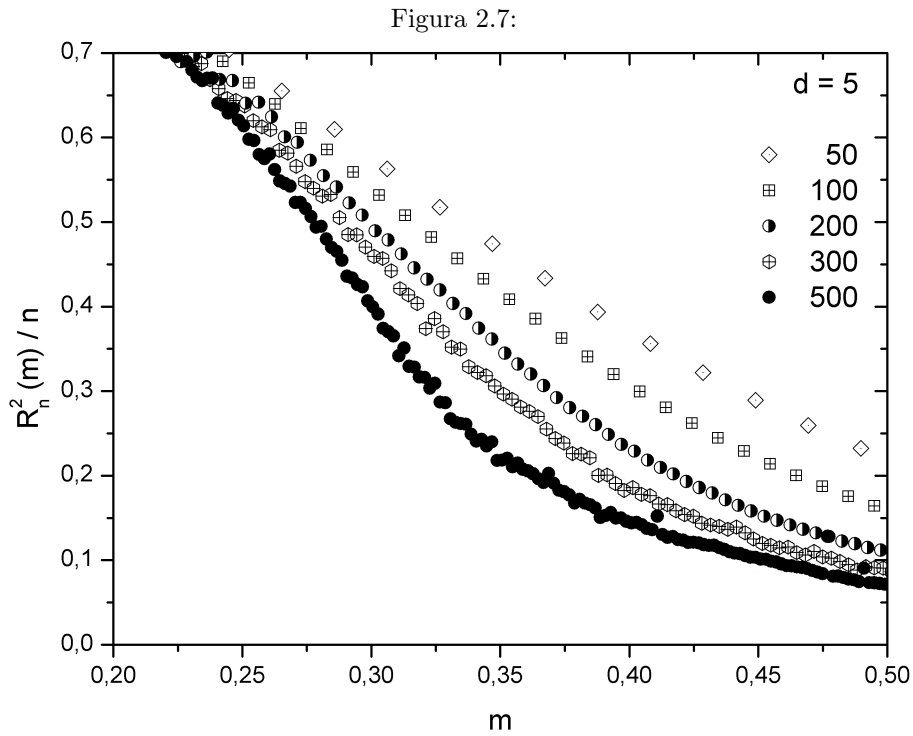
Il grafico mostra $\mathfrak{R}_n^2(m)/n$ per $d = 4$, $n = 2 \cdot 10^3$: la linea verticale è $m = C_4$, dove si prevede l'annullamento di $\varrho_4(m)$.

Dallo scaling del SRW si deve avere $\mathfrak{R}_n^2(C_4)/n \rightarrow 1$, mentre dal modello di Stanley si desume che il limite del rapporto $\mathfrak{R}_n^2(m)/n$ con $m < C_4$ diverga per $n \rightarrow \infty$ come $\log(n)^{1/4}$. Intuitivamente, queste assunzioni portano ad una situazione in cui $\varrho_4(C_4^-) > 0$, $\varrho_4(C_4^+) = 0$, come previsto per la WS.

Benché i dati riportati siano consistenti con questa descrizione, anche in questo caso la taglia delle catene è insufficiente per chiarire l'ordine della transizione: si tratta del caso più difficile, in quanto la discrepanza con il SRW è logaritmica, e potrebbe necessitare di catene così lunghe da rendere di fatto impossibile un'osservazione sperimentale del fenomeno.

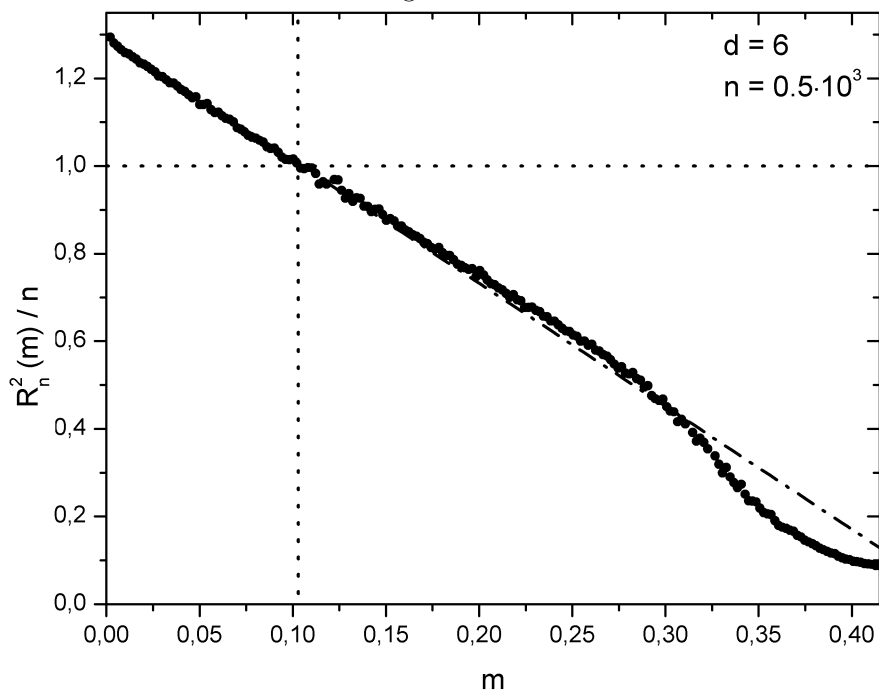


Il grafico mostra $\mathfrak{R}_n^2(m)/n$ per $d = 5$, $n = 10^3$: le linee di punti rappresentano $m = C_5$ (verticale), $\mathfrak{R}_n^2(m)/n = 1$ (orizzontale). La retta tratteggiata è $D_5 + (1 - D_5/C_5)m$, con D_5 costante diffusiva del SAW ($\mathfrak{R}_n^2(0)/n \rightarrow D_5$).



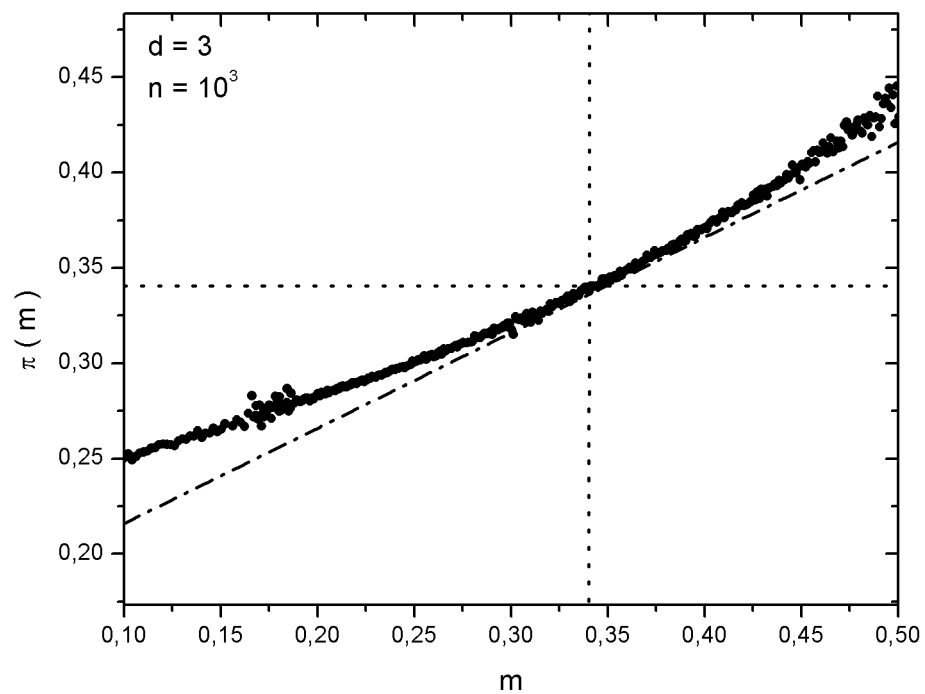
In figura $\mathfrak{R}_n^2(m)/n$, $d = 5$ per alcuni valori di n . Il grafico evidenzia l'insorgere della transizione in m , ipotizzata per $\varrho_5(m)$: al crescere di n , si osserva il progressivo abbassamento di $\mathfrak{R}_n^2(m)/n$ nel range mostrato ($m \in [0.2, 0.5] > C_5$). L'ipotesi è che, nel limite $n \rightarrow \infty$, $\mathfrak{R}_n^2(m)/n$ si annulli per un particolare valore $m_c > C_5$.

Figura 2.8:



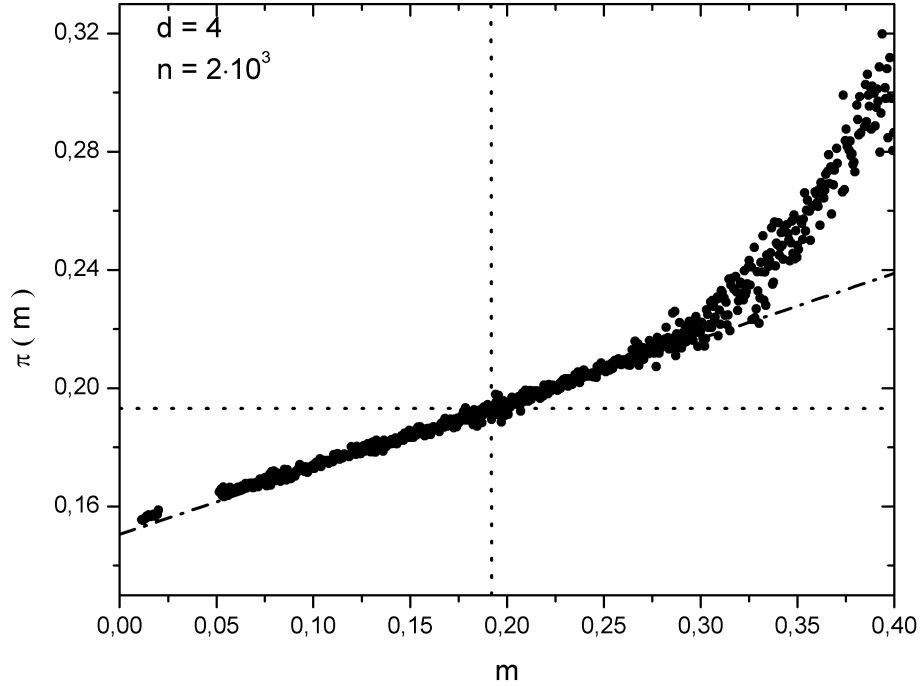
Il grafico mostra $\mathfrak{R}_n^2(m)/n$ per $d = 6$, $n = 0,5 \cdot 10^3$: le linee di punti rappresentano $m = C_6$ (verticale), $\mathfrak{R}_n^2(m)/n = 1$ (orizzontale). La retta tratteggiata è $D_6 + (1 - D_6/C_6)m$ (D_6 costante di diffusione del SAW).

Figura 2.9:



Il grafico mostra $\pi_n(m)$, per $d = 3$, $n = 10^3$. Le linee di punti rappresentano $m = C_3$ (verticale), $\pi(m) = C_3$ (orizzontale), mentre la retta tratteggiata è l'espansione al primo ordine di $\pi(m)$ in $m = C_3$: $(1 - B_3)C_3 + B_3m$ (dove $B_3 = 1/2$).

Figura 2.10:

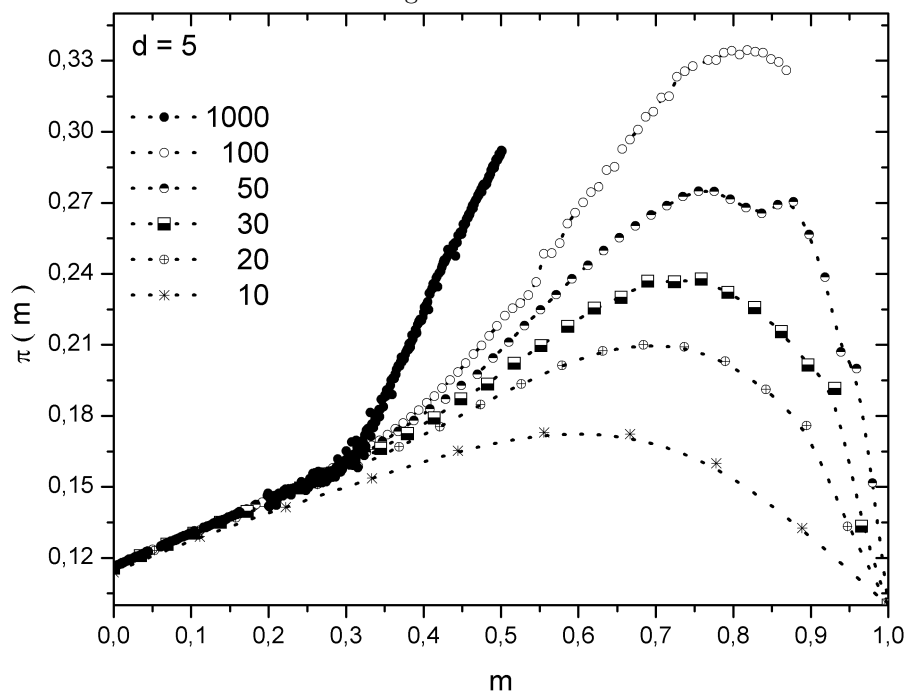


Il grafico mostra $\pi_n(m)$, per $d = 4$, $n = 2 \cdot 10^3$. Le linee di punti rappresentano $m = C_4$ (verticale), $\pi(m) = C_4$ (orizzontale), mentre la retta tratteggiata è l'espansione al primo ordine di $\pi(m)$ in $m = C_4$: $(1 - B_4) C_4 + B_4 m$.

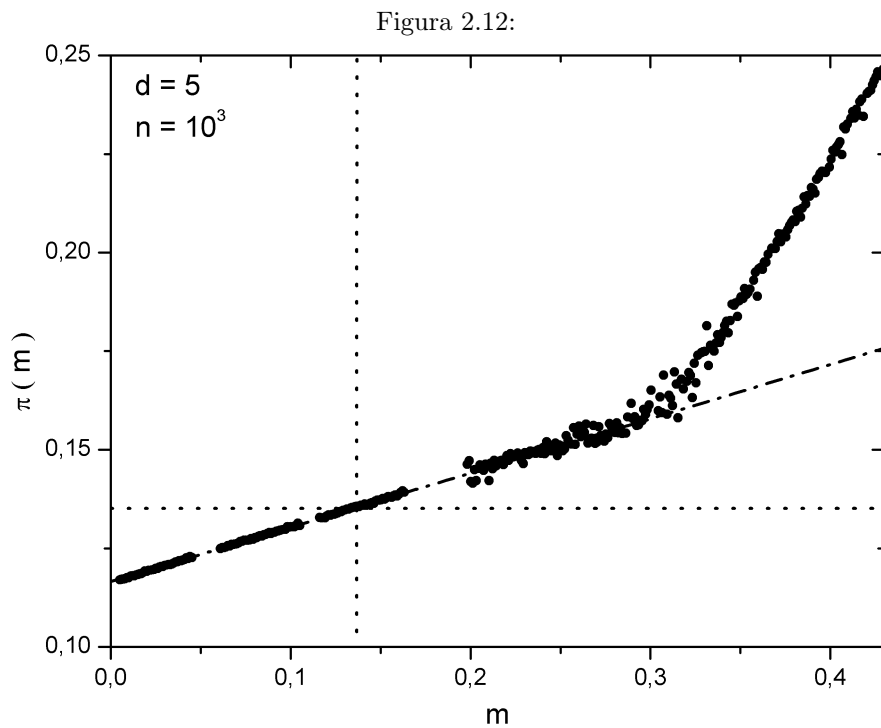
La discontinuità prevista per $\pi(m)$ è netta, tuttavia il punto di transizione appare consistentemente maggiore di C_4 . Questo è in contrasto con i risultati noti sulla WS, ed anche con la Figura 2.2, che mostra una transizione molto più morbida.

Dai confronti di questo e dei successivi grafici con la Figura 2.1, si nota che le discontinuità delle $\pi(m)$ corrispondono con buona approssimazione ai punti di flesso delle $\nu(m)$: è sensato ritenere che, nel limite $n \rightarrow \infty$, questi andranno ad assestarsi sui valori previsti di m_c .

Figura 2.11:

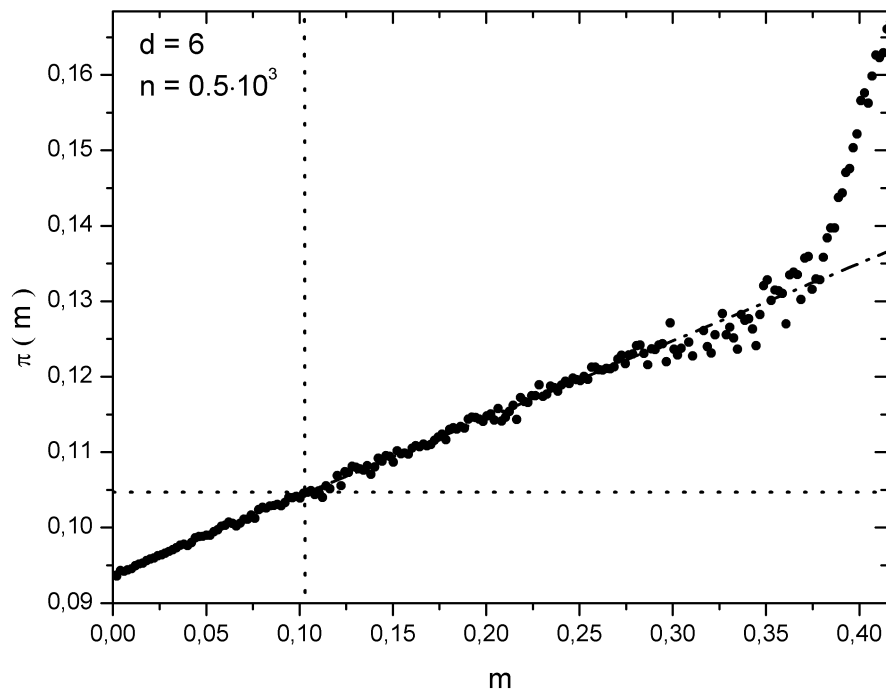


Si riporta l'andamento di $\pi_n(m)$, $d=5$ per alcuni valori di n . Il grafico mostra chiaramente l'esistenza della transizione per un qualche $m = m_c$ (supposto maggiore di C_5). I dati confermano l'esistenza del limite $\pi(m)$, almeno per quanto riguarda $m < m_c$. Il grafico mostra inoltre il crollo di $\pi_n(m)$ in prossimità di $m=1$, dovuto agli effetti di taglia finita $\psi_n(m)$ del sistema: lo stesso si osserva per tutte le d .



Il grafico mostra $\pi_n(m)$, per $d = 5$, $n = 10^3$. Le linee di punti rappresentano $m = C_5$ (verticale), $\pi(m) = C_5$ (orizzontale), mentre la retta tratteggiata è l'espansione al primo ordine di $\pi(m)$ in $m = C_5$: $(1 - B_5)C_5 + B_5m$.

Figura 2.13:



Il grafico mostra $\pi_n(m)$, per $d = 6$, $n = 0,5 \cdot 10^3$. Le linee di punti rappresentano $m = C_6$ (verticale), $\pi(m) = C_6$ (orizzontale), mentre la retta tratteggiata è l'espansione al primo ordine di $\pi(m)$ in $m = C_6$: $(1 - B_6)C_6 + B_6m$.

Capitolo 3

Processo stocastico a due variabili

Questo capitolo è dedicato al processo stocastico definito dalle (1.36), (1.37), allo scopo di dedurre alcune relazioni utili per lo studio delle intersezioni. Per questo motivo prenderemo in considerazione solo alcune tipologie di $\pi_t(M)$. In particolare, tratteremo funzioni della forma $\pi_t(M) = \pi(M/t)$, con $\pi(m) \in C^\infty$ invertibile nell'intervallo $m \in [0, 1]$. Per il momento faremo due ulteriori assunzioni: $\pi(m) \in (0, 1)$ in $m \in [0, 1]$, e $\exists! m_0 \mid \pi(m_0) = m_0$, con $m_0 \in (0, 1)$.

Sia dunque $P_t(M)$ la distribuzione al tempo t della variabile M_t , definita dal seguente processo stocastico:

$$M_{t+1} = M_t + \delta_t M_t, \quad (3.1)$$

$$\delta_t M_t = \theta(w_t - \pi(t^{-1}M_t)), \quad (3.2)$$

con $\theta(\cdot)$ funzione di Heaviside, e $w_t \in [0, 1]$ distribuita uniformemente nell'intervallo secondo $\partial_w P(w) = 0$. Come anticipato, si richiede che, per $m \in [0, 1]$, $\pi(m)$ goda delle seguenti proprietà:

$$\pi(m) \in (0, 1), \quad (3.3)$$

$$\pi(m) \in C^\infty, \quad (3.4)$$

$$\exists! m_0 \mid \pi(m_0) = m_0. \quad (3.5)$$

Benché non sia necessario nell'immediato, conviene introdurre subito la variabile $m_t \equiv M/t$: per motivi che saranno evidenti più avanti, da un certo punto in poi, al posto di $P_t(M)$ converrà lavorare con la distribuzione $P_t(m_t)$ (ottenibile da $P_t(M)$ attraverso il cambio di variabile $M_t \rightarrow m_t t$).

3.1 Momenti della distribuzione $P_t(M)$

Iniziamo con il calcolare i primi due momenti della distribuzione. Per semplicità risolveremo prima il caso

$$\pi(m) = a + bm, \quad (3.6)$$

con $a > 0$, $(a + b) \in (0, 1)$; vedremo poi come sarà possibile generalizzare a $\pi(m) \in C^\infty$. Nei prossimi conti useremo la notazione

$$\delta_t z_t = z_{t+1} - z_t, \quad (3.7)$$

$$\Delta z_t = z_t - \langle z_t \rangle, \quad (3.8)$$

con la media $\langle \cdot \rangle$ intesa sull'insieme Φ_t delle possibili realizzazioni della successione w_t . La media sulla variabile w_t sarà invece indicata con una barra; si noti che la media su w_t va eseguita prima di quella sull'ensemble Φ_t .

Il calcolo di $\langle M_t \rangle$ è piuttosto semplice. Dalle (3.1), (3.2), segue la relazione

$$\delta_t \langle M_t \rangle = \langle \overline{\delta_t M_t} \rangle = \langle \pi_t(M_t) \rangle. \quad (3.9)$$

Sostituendo (3.6) in (3.9) otteniamo la seguente equazione alle differenze finite:

$$\delta_t \langle M_t \rangle = a + bt^{-1} \langle M_t \rangle. \quad (3.10)$$

Questa equazione ammette una soluzione $\langle M_t \rangle = m_0 t$, con $m_0 = a/(1 - b)$. Si noti che m_0 è il punto che soddisfa l'equazione $\pi(m) = m$, e quindi la sua unicità è garantita dalle ipotesi preliminari su $\pi(m)$. Dalla relazione per m_0 segue anche la condizione $b < 1$, garantita dalle ipotesi $a > 0$, $(a + b) \in (0, 1)$.

Attraverso un calcolo ulteriore ([15]) è possibile individuare il momento secondo $\langle \Delta M_t^2 \rangle$ (lavoriamo ancora con $\pi(m)$ lineare).

Scriviamo la variazione della $\langle \Delta M_t^2 \rangle$: dalle definizioni si ha

$$\delta_t \langle \Delta M_t^2 \rangle = \langle \overline{\delta_t (\Delta M_t^2)} \rangle = \langle [\overline{\Delta M_t + \delta_t (\Delta M_t)}]^2 \rangle - \langle \Delta M_t^2 \rangle. \quad (3.11)$$

Svolgendo i quadrati troveremo

$$\delta_t \langle \Delta M_t^2 \rangle = 2 \langle \overline{\Delta M_t \delta_t (\Delta M_t)} \rangle + \langle \overline{[\delta_t (\Delta M_t)]^2} \rangle. \quad (3.12)$$

Calcoliamo il termine $\langle \overline{[\delta_t (\Delta M_t)]^2} \rangle$: come da notazione, svolgiamo prima la media su w_t

$$\overline{[\delta_t (\Delta M_t)]^2} = \pi(t^{-1} M_t) (1 - \langle \delta_t M_t \rangle)^2 + [1 - \pi(t^{-1} M_t)] \langle \delta_t M_t \rangle^2, \quad (3.13)$$

poi applichiamo $\langle \cdot \rangle$. Notando che $\langle \delta_t M_t \rangle = \langle \pi(t^{-1} M_t) \rangle = m_0$, troveremo

$$\langle \overline{[\delta_t (\Delta M_t)]^2} \rangle = m_0 \bar{m}_0, \quad (3.14)$$

dove abbiamo introdotto $\bar{m}_0 = 1 - m_0$. Svolgiamo le media su w_t e (successivamente) sull'ensemble anche per il primo termine della (3.12): dopo qualche calcolo troveremo

$$\langle \overline{\Delta M_t \delta_t (\Delta M_t)} \rangle = 2 \langle \Delta M_t \pi(t^{-1} M_t) \rangle, \quad (3.15)$$

da cui, sostituendo la (3.6) ricaviamo:

$$\langle \Delta M_t \pi(t^{-1} M_t) \rangle = b \langle \Delta M_t \rangle. \quad (3.16)$$

Riunendo le espressioni si trova una equazione alle differenze finite per $\langle \Delta M_t^2 \rangle$:

$$\delta_t \langle \Delta M_t^2 \rangle = 2bt^{-1} \langle \Delta M_t^2 \rangle + m_0 \bar{m}_0, \quad (3.17)$$

che ammette una soluzione lineare $\langle \Delta M_t^2 \rangle = \sigma t$, con $\sigma = m_0 \bar{m}_0 / (1 - 2b)$.

Si nota subito come per $b > 1/2$ la soluzione lineare non sia più valida: per comprendere meglio cosa effettivamente avvenga, possiamo operare un passaggio al continuo in t , sostituendo $\langle \Delta M_t^2 \rangle$ con la funzione $V(t)$:

$$\partial_t V(t) = 2bt^{-1} V(t) + m_0 \bar{m}_0. \quad (3.18)$$

Si tratta di una semplice equazione differenziale del I ordine, le cui soluzioni al variare di b sono:

$$V(t) \sim \begin{cases} \sigma t & b < 1/2 \\ \alpha t \log(t) & b = 1/2 \\ \beta t^{2b} & b > 1/2 \end{cases}. \quad (3.19)$$

Dunque, per $b \geq 1/2$ si troverà $\langle \Delta M_t^2 \rangle \propto t^{2b}$ (Figura 3.1): come vedremo più avanti questo indicherà un cambiamento qualitativo nel tipo di distribuzione.

I risultati fin qui ottenuti possono essere applicati direttamente ad una generica $\pi(m) \in C^\infty$: attraverso una espansione in serie di $\pi(m)$ nel punto $m_0 = \langle \pi(t^{-1} M_t) \rangle$, si ottiene

$$\pi(t^{-1} M_t) = m_0 + bt^{-1} \Delta M_t + \mathcal{O}(t^{-2} \Delta M_t^2). \quad (3.20)$$

dove b ora rappresenta la derivata di $\pi(m)$ in m_0 :

$$b = [\partial_m \pi(m)]_{m_0}. \quad (3.21)$$

Inserendo lo sviluppo (3.20) in (3.10) si avrà una correzione $\mathcal{O}(t^{-2} \langle \Delta M_t^2 \rangle)$, mentre per la (3.17) la correzione sarà $\mathcal{O}(t^{-3} \langle \Delta M_t^4 \rangle)$. Poniamo $\langle \Delta M_t^2 \rangle \propto t^\alpha$, $\langle \Delta M_t^4 \rangle \propto t^{2\alpha}$: perché le correzioni siano trascurabili si dovrà avere $\alpha < 2$ (le condizioni sono $\alpha - 2 < 0$ dal primo caso, $2\alpha - 3 < \alpha - 1$ dal secondo). Questo è verificato dalle (3.19) per $b < 1$.

L'unicità della soluzione di $\pi(m) = m$, unita a $\pi(m) \in C^\infty$, implica necessariamente $[\partial_m \pi(m)]_{m_0} \leq 1$: ne segue che i comportamenti asintotici di valor medio e varianza di M_t , generati dalla (3.20), sono gli stessi del caso lineare, con $m_0 | \pi(m_0) = m_0 \in (0, 1)$ e $b = [\partial_m \pi(m)]_{m_0} < 1$.

Si sottolinea che nei momenti di $P_n(M)$ oltre il secondo, gli ordini superiori dello sviluppo di $\pi(m)$ non saranno trascurabili: il metodo usato per determinare i primi due momenti di $P_t(M)$ può essere infatti applicato iterativamente, per ottenere momenti di ordine superiore. A parte un notevole aumento dell'algebra necessaria, non vi sono problemi di ordine concettuale nella determinazione momenti di ordine arbitrario s , in cui, tuttavia, la dipendenza funzionale da $\pi(m)$ sarà presente con derivate (calcolate in m_0) fino all'ordine $(s/2)$ -esimo.

3.2 Master equation

Un modo più diretto per derivare le proprietà della distribuzione $P_t(M)$ viene dallo studio della *master equation*. Partiamo dalle (1.36), (1.37) per una generica $\pi_t(M)$: la *master equation* per $P_t(M)$ sarà, per definizione,

$$P_{t+1}(M) = \pi_t(M-1) P_t(M-1) + [1 - \pi_t(M)] P_t(M). \quad (3.22)$$

Consideriamo ora le (3.1), (3.2): all'inizio del capitolo avevamo introdotto la variabile $m_t = M/t$, e la distribuzione associata $P_t(m_t)$ (del tutto equivalente a $P_t(M)$). Come vedremo a breve, è conveniente lavorare in termini di $P_t(m_t)$, la cui equazione segue da (3.22):

$$P_{t+1}(m_{t+1}) = \pi(m_t - t^{-1}) P_t(m_t - t^{-1}) + [1 - \pi_t(m_t)] P_t(m_t). \quad (3.23)$$

Siamo interessati a studiare il caso $M \propto t$: imponiamo dunque che la successione m_t converga ad un valore finito per $t \rightarrow \infty$:

$$\lim_{t \rightarrow \infty} m_t = m \in [0, 1]. \quad (3.24)$$

Le relazioni (1.13), (1.14) per la distribuzione del range, suggeriscono di cercare soluzioni di (3.23) nella forma

$$P_t(m_t) = \mathcal{N} e^{\varphi(m_t)t}, \quad (3.25)$$

con $\varphi(m)$ supposta di classe C^∞ . Sostituendo nell'equazione troviamo

$$e^{\varphi(m_{t+1})(t+1)} = \pi(m_t - t^{-1}) e^{\varphi(m_t - t^{-1})t} + [1 - \pi(m_t)] e^{\varphi(m_t)t}. \quad (3.26)$$

Dalle ipotesi $\varphi(m) \in C^\infty$, $m_{t \rightarrow \infty} \in [0, 1]$, possiamo espandere $\varphi(m_t - t^{-1})$ in serie di t^{-1}

$$\varphi(m_t - t^{-1}) = \varphi(m_t) - \dot{\varphi}(m_{t+1}) t^{-1} + \mathcal{O}(t^{-2}), \quad (3.27)$$

dove, per comodità, si è introdotta la notazione $\dot{\varphi}(m) = \partial_m \varphi(m)$.

Dalla definizione di m_t , sempre condizionata $m_{t \rightarrow \infty} \in [0, 1]$, si può riscrivere m_{t+1} espandendo $1/(1+t)$ in termini $\mathcal{O}(t^{-1})$:

$$m_{t+1} = m_t - t^{-1} m_t + \mathcal{O}(t^{-2}). \quad (3.28)$$

Inserendo in $\varphi(m_{t+1})$ e proseguendo come sopra, troveremo:

$$\varphi(m_{t+1}) = \varphi(m_t) - m_t \dot{\varphi}(m_{t+1}) t^{-1} + \mathcal{O}(t^{-2}). \quad (3.29)$$

Sostituiamo le relazioni appena trovate nella (3.26):

$$e^{\varphi(m_t) - m_t \dot{\varphi}(m_t) + \mathcal{O}(t^{-1})} = \pi(m_t - t^{-1}) e^{-\dot{\varphi}(m_t) + \mathcal{O}(t^{-1})} + 1 - \pi(m_t). \quad (3.30)$$

In fine, prendendo il limite $t \rightarrow \infty$ si arriva alla seguente equazione differenziale in m :

$$e^{\varphi(m)-m\dot{\varphi}(m)} = \pi(m) e^{-\dot{\varphi}(m)} + 1 - \pi(m), \quad (3.31)$$

dove $\varphi(m)$ è identificabile con il limite

$$\varphi(m) = \lim_{t \rightarrow \infty} \log \left(P_t(m_t)^{\frac{1}{t}} \right). \quad (3.32)$$

Dalla equazione discreta (3.23) siamo dunque riusciti, attraverso alcune ipotesi, a derivare una equazione differenziale per $\varphi(m)$, valida nel limite asintotico. Purtroppo la (3.31) è trascendente implicita nella variabile $\dot{\varphi}(m)$: una sua soluzione con strumenti analitici classici sembra dunque improbabile.

Come vedremo a breve, è comunque possibile estrarre dalla (3.31) una grande quantità di informazioni: di seguito riporteremo alcuni risultati ottenibili con metodi perturbativi.

3.3 Soluzioni perturbative intorno al massimo

Iniziamo col verificare che i primi due momenti della distribuzione coincidano con quelli calcolati in precedenza. Si considerino dunque le espansioni al secondo ordine di $\pi(m)$, $\varphi(m)$ nel punto $m = m_0$: chiamando $\delta m = m - m_0$ si avrà

$$\pi(m) = m_0 + b\delta m + \mathcal{O}(\delta m^2), \quad (3.33)$$

$$\varphi(m) = \varphi_0 + \varphi_1\delta m - \varphi_2\delta m^2 + \mathcal{O}(\delta m^3). \quad (3.34)$$

Espandiamo al secondo ordine gli esponenziali in (3.31) e sostituiamo le espressioni precedenti: trascurando i termini $\mathcal{O}(\delta m^3)$, e annullando i coefficienti per uguali potenze di δm , troveremo: $\varphi_0 = \varphi_1 = 0$, $\varphi_2 = (1 - 2b) / (2m_0\bar{m}_0)$, ovvero

$$\varphi(m) = -\frac{\delta m^2}{2\sigma} + \mathcal{O}(\delta m^3), \quad (3.35)$$

dove $\sigma = m_0\bar{m}_0 / (1 - 2b)$. Si nota immediatamente che i primi due momenti della distribuzione limite $\exp[\varphi(t^{-1}M) t]$ (non normalizzata) sono

$$\langle M \rangle = m_0 t + o(t), \quad (3.36)$$

$$\langle \Delta M^2 \rangle = \sigma t + o(t), \quad (3.37)$$

e coincidono con quelli calcolati in precedenza per $P_t(M)$. Si osservi come, aggiungendo termini fino all'ordine s -esimo, i momenti di ordine superiore possono essere facilmente calcolati al computer anche quando necessitano di s molto grandi, impostando un sistema di s equazioni in s variabili con un qualunque sistema di algebra computazionale (CAS).

Lo studio perturbativo della (3.31) permette inoltre di spiegare il caso $b > 1/2$: per fare questo dobbiamo considerare una $\varphi(m)$ del tipo

$$\varphi(m) = -\mathcal{A}|\delta m|^\beta + o(|\delta m|^\beta), \quad (3.38)$$

con $\beta \in (2^+, \infty)$.

Contrariamente a quanto richiesto fino ad ora, questa $\varphi(m)$ non è sempre C^∞ : per $\beta \neq 2k$, $k \in \mathbb{N}^+$, le derivate in m_0 esistono fino all'ordine $[\beta]$, ma quelle di ordini superiori divergono. In questa situazione le espansioni (3.27), (3.29) non sono più valide in m_0 , ma sussistono ancora nel suo intorno $\{m_0 - \epsilon, m_0 + \epsilon\} \setminus m_0$, in cui la (3.31) resta accurata.

Linearizzando gli esponenziali, e annullando i coefficienti con esponenti uguali, troveremo l'equazione

$$\mathcal{A}(1 - \beta + b\beta) = 0, \quad (3.39)$$

che lega b e β secondo la relazione:

$$\beta = (1 - b)^{-1}. \quad (3.40)$$

Si noti che la (3.39) lascia indeterminata l'ampiezza \mathcal{A} : se $\beta \neq 2k$, $k \in \mathbb{N}^+$, questo avviene per qualunque ordine di sviluppo degli esponenziali, ed è imputabile alla singolarità in m_0 . A titolo speculativo, si osserva che una estensione delle (3.27), (3.29) a forme più generali di $\varphi(m)$ (o di $P_t(m_t)$ in generale) potrebbe essere possibile attraverso uno sviluppo in serie con esponenti razionali (*Fractional Taylor Series* FTS), che tuttavia necessita di un massiccio uso del calcolo frazionario.

In ogni caso, è facile dimostrare come la distribuzione associata alla (3.38) dia un momento secondo $\langle \Delta M^2 \rangle \propto t^\delta$, con

$$\delta = 2(1 - \beta^{-1}) = 2b \quad (3.41)$$

uguale a quello previsto dalla (3.19) per $b > 1/2$. La (3.39) è inoltre avallata da un confronto con la soluzione numerica della (3.23) (Figura 3.2).

Il caso $b = 1/2$ rappresenta una situazione particolare. A causa della correzione logaritmica per l'andamento di $\langle \Delta M^2 \rangle$, non è possibile esprimere perturbativamente il limite di $\log(P_t(m_t))$ in m_0 con termini dipendenti solo dal rapporto $n^{-1}M$, dunque l'equazione (3.31) non è valida: è comunque possibile affermare che il limite di $\log(P_t(m_t))$ per $t \rightarrow \infty$, $m_t \rightarrow m_0 + \delta m$ è sempre compreso fra due funzioni $c_1 |\delta m|^2$ e $c_2 |\delta m|^{2+\epsilon}$, con $\epsilon \rightarrow 0^+$.

3.4 Due casi specifici

Come ultimo argomento, affrontiamo un caso particolare che ci sarà utile più avanti. Consideriamo due funzioni, $\tilde{\pi}(m)$ e $\mu(m)$: la prima gode delle proprietà richieste fino ad ora a $\pi(m)$, ovvero che sia invertibile, che $\tilde{\pi}(m) \in (0, 1)$, $\tilde{\pi}(m) \in C^\infty$ per $m \in [0, 1]$, e che

$$\exists! m_0 \mid \tilde{\pi}(m_0) = m_0. \quad (3.42)$$

La seconda invece, sia una funzione invertibile di classe C^∞ , con $\mu(1) = 1$, $\mu(m) < m$ nell'intervallo $m \in (m_0, 1)$. Date le proprietà richieste alle due funzioni, segue che

$$\exists! m_c \in [m_0, 1) \mid \tilde{\pi}(m_c) = \mu(m_c). \quad (3.43)$$

Detto questo, definiamo la funzione $\pi(m)$ come segue:

$$\pi(m) = \begin{cases} \tilde{\pi}(m) & m \geq m_c \\ \mu(m) & m < m_c \end{cases} . \quad (3.44)$$

Questa funzione è globalmente C^0 , con un punto di discontinuità della derivata in m_c , e due soluzioni di $\pi(m) = m$ (in m_0 e 1). Si tratta essenzialmente della $\pi(m)$ descritta nel capitolo precedente, con l'ulteriore assunzione che $\pi(m) < m$ nell'intervallo $m \in (m_0, 1)$ (il motivo sarà chiaro più avanti).

Vogliamo trovare la distribuzione generata dalla (3.44) nella forma $\exp[\varphi(m)t]$, con $\varphi(m) \in C^1$ soluzione della (3.31).

La (3.44) ha per definizione due intersezioni con la retta m , in $m = m_0$ e $m = 1$; ma, mentre $b_0 = \dot{\pi}(m_0) < 1$, per $m = 1$ le proprietà richieste a $\mu(m)$ impongono necessariamente $b_1 = \dot{\pi}(1) > 1$.

Dalla (3.19) sappiamo che la varianza $\langle \Delta M_t^2 \rangle$ scala come una potenza di t , con un esponente $2b$. Se $b > 1$ le fluttuazioni sono dunque su una scala $\mathcal{O}(t^b)$, e divergono rispetto alla media ($\langle \Delta M_t^2 \rangle / \langle M_t \rangle^2 \rightarrow \infty$), coprendo un intorno $m \in [1 - \epsilon, 1]$ con $\epsilon > 0$.

L'unica $\varphi(m) \in C^\infty$ compatibile con questa situazione, che sia anche soluzione di (3.31), è $\varphi(m) = 0$ (che risolve la (3.31) indipendentemente da $\pi(m)$).

Tuttavia se $\pi(0) > 0$, segue necessariamente $\varphi(0) < 0$; abbiamo dunque bisogno di una funzione C^∞ , soluzione di (3.31), che connetta $\varphi(0) < 0$ con $\varphi(m \in [1 - \epsilon, 1]) = 0$, dando globalmente una $\varphi(m) \in C^1$ nel range $m \in [0, 1]$.

Sia $\tilde{\varphi}(m)$ la soluzione della (3.31) con $\pi(m) = \tilde{\pi}(m)$: è facile verificare che

$$\varphi(m) = \begin{cases} \tilde{\varphi}(m) & m \in [0, m_0] \\ 0 & m \in (m_0, 1] \end{cases} \quad (3.45)$$

è l'unica funzione con le proprietà richieste. Una verifica di (3.45) viene dal confronto con la soluzione numerica della (3.22) (Figure 3.3, 3.4): da questi dati si nota anche una discontinuità di $t^{-1} \log(P_t(m))$ nel punto m_c .

Si conclude il capitolo enunciando due congetture circa la forma di $\log(P_t(m))$, basate essenzialmente sullo studio numerico della (3.22).

La prima è una considerazione sulla generica $\pi_t(m) \in [0, 1]$: si ipotizza che, ogni qualvolta esista un m_i con $\pi_t(m_i) = m_i$, $\dot{\pi}_t(m_i) < 1$, il punto m_i sarà un massimo locale di $\log(P_t(m))$.

La seconda riguarda la $\pi_t(m)$ descritta nel capitolo precedente: si considerino le $\psi_t(m) = 1 - \bar{\psi}_t(m)$, $\mu_t(m)$ definite attraverso le relazioni

$$\bar{\psi}_t(m) = \psi_0(\bar{m}t)^{-s}, \quad (3.46)$$

$$\mu_t(m) = \mu(m) \psi_t(m). \quad (3.47)$$

Definiamo la funzione $\pi_t(m)$ come

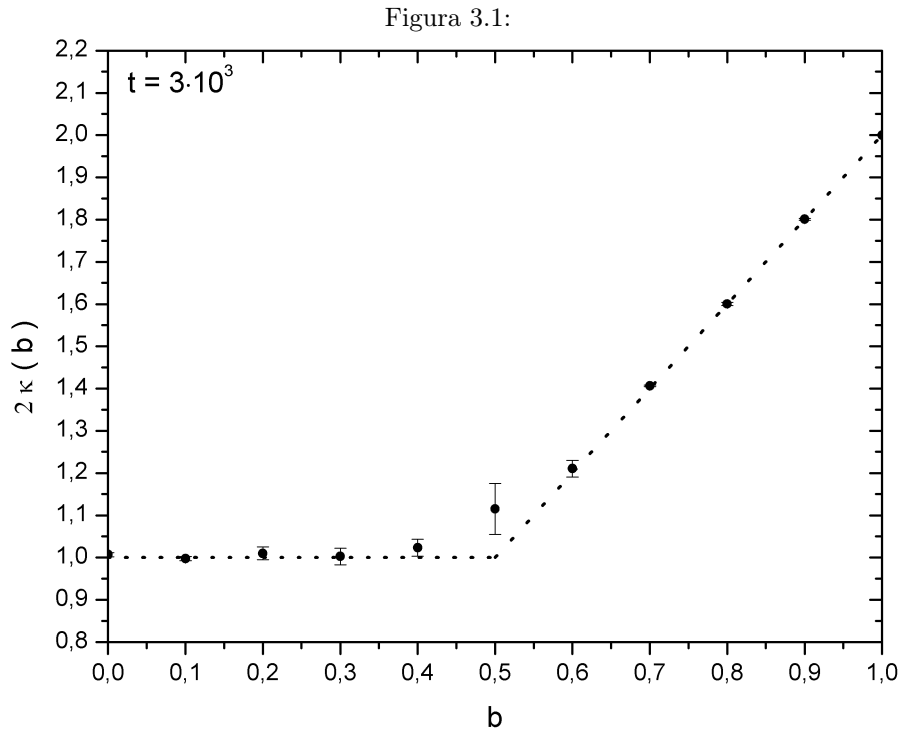
$$\pi_t(m) = \begin{cases} \tilde{\pi}(m) & \tilde{\pi}(m) \geq \mu_t(m) \\ \mu_t(m) & \tilde{\pi}(m) < \mu_t(m) \end{cases} . \quad (3.48)$$

Nel limite $t \rightarrow \infty$, la (3.48) tende alla (3.44), tuttavia la presenza di $\psi_t(m)$ fa in modo che $\pi_t(1) < 1$ per $t < \infty$: basandoci su una analisi numerica (di cui si riporta un esempio nelle Figure 3.3, 3.4, 3.5), si congettura che $\log(P_t(m))$ per $m_t \in [m_0, 1]$ sia una funzione con $\partial_m \log(P_t(m)) \leq 0$ (non crescente), il cui limite $t \rightarrow \infty$ per $m \sim 1$ è

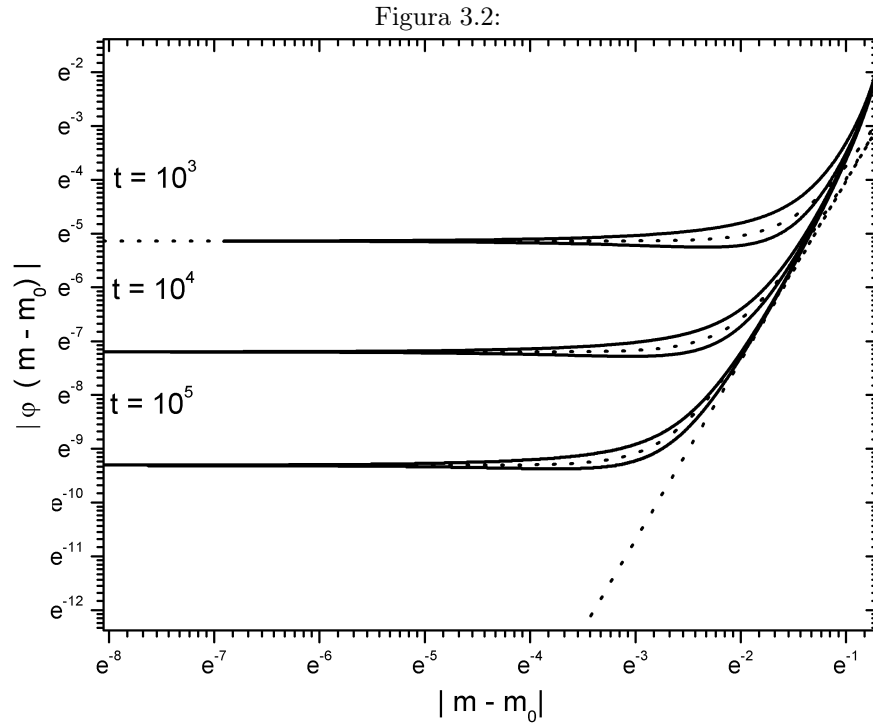
$$\lim_{t \rightarrow \infty} \log(P_t(m)) \propto -\lambda \bar{\psi}_t(m) t \quad (3.49)$$

con $\lambda > 0$ (si veda la Figura 3.5). Si osservi che $t^{-1} \log(P_t(m))$ si annulla nel limite $t \rightarrow \infty$, in conformità con la (3.45).

Data la prima congettura, appare chiaro che, senza l'assunzione $\mu(m) < m$ per $m_i \in (m_0, 1)$, $\log(P_t(m))$ può avere anche $\partial_m \log(P_t(m)) > 0$ per alcuni m : se esistono punti $m_i \in (m_0, 1)$ per cui $\mu(m_i) = m_i$, per continuità di $\mu(m)$ ne deve esistere almeno uno con $\dot{\mu}(m_i) < 1$. Se invece $\mu(m) = 1$ solo per $m = 1$, l'applicazione di $\psi_t(m)$ eliminerà l'intersezione di $\mu_t(m)$ con la retta m , e il conseguente massimo locale previsto per $m = 1$.

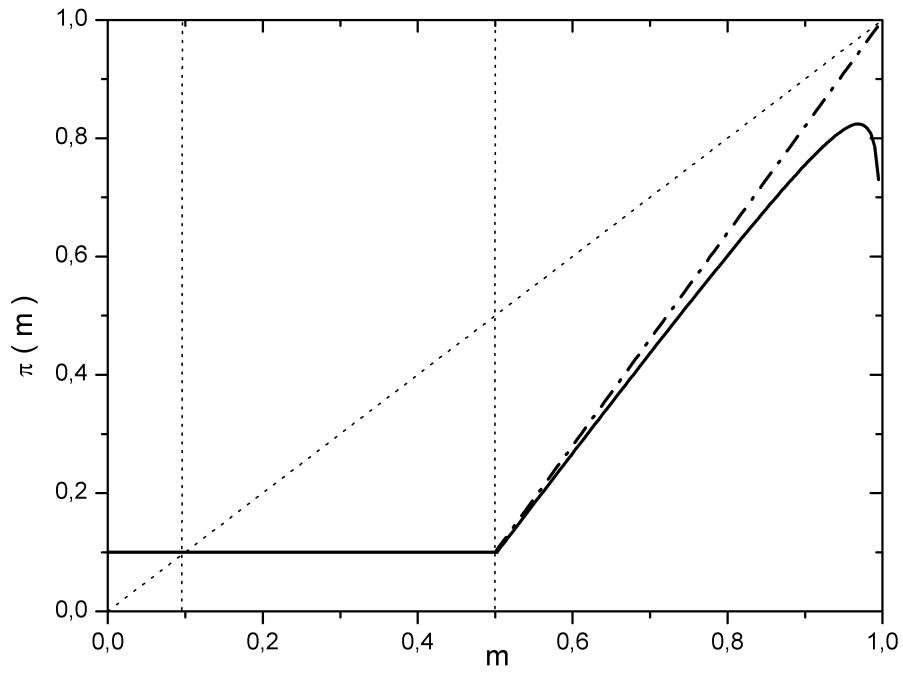


Il processo (3.1), (3.2), con $\pi(m) = 1/2 + b(m - 1/2)$, è stato simulato numericamente per alcuni valori di b . Nel grafico si riportano i valori ottenuti al variare di b per l'esponente di scaling della varianza ($\langle \Delta M_t^2 \rangle \propto t^\kappa$). I valori di κ provengono da fit di $\log[\langle \Delta M_t^2 \rangle]$ vs $\log(t)$: il range per ogni fit è $t \in [0.8t_M, t_M]$, con $t_M = 3 \cdot 10^3$. I dati ottenuti confermano la previsione (3.19) (linea di punti).

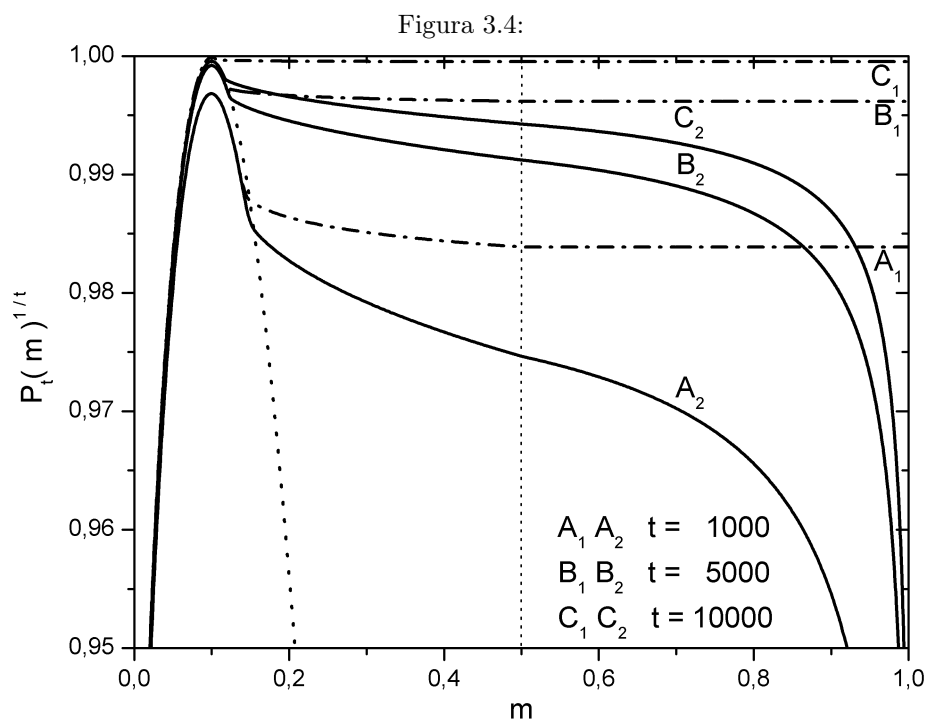


Il grafico mostra $|\varphi_t(\delta m)|$ vs $|\delta m|$, ottenuto simulando il processo (3.1), (3.2), con $\pi(m) = 1/2 + b(m - 1/2)$, $b = 7/10$. I dati sono (dall'alto verso il basso) per $t = 10^3$, $t = 10^4$, $t = 10^5$. Le linee di punti rappresentano invece le previsioni $\varphi_t(m) = -c_t - \mathcal{A}|\delta m|^\beta$, con $\beta = 1/(1 - b) = 10/3$, $\mathcal{A} = 0.5$, $c_{10^3} = 5,857 \cdot 10^{-2}$, $c_{10^4} = 7,460 \cdot 10^{-4}$, $c_{10^5} = 9,091 \cdot 10^{-6}$, $c_\infty = 0$. La (3.38) con $\beta = 1/(1 - b)$ sembra confermata.

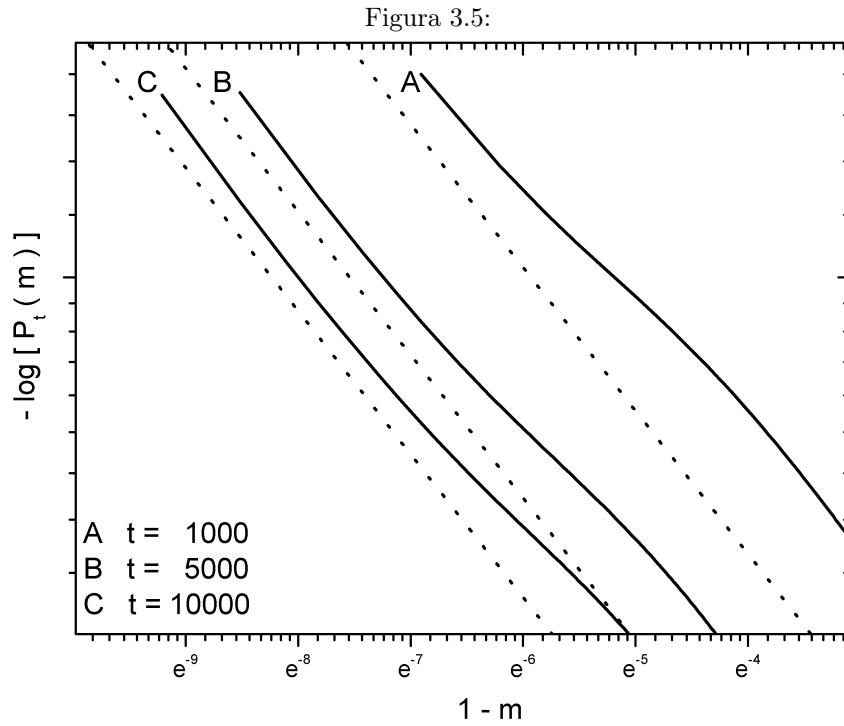
Figura 3.3:



Generatori $\pi(m)$ e $\pi_t(m)$ per le distribuzioni nelle successive Figure 3.4, 3.5. La linea interrotta da punti rappresenta $\pi(m)$ data dalla (3.44), con $\tilde{\pi}(m) = 0.1$ costante, $m_c = 0.5$ e $\mu(m) = 1 - 1.8(1 - m)$. La linea continua è invece è la (3.48), con $\psi_t(m) = 1 - 0.2[(1 - m)t]^{-s}$, $s = 0.4$, $t = 10^2$.



Soluzioni numeriche della (3.22), generate dalle $\pi(m)$, $\pi_t(m)$ descritte nella precedente Figura 3.3. Le linee interrotte da punti sono le distribuzioni dalla $\pi(m)$, per (partendo dal basso) $t = 10^3$, $t = 5 \cdot 10^3$, $t = 10^4$. Le linee piene sono relative alla $\pi_t(m)$, sempre per (dal basso) $t = 10^3$, $t = 5 \cdot 10^3$, $t = 10^4$. In fine, la linea di punti rappresenta $\tilde{\varphi}(m)$, soluzione della (3.31) per $\tilde{\pi}(m)$. Il grafico mostra il comportamento predetto nella (3.45). Si noti che per tutte le curve è presente una discontinuità della derivata in $m = m_c = 0.5$.



La figura mostra, in scala doppio logaritmica, un particolare di $-\log(P_t(m))$ vs $(1-m)$ per le distribuzioni nella precedente Figura 3.4. Le linee piene sono le distribuzioni calcolate con la $\pi_n(m)$ descritta in Figura 3.3, con (da destra) $t = 10^3$, $t = 5 \cdot 10^3$, $t = 10^4$. Le linee di punti rappresentano invece $\bar{\psi}_t(m) = 0.2[(1-m)t]^{-s}$, $s = 0.4$, per i corrispondenti t (partendo dall'alto $t = 10^3$, $t = 5 \cdot 10^3$, $t = 10^4$).

Capitolo 4

Forma dell'*ambiente* $\pi(m)$

Nel secondo capitolo abbiamo discusso $\pi_n(m)$, separando il contributo di taglia finita $\psi_n(m)$ dalla parte $\pi(m)$, dipendente solo dalla concentrazione delle intersezioni m . Vogliamo ora discutere in dettaglio la forma di $\pi(m)$.

Abbiamo già individuato due valori particolari, corrispondenti a $\pi(C_d) = C_d$, $\pi(0) = \eta_d$; come anticipato, è possibile imporre una terza condizione legata alla varianza della distribuzione $P_n(m)$.

Nel capitolo precedente abbiamo visto come per $\pi(m) \in C^\infty$, con un'unica soluzione m_0 per l'equazione $\pi(m) = m$, la varianza della distribuzione definita dal processo (3.1), (3.2) al tempo t dipendesse solo da m_0 e $b = \dot{\pi}(m_0)$, secondo la relazione $\langle \Delta M_t^2 \rangle = \sigma t$, $\sigma = m_0 \bar{m}_0 / (1 - 2b)$.

Invertendo la relazione per σ , è possibile risalire al valore B_d della derivata di $\pi(m)$ in C_d : ponendo $m_0 = C_d$, $\sigma = \sigma_d$ (tabella 1.1), e $b = B_d$, si ottiene la relazione.

$$2B_d = 1 - \sigma_d^{-1} C_d \bar{C}_d. \quad (4.1)$$

E' opportuno prestare particolare attenzione al caso $d = 3$: confrontando la (3.19) con l'espressione di $\langle \Delta R_n^2 \rangle$ per $d = 3$, si nota immediatamente che il corretto andamento è ottenuto per $B_3 = 1/2$. Con questo valore si ottiene infatti $\langle \Delta M_n^2 \rangle = \alpha n \log n$, conformemente con la (1.19). In realtà l'ampiezza $\alpha = C_d \bar{C}_d$, che troviamo con la (3.18) per $B_d = 1/2$, è diversa dal valore previsto σ_3 (tabella 1.1).

Il risultato corretto si ottiene includendo una fluttuazione $\mathcal{O}(1/\log(n))$, determinata dalla successione $a_n = \sigma_3 \log(n)$ (per una definizione di a_n si veda l'appendice relativa al teorema di Jain-Pruitt, o la referenza [9] per il caso $d = 3$):

$$2B_3(n) \sim 1 + (1 - \sigma_3^{-1} C_3 \bar{C}_3) \log(n)^{-1} + \mathcal{O}(n^{-1}). \quad (4.2)$$

Nel limite $n \rightarrow \infty$ questa espressione converge ad $1/2$, ma la fluttuazione $\mathcal{O}(1/\log(n))$ si annulla così lentamente da non poter essere trascurata. Si può facilmente verificare come, sostituendo $B_3(n)$ in (3.18), si ottenga il risultato corretto per la varianza in $d = 3$.

Fino ad ora abbiamo studiato $\pi(m)$ da un punto di vista più o meno fenomenologico: nella prossima sezione proveremo a ragionare partendo dalle proprietà geometriche dei cammini.

Abbiamo introdotto l'esistenza di un valore critico m_c , oltre il quale le catene collassano in cluster compatti: per ora, il nostro interesse sarà rivolto al caso opposto, $m < m_c$, in cui le catene sono estese e le correlazioni tra monomeri più deboli: come vedremo a breve, quest'ultimo fatto sarà cruciale per ottenere una stima di $\pi(m)$.

4.1 Decomposizione di una catena $m < m_c$

Prima di discutere la forma della funzione *ambiente* per $m < m_c$ è opportuno fare alcune considerazioni preliminari. Immaginiamo di decomporre la catena $\omega = \{S_0, S_1, \dots, S_n\}$ in $n_\tau + 1$ porzioni ω_i , composte da $\tau = n/(n_\tau + 1)$ monomeri consecutivi.

$$\omega_i \equiv \{S_{i\tau}, \dots, S_{(i+1)\tau-1}\}, \quad (4.3)$$

$$\{S_0, \dots, S_n\} \rightarrow \{\omega_0, \dots, \omega_{n_\tau}\}. \quad (4.4)$$

Dalle definizioni contenute nel primo capitolo possiamo riscrivere le quantità $\pi[\omega]$, $M[\omega]$ come

$$\pi[\omega] = \pi[\omega_0] + \sum_{p=1}^{n_\tau} \sum_{k=0}^p \frac{(-1)^k}{2d} \sum_{|x|=1} \prod_{\alpha=p-k}^p R_x[\omega_\alpha], \quad (4.5)$$

$$M[\omega] = \sum_{h_0=0}^{n_\tau} M[\omega_{h_0}] + \sum_{p=1}^{n_\tau} \sum_{\{h,p\}} (-1)^{p+1} \sum_x \prod_{\alpha=0}^p R_x[\omega_{h_\alpha}], \quad (4.6)$$

dove $R_x[\omega_i]$ è la funzione caratteristica della i -esima porzione ω_i , ed il vincolo $\{h,p\}$ sulla sommatoria della (4.6) è

$$\sum_{\{h,p\}} = \sum_{h_0>0} \sum_{h_1>h_0} \sum_{h_2>h_1} \dots \sum_{h_p>h_{p-1}}. \quad (4.7)$$

La (4.5) separa il contributo a $\pi[\omega]$ della porzione contenente l'origine da quello delle componenti più lontane, mentre la scrittura (4.6) per $M[\omega]$ separa il contributo di auto-intersezione dei singoli componenti ω_i da quello di interazione tra componenti diverse.

Consideriamo per ora la sola espressione di $\pi[\omega]$. Prendiamo la media della quantità (4.5), sull'insieme Ω_m , con $m < m_c$ e $d \geq 3$:

$$\pi(m) = \langle \pi[\omega_0] \rangle_{\Omega_m} + \sum_{p=1}^{n_\tau} \sum_{k=0}^p \frac{(-1)^k}{2d} \sum_{|x|=1} \langle \prod_{\alpha=p-k}^p R_x[\omega_\alpha] \rangle_{\Omega_m} \quad (4.8)$$

La sommatoria nella (4.8) rappresenta l'interazione delle porzioni che si trovano ad una distanza maggiore di τ percorrendo la catena: si osserva che questi contributi sono tutti del tipo

$$\sum_{|x|=1} \langle R_x[\omega_{i \neq 0}] R_x[\omega_\alpha] R_x[\omega_\beta] R_x[\omega_\delta] \dots \rangle_{\Omega_m} \leq \sum_{|x|=1} \langle R_x[\omega_{i \neq 0}] \rangle_{\Omega_m}. \quad (4.9)$$

Consideriamo l'interazione $\sum_{|x|=1} \langle R_x[\omega_i] \rangle_{\Omega_m, n}$ di un elemento $\omega_{i \neq 0}$ con l'intorno dell'origine: come prima approssimazione possiamo considerare che il contributo sia non nullo solo se il cammino che separa ω_i dall'origine è chiuso (sia un *loop*), ovvero solo quando anche ω_i contiene l'origine. Detta $f_t(m)$ la probabilità di avere un loop chiuso sull'origine di lunghezza t , possiamo introdurre la relazione

$$\sum_{|x|=1} \langle R_x[\omega_i] \rangle_{\Omega_m} \propto \tau f_{i\tau}(m), \quad (4.10)$$

dove la moltiplicazione per τ tiene conto del fatto che il cammino può essere chiuso su uno qualunque dei monomeri di ω_i .

La probabilità di avere un loop è proporzionale alla densità di monomeri per unità di volume (nel caso del SRW questo è confermato dalla derivata temporale della (1.32)): poniamo dunque $f_t(m) \propto t^{-\nu d}$. Da questo, dalla (4.10), e dal fatto che $\nu d > 1$ per $d \geq 3$, si ottiene la relazione:

$$\sum_{i=1}^{n_\tau} \sum_{|x|=1} \langle R_x[\omega_i] \rangle_{\Omega_m} = \mathcal{O}(\tau^{1-\nu d}). \quad (4.11)$$

La (4.11) è una sovrastima della sommatoria in (4.8): ne deriva che la (4.8) può essere riscritta come

$$\pi(m) = \langle \pi[\omega_0] \rangle_{\Omega_m} + \mathcal{O}(\tau^{1-\nu d}). \quad (4.12)$$

Applicando lo stesso ragionamento sulla relazione

$$nm = \sum_{h_0=0}^{n_\tau} \langle M[\omega_{h_0}] \rangle_{\Omega_m} + \sum_{p=1}^{n_\tau} \sum_{\{h,p\}} (-1)^{p+1} \sum_x \langle \prod_{\alpha=0}^p R_x[\omega_{h_\alpha}] \rangle_{\Omega_m} \quad (4.13)$$

si ottiene una espressione analoga:

$$m = n^{-1} \sum_i \langle M[\omega_i] \rangle_{\Omega_m} + \mathcal{O}(\tau^{1-\nu d}). \quad (4.14)$$

Prima di proseguire è necessaria una precisazione. In tutte le relazioni precedenti abbiamo mediato le quantità relative alle ω_i sull'insieme Ω_m , anche se $|\omega_i| = \tau$: in questi casi la media è da intendersi come su tutte le possibili realizzazioni della i -esima porzione di ω . E' chiaro come questa media non consideri solo cammini $|\omega_i| = \tau$ con esattamente τm intersezioni, ma un insieme più grande, in cui i cammini hanno solo in media τm intersezioni.

4.2 Approssimazione lineare per $\pi(m)$

Dalle informazioni raccolte è noto che per i cammini in fase estesa $\nu \geq 1/2$, da cui per $d \geq 3$ l'esponente $1 - \nu d$ è negativo. Supponiamo dunque di prendere $\tau = \mathcal{O}(n^\epsilon)$: scegliendo $\epsilon > 0$, gli ordini nelle (4.12), (4.14) diventano trascurabili nel limite di grandi n . Da un punto di vista geometrico questo equivale a dire che, per cammini con $d \geq 3$ in fase estesa, la maggior parte delle intersezioni è data da autointersezioni dei singoli elementi ω_i , mentre il contributo alla densità nell'intorno dell'origine viene principalmente dalla porzione più prossima ad essa, che è appunto ω_0 . Detto questo, proviamo ad omettere in prima approssimazione i contributi di ordine $\mathcal{O}(\tau^{1-\nu d})$, scrivendo:

$$\pi(m) \simeq \langle \pi[\omega_0] \rangle_{\Omega_m} \quad (4.15)$$

$$nm \simeq \sum_i \langle M[\omega_i] \rangle_{\Omega_m}. \quad (4.16)$$

Ora, consideriamo due cammini ω, ω^+ , appartenenti rispettivamente agli insiemi Ω_m , con $m \leq C_d$, e Ω_m^+ , che rappresenta l'insieme dei cammini con almeno mn intersezioni:

$$\Omega_m^+ \equiv \{|\omega| = n, M[\omega] \geq mn\}. \quad (4.17)$$

Applichiamo a entrambi la decomposizione in porzioni di lunghezza τ e immaginiamo di sostituire una delle n_τ porzioni di ω con una di ω^+ .

I cambiamenti globali dovuti alle differenze di estensione media sono dello stesso ordine della probabilità di interazione, e in questa approssimazione vengono trascurati.

Indichiamo con $\tilde{\omega}_{i \rightarrow j}$ il cammino risultante dalla sostituzione della porzione $\omega_i \in \omega$ con una la porzione $\omega_j^+ \in \omega^+$, e consideriamo la quantità $\langle \pi[\tilde{\omega}_{i \rightarrow j}] \rangle_{\Omega_m, \Omega_m^+}$, che rappresenta l'ambiente di $\tilde{\omega}_{i \rightarrow j}$, mediato sulle realizzazioni di ω, ω^+ .

Dall'approssimazione (4.15) segue che la porzione contenente l'origine è l'unica significativa per calcolo di $\pi(m)$, dunque $\langle \pi[\tilde{\omega}_{i \rightarrow j}] \rangle_{\Omega_m, \Omega_m^+}$ sarà diverso da $\langle \pi[\omega] \rangle_{\Omega_m}$ solo se si sceglie $i = 0$. La probabilità di sostituire la porzione ω_0 è $1/n_\tau$: dunque, mediando sulle possibili scelte di i, j otterremo la relazione

$$\langle \pi[\tilde{\omega}] \rangle_{\Omega_m, \Omega_m^+} \simeq \langle \pi[\omega] \rangle_{\Omega_m} + n_\tau^{-1} \left(\langle \pi[\tilde{\omega}] \rangle_{\Omega_m^+} - \langle \pi[\omega] \rangle_{\Omega_m} \right), \quad (4.18)$$

dove con $\tilde{\omega}$ si intende il cammino ottenuto cambiando una qualunque porzione di ω con una di ω^+ . Notiamo che, per $m \leq C_d$ il valore di $\langle \pi[\tilde{\omega}] \rangle_{\Omega_m^+}$ tende a quello di $\langle \pi[\omega] \rangle_{\Omega_n} = C_d$ (Ω_n insieme dei SRW) nel limite $n \rightarrow \infty$: ne segue che

$$\langle \pi[\tilde{\omega}] \rangle_{\Omega_m, \Omega_m^+} \simeq \pi(m) + n_\tau^{-1} (C_d - \pi(m)). \quad (4.19)$$

Applichiamo un ragionamento simile per $M[\tilde{\omega}]$: in questo caso la una sostituzione modificherà solo una frazione $1/n_\tau$ dell'intero cammino, qualunque porzione si cambi. Scegliamo di cambiare la i -esima porzione: dalla (4.16)

$$\langle M[\tilde{\omega}] \rangle_{\Omega_m, \Omega_m^+} \simeq \langle M[\omega] \rangle_{\Omega_m} + \left(\langle M[\tilde{\omega}_i] \rangle_{\Omega_m^+} - \langle M[\omega_i] \rangle_{\Omega_m} \right). \quad (4.20)$$

Considerando che, in approssimazione $\tau \rightarrow \infty$, si ha (sempre da (4.16))

$$\tau^{-1} \langle M[\omega_i] \rangle_{\Omega_m} \simeq n^{-1} \langle M[\omega] \rangle_{\Omega_m} = m, \quad (4.21)$$

e che, anche in questo caso, per $m < C_d$ il limite di $n^{-1} \langle M[\tilde{\omega}] \rangle_{\Omega_m^+}$ sarà C_d :

$$n^{-1} \langle M[\tilde{\omega}] \rangle_{\Omega_m, \Omega_m^+} \simeq m + n^{-1} (C_d - m). \quad (4.22)$$

Ora, indichiamo le variazioni ottenute attraverso la sostituzione con

$$\delta m = n^{-1} \langle M[\tilde{\omega}] \rangle_{\Omega_m, \Omega_m^+} - m, \quad (4.23)$$

$$\delta \pi(m) = \langle \pi[\tilde{\omega}] \rangle_{\Omega_m, \Omega_m^+} - \pi(m) : \quad (4.24)$$

combinando con (4.19) e (4.22), otterremo l'equazione differenziale di primo grado

$$\frac{\delta \pi(m)}{\delta m} \simeq \left(\frac{C_d - \pi(m)}{C_d - m} \right), \quad (4.25)$$

la cui soluzione (imponendo la condizione $[\partial_m \pi(m)]_{C_d} = B_d$) è

$$\pi(m) \simeq C_d(1 - B_d) + B_d m. \quad (4.26)$$

La relazione trovata corrisponde all'espansione al primo ordine di $\pi(m)$ in $m = C_d$. Si noti che i limiti $\langle \pi[\tilde{\omega}] \rangle_{\Omega_m^+} \rightarrow C_d$ e $n^{-1} \langle M[\tilde{\omega}] \rangle_{\Omega_m^+} \rightarrow C_d$ sono validi solo per $m \leq C_d$, dunque la forma di $\pi(m)$ trovata è giustificata solo per $m \leq C_d$. Per calcolare il ramo con $m \in (C_d, m_c)$ è sufficiente applicare lo stesso procedimento, con $\omega^- \in \Omega_m^-$ al posto di ω_+ , dove

$$\Omega_m^- \equiv \{|\omega| = n, M[\omega] \leq m n\}. \quad (4.27)$$

Con questo insieme i due limiti tornano ad essere validi, e si arriva alla stessa $\pi(m)$ in (4.26). Si ricorda che questo discorso, basandosi su proprietà esclusive delle catene estese, è valido solo per $m < m_c$,

E' facile verificare come la (4.26) sia inconsistente con le informazioni raccolte fino ad ora su $\pi(m)$: abbiamo infatti individuato tre condizioni, che corrispondono ai valori esatti $\pi(0) = \eta_d$, $\pi(C_d) = C_d$ e $[\partial_m \pi(m)]_{C_d} = B_d$, e il valore $\pi(0) = C_d(1 - B_d)$ predetto dalla (4.26) è certamente diverso da η_d .

Una spiegazione può essere trovata nel fatto di aver costruito i cammini ω combinando pezzi di lunghezza divergente nel limite $n \rightarrow \infty$: per avere cammini con misura di probabilità non nulla è infatti necessario usare delle τ dell'ordine del tempo di intersezione, che però è una costante di ordine $\tau_c \sim \mathcal{O}(C_d^{-1}) < \infty$. Dato che la suddivisione in porzioni finite comporta immancabilmente un errore di ordine costante nel trascurare i termini $\mathcal{O}(\tau^{1-\nu d})$, è chiaro come la (4.26) non possa essere esatta.

Tuttavia, per $d \geq 4$ le simulazioni presentate nelle Figure 2.10, 2.11, 2.12, 2.13 indicano che la (4.26) rappresenta una buona (se non ottima) approssimazione per $\pi(m)$.

Tabella 4.1:

d	B_d	$\eta_p^{(l)}$	η_d	$\eta_p^{(l)}/\eta_d - 1$
3	1/2	0.17026 (9)	0.2193 (5)	-22.38%
4	0.22080 (9)	0.15054 (1)	0.1532445 (6)	-1.76%
5	0.13767 (2)	0.11656 (8)	0.1161456 (3)	0.36%
6	0.10266 (0)	0.09396 (5)	0.0934921 (3)	0.51%
7	0.08291 (2)	0.078727 (3)	0.07837021 (4)	0.46%
8	0.07030 (6)	0.067786 (5)	0.0675464 (2)	0.36%

In tabella 4.2 sono riportate le discrepanze tra la $\eta_p^{(l)} = C_d(1 - B_d)$, calcolato attraverso la (4.26), e i valori reali η_d ottenuti da simulazioni (si veda la sezione sui SAW presente in appendice): mentre il caso $d = 3$ presenta una notevole sottostima (oltre il 20%), già per $d = 4$ si ha un errore assoluto sotto il 2%, mentre i casi $d \geq 5$ danno una sovrastima al di sotto del punto percentuale.

Ad ogni modo, mentre per $d = 3$ si osserva una discrepanza notevole (evidente anche in Figura 2.9), dovuta al fatto che $d = 3$ è solo debolmente transiente (il tempo di intersezione è molto piccolo) già per $d \geq 4$ si ha una approssimazione piuttosto fedele dei risultati esatti: in effetti C_d decresce in d , e dunque anche l'errore commesso nel trascurare le interazioni a lungo raggio sarà $\mathcal{O}(C_d^{\nu d - 1})$ decrescente in d .

4.3 Caso collassato $m > m_c$ e distribuzione $P_n(m)$

Per il caso collassato non è possibile aggiungere molto rispetto a quanto detto nel secondo capitolo. Per $m > m_c$ non è infatti possibile ripetere il discorso precedente, visto che $1 - \nu d = 0$ e le fluttuazioni non sono trascurabili in nessun caso.

Ad ogni modo, i dati in nostro possesso ci permettono comunque di arrivare ad alcune conclusioni circa il comportamento limite di $P_n(m)$.

Con una argomentazione euristica eravamo arrivati a definire che $\pi(1) = 1$, mentre dai dati si era ipotizzato che $\pi(m) < 1$ per $m \in (m_c, 1)$.

Queste due informazioni ci permettono di applicare direttamente i risultati ottenuti alla fine del terzo capitolo: identificando $\pi(m \leq m_c)$ con $\tilde{\pi}(m)$, e $\pi(m > m_c)$ con $\mu(m)$, si ottiene la $\pi(m)$ descritta in (3.44), per cui il limite

$$\lim_{n \rightarrow \infty} n^{-1} \log(P_n(m)) = \varphi(m), \quad (4.28)$$

esiste, ed è dato dalla funzione (3.45):

$$\varphi(m) = \begin{cases} \tilde{\varphi}(m) & m \in [0, C_d] \\ 0 & m \in (C_d, 1] \end{cases}, \quad (4.29)$$

dove $\tilde{\varphi}(m)$ è soluzione della (3.31) per $\tilde{\pi}(m) = \pi(m < m_c)$.

Un'ultima congettura circa le proprietà di $\pi(m)$ nel caso collassato può comunque essere introdotta ipotizzando l'analogia con la WS.

Sotto questa condizione, la distribuzione $P_n(m)$ per $m > C_d$ dovrebbe godere delle seguenti proprietà (si veda la sezione in appendice sulla WS, dove si riassumono i risultati di [13]):

$$\lim_{n \rightarrow \infty} n^{-1 + \frac{2}{d}} \log(P_n(m)) = \phi(m), \quad (4.30)$$

$$\lim_{m \rightarrow 1} (1-m)^{\frac{2}{d}} \phi(m) = \lambda \in (0, \infty), \quad (4.31)$$

$$\partial_m \phi(m) < 0, \quad m \in (C_d, 1), \quad (4.32)$$

$$\lim_{m \rightarrow m_c^+} \partial_m \phi(m) \neq \lim_{m \rightarrow m_c^-} \partial_m \phi(m). \quad (4.33)$$

Stanti le congetture fatte nell'ultima sezione del secondo capitolo, queste caratteristiche sono ottenibili imponendo che per $m \in (m_c, 1)$ valga la relazione $\pi(m) < m$. Combinando la (3.48) con gli effetti di bordo $\bar{\psi}_n(m)$ dati dall'equazione (2.13), possiamo scrivere direttamente la (3.49) come

$$\lim_{n \rightarrow \infty} \log(P_n(m)) \propto - (1-m)^{-\frac{2}{d}} n^{1-\frac{2}{d}}. \quad (4.34)$$

Questa funzione verifica le caratteristiche (4.30), (4.31). La (4.32) segue invece dalla congettura per cui se $\pi_n(m_i) = m_i$, $\dot{\pi}_n(m_i) < 1$, allora m_i è un massimo locale di $\log(P_n(m))$: imponendo $\pi(m \in (m_c, 1)) < m$ non possono infatti esserci intersezioni di $\pi_n(m)$ con la retta m nel range considerato.

In fine, studi numerici della (3.22) (di cui è riportato un esempio in Figura 3.4) confermano la discontinuità della derivata di $\phi(m)$ in m_c , se questa è presente anche in $\pi(m)$.

Capitolo 5

Modelli termodinamici

Mostreremo ora come i risultati fin qui ottenuti possano essere impiegati per giustificare alcune proprietà matematiche dei modelli di polimeri interagenti: in particolare, ci occuperemo di un modello introdotto da Stanley et al. alcuni decenni fa ([16]). Benché il modello di Stanley (SM) risulti piuttosto astratto, molte sue proprietà sono (almeno indirettamente) di notevole interesse nell'attuale panorama matematico. Inoltre, ci consentirà di formulare alcune congetture sul parametro d'ordine (2.7) in prossimità del punto di transizione.

La nostra trattazione dello SM consiste essenzialmente nella riscrittura del problema (3.31) in termini di funzioni generatrici: come vedremo, questo ci consentirà di costruire una equazione risolvibile più abbordabile per il processo stocastico (3.1), (3.2), e di risolverne esattamente il caso lineare.

5.1 Catene interagenti

I modelli di polimeri lineari che, come il SAW, includono interazioni fra monomeri mostrano una forte autocorrelazione, e sono dunque estremamente difficili da analizzare. Queste situazioni vengono ottenute, in termini termodinamici, associando un'energia alle possibili configurazioni di un SRW. Indicando con ω una generica configurazione appartenente all'insieme Ω_n dei SRW di n -passi, possiamo associargli una energia $E[\omega]$. Usando l'usuale ensemble canonico, possiamo definire una probabilità di ensemble dipendente dalla temperatura come

$$P_\beta[\omega \in \Omega_n] \equiv Z_n(\beta)^{-1} \exp(-\beta E[\omega]), \quad (5.1)$$

dove $\beta = 1/kT$, k è la costante di Boltzmann e T la temperatura assoluta. La costante di normalizzazione è ovviamente la *funzione di partizione canonica* del sistema,

$$Z_n(\beta) \equiv \sum_{\omega \in \Omega_n} \exp(-\beta E[\omega]), \quad (5.2)$$

dalla quale possiamo calcolare le funzioni termodinamiche. Si noti che nel limite di alte temperature $\beta \rightarrow 0$ otteniamo $Z_n(\beta) = (2d)^n$, $P_0[\omega] = (2d)^{-n}$ corrispondente al SRW, in cui tutte le configurazioni hanno eguale peso statistico.

Tuttavia, per temperature finite le probabilità di ensemble legate alle configurazioni differiscono dalla distribuzione piatta. Se introduciamo l'interazione fra monomeri attraverso le auto-intersezioni, scegliendo ad esempio $E[\omega]$ crescente con M , otterremo un peso statistico maggiore per i cammini con molte intersezioni, mentre per $E[\omega]$ decrescente in M sarà maggiore la probabilità di avere meno intersezioni della media di un SRW. Fisicamente questo corrisponde a scoraggiare (o incoraggiare) termodinamicamente le configurazioni a seconda del loro numero di auto-intersezioni.

Si noti che il sistema considerato è, per postulato, in *equilibrio termodinamico*, dunque l'energia $E[\omega]$ deve essere sempre calcolata sulle configurazioni di lunghezza n : in nessun modo le probabilità di transizione usate per generare il cammino devono venire modificate durante la crescita dello stesso.

5.2 Modello di Stanley

Un modello canonico particolarmente semplice è il modello di Stanley ([16]), in cui le intersezioni sono scoraggiate o incoraggiate attraverso una hamiltoniana proporzionale ad M , con un prefattore ϵ che può essere sia positivo (intersezioni scoraggiate) che negativo (intersezioni incoraggiate).

Detta $E[\omega]$ l'hamiltoniana del sistema per una determinata configurazione ω , questa è definita come

$$E[\omega] = \epsilon M[\omega] = \epsilon \lim_{\alpha \rightarrow 0^+} \sum_{i=0}^{n-1} (g(S_i) - 1)^\alpha, \quad (5.3)$$

dove $g(S_i)$ corrisponde al numero di occupazione del sito S_i : funzione di partizione e probabilità dell'ensemble seguono dalle definizioni (5.1), (5.2).

Poniamo per semplicità $|\epsilon| = 1$: possiamo trattare entrambi i casi con un unico parametro $q = e^{\pm\beta}$, ottenendo il modello di Stanley repulsivo per $q < 1$, il SRW per $q = 1$, e il caso attrattivo per $q > 1$. In particolare $q = 0$ corrisponde al SAW.

Vogliamo esprimere lo spettro energetico del modello in funzione di q . Da semplici manipolazioni è possibile riscrivere la funzione di partizione in termini della funzione $N_n(M) = (2d)^n P_n(M)$, rappresentante il numero di cammini di lunghezza n con esattamente M intersezioni:

$$Z_n(q) = \sum_{M=0}^{n-1} N_n(M) q^M = (2d)^n \sum_{M=0}^{n-1} P_n(M) q^M. \quad (5.4)$$

Dalla definizione di distribuzione dell'ensemble ricaviamo direttamente lo spettro energetico (normalizzato all'unità)

$$P_n^{(q)}(M) = (2d)^n Z_n(q)^{-1} P_n(M) q^M. \quad (5.5)$$

Come possiamo notare, la distribuzione libera $P_n(M)$ contiene tutte le informazioni necessarie per descrivere il modello dal punto di vista energetico.

Nel caso $\epsilon < 0$, si ritiene ([2]) che il modello di Stanley abbia comportamenti del tutto simili al modello di Domb-Joyce ([17]), corrispondente al caso $\alpha = 2$ della (5.3). La funzione di partizione per il modello di Domb-Joyce è:

$$Z_n(\beta) = \sum_{\omega \in \Omega_n} \prod_{i=0}^{n-1} \prod_{j=i+1}^n [1 + (e^{-\beta} - 1) \delta_{S_i, S_j}], \quad (5.6)$$

ed è facile dimostrare l'equivalenza con quella derivante dalle (5.2), (5.3), con $\alpha = 2$ (a meno di un fattore dipendente solo da n).

Vediamo ora i risultati noti nel caso $q \in [0, 1)$, $d \geq 3$: come per il SAW, la maggior parte dei risultati rigorosi si ha per $d \geq 5$. Attraverso la *Lace-Expansion* ([18]) è infatti stato possibile dimostrare che, per $d \geq 5$, la distribuzione $P_n^{(q)}(|S_0 - S_n|)$ converge ad una gaussiana per $n \rightarrow \infty$, e il raggio quadratico medio

$$\mathfrak{R}_n^2(q) = \langle |S_n - S_0|^2 \rangle_q \quad (5.7)$$

ha $2\nu_d(q) = 1$ come esponente caratteristico di scaling (con $\langle \cdot \rangle_q$ si indica la media di ensemble).

Oltre la dimensione critica $d_c = 4$ il modello scala dunque come il SRW, con un diverso valore della costante di diffusione. Quest'ultimo risultato è valido anche nel caso $q = 0$, $d \geq 5$, dove è in effetti dimostrato (sempre con la *Lace-Expansion*) che $2\nu_d = 1$. Si noti che i risultati rigorosi riportati sono in accordo con la formula di Fisher-Flory, che prevede appunto $2\nu_d(q) = 1$ oltre la dimensione critica.

Per $d = 3$, calcoli non rigorosi di teoria dei campi (oltre che da argomentazioni tipo Fisher-Flory) suggeriscono un comportamento analogo al caso del SAW per $q \in (0, 1)$, con esponente $\nu_3(q) = \nu_3$. Queste congetture sono supportate da precise simulazioni numeriche e sono generalmente accettate come esatte. Anche il caso $d = 4$ mostra uno scaling identico a quello del SAW, per cui è previsto $\nu_4 = 1/2$ con una debole correzione logaritmica ([19, 20]).

Riassumendo, per $q < 1$ la distanza quadratica media $\mathfrak{R}_n^2(q)$ scala come :

$$\mathfrak{R}_n^2(q) \sim \begin{cases} n^{2\nu_d} & d \neq 4 \\ n \log(n)^{\frac{1}{4}} & d = 4 \end{cases} \quad (5.8)$$

dove ν_d sono gli esponenti critici di correlazione del Self-Avoiding Walk (si veda in appendice la sezione relativa).

Non sono noti risultati rigorosi sull'andamento della distanza quadratica media nel caso $q > 1$, a parte una argomentazione euristica in [2] basata sulla (2.11): la stima fornita per $d \geq 3$ è

$$\mathfrak{R}_n^2(q) \sim n^{\frac{2}{d+2}}. \quad (5.9)$$

L'andamento del range nel modello di Stanley per $q > 1$, $d \neq 2$, è stato invece dimostrato in maniera rigorosa da Donsker e Varadhan ([21]), nell'ambito della *teoria delle grandi deviazioni*. La complessità della dimostrazione

non consente una trattazione completa dei risultati (che in gran parte esulano da questo lavoro), tuttavia possiamo riassumere la parte relativa al modello di Stanley nella relazione seguente:

$$\lim_{n \rightarrow \infty} [n^{-\delta} \langle R \rangle_q] \in (0, \infty), \forall q > 1. \quad (5.10)$$

In particolare il teorema di Donsker-Varadhan fornisce anche gli esponenti δ per tutte le dimensioni del reticolo:

$$\delta = \begin{cases} \frac{2}{3} & d = 2 \\ \frac{d}{d+2} & d \neq 2 \end{cases}. \quad (5.11)$$

Questo risultato (in qualche modo sorprendente, dato che un valore di q molto vicino all'unità comporta comunque un cambiamento qualitativo rispetto al SRW) segue immediatamente anche da una approssimazione *saddle point* su $P_n^{(q)}(R)$. Infatti, dalle relazioni (2.13), (3.49), (5.5), la distribuzione del range $P_n^{(q)}(R)$ per $n^{-1}R \sim 1$ è data dall'espressione

$$\log \left(P_n^{(q)}(R) \right) \sim -\lambda R^{-\frac{2}{d}} n - \log(q) R, \quad (5.12)$$

il cui massimo in R è proprio per $R \propto n^{d/(d+2)}$.

Per quanto riguarda il range $\langle R \rangle_q$ con $q \in [0, 1)$, studi sulla funzione generatrice della WS ([22]) e alcune congetture derivanti dal caso $d = 1$ ([23, 24]), indicano $\langle R \rangle_q \sim n$. Dunque il numero di autointersezioni nel modello di Stanley per $d \geq 3$ dovrebbe scalare come per il SRW, con l'ovvia esclusione per il caso $q = 0$, in cui le intersezioni sono assenti per definizione. Vedremo a breve come è possibile derivare questo risultato attraverso le informazioni raccolte in questo lavoro.

5.3 Energia libera del modello di Stanley repulsivo

Si consideri la funzione di partizione (5.4), con $q = \exp(-\beta)$: come operazione preliminare conviene eliminare il fattore moltiplicativo $(2d)^n$, che determina semplicemente un termine additivo, indipendente da M , nell'energia libera. Ri-definiamo la scala delle energie in modo da porre lo zero su $-n \log(2d)$: la nuova funzione di partizione sarà

$$Z_n(\beta) = \sum_{M=0}^{n-1} P_n(M) e^{-\beta M}. \quad (5.13)$$

Definiamo la funzione di partizione ridotta $z(\beta)$, e la $u(\beta)$, energia libera per monomero nel limite $n \rightarrow \infty$: dalle definizioni si trova che

$$z(\beta) \equiv \lim_{n \rightarrow \infty} Z_n(\beta)^{\frac{1}{n}}. \quad (5.14)$$

$$u(\beta) \equiv - \lim_{n \rightarrow \infty} n^{-1} \log(Z_n(\beta)). \quad (5.15)$$

Si ricorda che la $u(\beta)$ è definita a meno del termine additivo $-\log(2d)$. Introduciamo inoltre le funzioni termodinamiche

$$\langle m \rangle_\beta = - \lim_{n \rightarrow \infty} n^{-1} \partial_\beta \log(Z_n(\beta)), \quad (5.16)$$

$$c(\beta) = - \lim_{n \rightarrow \infty} n^{-1} \beta^2 \partial_\beta^2 \log(Z_n(\beta)), \quad (5.17)$$

corrispondenti rispettivamente a numero medio di intersezioni e calore specifico per monomero ($\langle \cdot \rangle_\beta$ indica la media termodinamica).

Abbiamo visto in precedenza come, nel limite di n grandi, $P_n(M)$ mostri il seguente andamento asintotico:

$$n^{-1} \log(P_n(M)) \rightarrow \varphi(n^{-1}M), \quad (5.18)$$

La funzione $\varphi(m)$ è stata ottenuta, a partire da $\pi(m)$, come soluzione continua in $m \in [0, 1]$ dell'equazione differenziale (3.31). Per semplificare l'esposizione, nei calcoli che svolgeremo di seguito assumeremo che, nell'intervallo chiuso $m \in [0, C_d]$, $\varphi(m)$ sia una funzione invertibile di classe C^∞ .

Sostituiamo ora $\varphi(n^{-1}M)$ in (5.15), esprimendo $u(\beta)$ attraverso il limite

$$u(\beta) = - \lim_{n \rightarrow \infty} n^{-1} \log \left(\sum_{M=0}^{t-1} e^{n\varphi(n^{-1}M) - \beta M} \right). \quad (5.19)$$

Introducendo $m = n^{-1}M$, è possibile passare al limite continuo: cambiamo dunque la somma in M con un integrale in m , ottenendo

$$u(\beta) = - \lim_{n \rightarrow \infty} n^{-1} \log \left(\int_0^1 e^{n(\varphi(m) - \beta m)} dm \right). \quad (5.20)$$

Il limite dell'equazione precedente può essere risolto esattamente con una integrazione *saddle point*. Introduciamo la quantità m_β , definita come

$$m_\beta | \dot{\varphi}(m_\beta) = \beta : \quad (5.21)$$

l'energia libera può essere espressa in termini di m_β attraverso la relazione

$$u(\beta) = \beta m_\beta - \varphi(m_\beta). \quad (5.22)$$

Combinando (5.16) con (5.22) si trova che $\langle m \rangle_\beta = m_\beta$, mentre il calore specifico è ovviamente

$$c(\beta) = -\beta^2 \partial_\beta u(\beta). \quad (5.23)$$

Dalle relazioni precedenti risulta intuitivamente chiaro come la media termodinamica selezioni, per n grandi, cammini appartenenti in prevalenza all'insieme Ω_{m_β} . Da questo segue immediatamente che tutte le quantità del modello di Stanley per una determinata β devono scalare (nel limite di n grande) come quelle dell'ensemble Ω_m , con $m = m_\beta$.

E' ora esplicita l'analogia, anticipata nel secondo capitolo, tra gli andamenti di $\mathfrak{R}_n^2(\beta) = \langle |S_n - S_0|^2 \rangle_\beta$ del modello di Stanley e di $\mathfrak{R}_n^2(m)$ per le catene con $m < C_d$: le due funzioni, posto $m_\beta = m$, dovrebbero essere uguali nel limite di grandi n .

Quest'ultimo fatto ci è utile nei casi $d = 3, 4$. Sempre nel secondo capitolo avevamo infatti introdotto il parametro $\varrho_d(m)$, definito dal limite (2.7): detto $\delta m_\beta = C_3 - m_\beta$, e stante l'uguaglianza

$$\mathfrak{R}_n^2(\beta) \simeq \mathfrak{R}_n^2(m_\beta), \quad (5.24)$$

è possibile determinare la natura della transizione di $\varrho_3(\delta m)$ in $\delta m = 0$ a partire dalla espressione di $\mathfrak{R}_n^2(\beta)$ per piccoli valori di β (chiaramente questo non è possibile per $d \geq 5$, in quanto il punto di transizione è oltre il range di m_β).

Una stima approssimativa di $\mathfrak{R}_n^2(\beta)$ per β piccoli si può ottenere dalla teoria di Fisher-Flory. Si parte dall'energia di Flory ([6]) per una catena debolmente interagente:

$$\mathcal{F}_\beta(r) \sim \beta n^2 r^{-d} + \frac{r^2}{2n} - (d-1) \log(r) + \Lambda(n), \quad (5.25)$$

dove $r = |S_n - S_0|$ è la distanza end-to-end della catena. Vogliamo minimizzare l'energia sotto l'ipotesi $r \sim \beta^\theta n^\nu$: derivando in r , operando la sostituzione $r \rightarrow \beta^\theta n^\nu$ ed annullando l'espressione si ottiene la relazione

$$d\beta^{1-\theta(1+d)}n^{2-\nu(1+d)} + (d-1)\beta^{-\theta}n^{-\nu} = \beta^\theta n^{\nu-1}. \quad (5.26)$$

Se $\nu d < 2$, per grandi n il termine $\mathcal{O}(n^{-\nu})$ può essere trascurato rispetto a quello $\mathcal{O}(n^{2-\nu(1+d)})$: eguagliando gli esponenti si avrà $\nu = 3/(d+2)$, $\theta = 1/(d+2)$. Se invece $\nu d \geq 2$ si troverà $\nu = 1/2$, $\theta = 0$. Dunque per $d = 3$ la teoria di Flory prevede $\theta = 1/5$.

Una stima, matematicamente più fondata, ma di precisione paragonabile, è dedotta in [25] utilizzando gli integrali di cammino: l'espressione fornita per il raggio quadratico medio è identica a quella ottenibile con il metodo di Flory, e vale

$$\mathfrak{R}_n^2(\beta) \sim C_0 \beta^{\frac{2}{d+2}} n^{\frac{6}{d+2}}. \quad (5.27)$$

Questa relazione, certamente errata in quanto $\nu_3 \neq 3/5$, ha il pregio di mostrare l'andamento in β , consentendoci di stimare $\varrho_3(m_\beta) \propto \beta^{2/5}$, per piccoli β .

Abbiamo visto nel capitolo terzo che se $\pi(m_0) = m_0$, $\dot{\pi}(m_0) = 1/2$ (come accade appunto per $d = 3$) non è possibile definire $\varphi(m)$ in m_0 : il limite di $\log(P_t(m_t))$ per $t \rightarrow \infty$, $m_t \rightarrow m_0 + \delta m$ è comunque compreso fra

$$\lim_{t \rightarrow \infty} \log(P_t(m_t)) \in \left[c_1 |\delta m|^2, c_2 |\delta m|^{2+\epsilon} \right], \quad (5.28)$$

con $\epsilon \rightarrow 0^+$: segue dunque che l'andamento di δm_β per piccoli β deve essere compreso tra $\mathcal{O}(\beta^{1-\epsilon})$ e $\mathcal{O}(\beta)$, con $\epsilon \rightarrow 0^+$. Questo ci dà che

$$\varrho_3(\delta m) \in \left[\kappa_1 \delta m^{\frac{2}{5}}, \kappa_2 \delta m^{\frac{2}{5}(1-\epsilon)} \right], \quad (5.29)$$

con $\epsilon \rightarrow 0^+$. Dunque, in $d = 3$ l'analogia con il modello di Stanley prevede una transizione continua in C_d : l'esponente $\theta = 1/5$ è quasi certamente errato, ma l'andamento a potenza $\varrho_3(m_\beta) \propto \delta m^{2\theta}$, con $\theta < 1/2$, (e una qualche correzione di ordine logaritmico) è del tutto plausibile.

Per il caso $d = 4$, la teoria di Flory non è applicabile (non può rilevare la correzione logaritmica), e non è stato possibile reperire altre stime di $\mathfrak{R}_n^2(\beta)$, dunque non vi sono dati sufficienti per discuterne.

Si noti che la teoria di Flory prevede, correttamente, $\theta = 0$ per $d \geq 5$: in questa situazione infatti $m = C_d$ è un punto analitico di $\varrho_d(m)$, con $\varrho_d(C_d) > 0$ (la transizione è prevista per $m_c > C_d$).

Per quanto riguarda il range, dalla definizione di $\langle m \rangle_\beta = m_\beta$ segue che, se $m_\beta \in (0, 1)$, il range del modello di Stanley deve scalare come $\langle R \rangle_\beta \sim (1 - m_\beta)n$ nel limite di n grande.

Vedremo ora come è possibile determinare $u(\beta)$ unicamente a partire dalla funzione ambiente $\pi(m)$. Sappiamo che la funzione $\varphi(m)$ soddisfa l'equazione (3.31), dunque si deve avere

$$e^{\varphi(m_\beta) - m_\beta \varphi(m_\beta)} = \pi(m_\beta) e^{-\varphi(m_\beta)} + 1 - \pi(m_\beta). \quad (5.30)$$

Sostituendo nell'equazione precedente le relazioni (5.21), (5.22), e ricordando che $m_\beta = \partial_\beta u(\beta)$, otterremo la seguente equazione differenziale implicita in $u(\beta)$:

$$\pi(\partial_\beta u(\beta)) = \frac{1 - e^{-u(\beta)}}{1 - e^{-\beta}}. \quad (5.31)$$

In conformità con le informazioni raccolte, si considera $\pi(m)$ invertibile; segue dunque che la precedente equazione può essere formalmente riscritta come

$$\partial_\beta u(\beta) = \pi^{-1}\left(\frac{1 - e^{-u(\beta)}}{1 - e^{-\beta}}\right) \quad (5.32)$$

dove $\pi^{-1}(\cdot)$ rappresenta la funzione inversa di $\pi(m)$.

L'equazione trovata è completamente equivalente alla (3.31): è infatti possibile determinare in forma parametrica $\varphi(m)$, esprimendo $\varphi(m_\beta) = -u(\beta) + \beta m_\beta$ in funzione di m_β al variare del parametro β .

La (5.31) sarà difficilmente solubile per una generica $\pi(m)$, ma certamente più semplice di (3.31) (almeno per quanto riguarda l'esplicitazione di $\varphi(m)$). Per esplicitare la (3.31) nella derivata è infatti necessaria la soluzione generale $y(\kappa_0, \kappa_1, \kappa_2)$ di $y^{\kappa_0} + \kappa_1 y + \kappa_2 = 0$, per cui certamente non esiste alcuna espressione in forma chiusa. L'esplicitabilità di (5.31) dipende invece dall'esistenza dell'inversa di $\pi(m)$, non escludibile a priori.

5.4 Approssimazione per $d \geq 5$

Nel capitolo quarto abbiamo derivato una approssimazione lineare per $\pi(m)$, piuttosto accurata quando $d \geq 5$: vedremo ora come, in questo caso, sia possibile risolvere esattamente la (5.31), trovando l'espressione esatta di $u(\beta)$ in termini

di funzioni ipergeometriche. Partiamo dunque dalla forma lineare di $\pi(m)$ nei parametri generici a, b , con $a > 0, a + b < 1$:

$$\pi(m) = a + bm. \quad (5.33)$$

Chiaramente, per ottenere il modello di Stanley vanno imposti i parametri $a = C_d(1 - B_d)$, $b = B_d$, che contengono la fisica del sistema (si vedano le tabelle nei capitoli primo e quarto).

Sostituendo nella (5.31), si ottiene la seguente equazione differenziale in β , esplicitabile nella derivata:

$$a + b \partial_\beta u(\beta) = \frac{1 - e^{-u(\beta)}}{1 - e^{-\beta}}. \quad (5.34)$$

Operiamo ora le seguenti sostituzioni:

$$\xi = (1 - e^{-\beta}), \quad (5.35)$$

$$z(\xi) = e^{-u(\beta(\xi))}, \quad (5.36)$$

dove $\xi \in [0, 1]$ equivale a $1 - q$ del modello di Stanley con $q < 1$, e $z(\xi)$ è la funzione di partizione ridotta (5.14) espressa in ξ . Dopo alcune semplificazioni, la (5.34) nelle nuove variabili assume la forma

$$\partial_\xi z(\xi) = \frac{z(\xi)^2 + (a\xi - 1)z(\xi)}{b\xi(1 - \xi)}. \quad (5.37)$$

Si tratta di una equazione di Riccati, che attraverso una ulteriore serie di ridefinizioni (non riportate), è riconducibile ad una equazione differenziale ipergeometrica. Alla fine dei calcoli, si trova la soluzione della (5.37) nella forma

$$\frac{z(\xi)}{1 - a} = \left[1 + \frac{a\xi^{\frac{1}{b}}\Psi_+}{(1 - \xi)^{\frac{1-a}{b}}} - a(1 - \xi) {}_2F_1\left(1, 1 - \frac{a}{b}; 1 - \frac{1}{b}; \xi\right) \right]^{-1}, \quad (5.38)$$

dove ${}_2F_1(\kappa_0, \kappa_1; \kappa_2; \xi)$ è la funzione ipergeometrica di Gauss, e Ψ_+ è il parametro libero. Imponendo la condizione $z(1) = 1 - a$, si ottiene in fine il parametro Ψ_+ , calcolabile attraverso il limite

$$\Psi_+ = \lim_{\xi \rightarrow 1} \left[\frac{{}_2F_1\left(1, 1 - \frac{a}{b}; 1 - \frac{1}{b}; \xi\right)}{(1 - \xi)^{\frac{a-1}{b}-1} \xi^{\frac{1}{b}}} \right] = \left(\frac{1 - a}{ab} \right) \frac{\Gamma\left(\frac{1-a}{b}\right) \Gamma\left(-\frac{1}{b}\right)}{\Gamma\left(-\frac{a}{b}\right)}. \quad (5.39)$$

Si noti che la funzione $\Gamma(\kappa)$ diverge per $\kappa \in \mathbb{Z}^-$, così come ${}_2F_1(1, \kappa_1; \kappa_2; \xi)$ diverge per $\kappa_1, \kappa_2 \in \mathbb{Z}^-$. Dunque, quando $1/b, (a - 1)/b$ sono numeri interi positivi, la funzione $z(\xi)$ deve essere determinata attraverso un limite di parametri reali che tendono a numeri interi.

A questo punto, possiamo scrivere l'energia libera

$$u(\xi) = -\log(z(\xi)), \quad (5.40)$$

e da questa le funzioni termodinamiche m_β e $c(\beta)$ espresse nella nuova variabile:

$$m(\xi) = (1 - \xi) \partial_\xi u(\xi), \quad (5.41)$$

$$c(\xi) = -(1 - \xi) \log(1 - \xi)^2 [(1 - \xi) \partial_\xi^2 u(\xi) - \partial_\xi u(\xi)]. \quad (5.42)$$

Per brevità, non si riportano le espressioni complete, che possono essere facilmente calcolate con un CAS.

Imponiamo ora i valori relativi al modello reale per $d \geq 5$: per $a = C_d(1 - B_d)$, $b = B_d$ non si osservano punti di non analiticità nelle funzioni termodinamiche. In particolare, come previsto il calore specifico non ha discontinuità (il modello di Stanley non presenta transizioni di fase a temperatura finita), e $m(\xi) \in (0, C_d)$ per $\xi \in (0, 1)$ (Figure 5.1, 5.2 per $d = 5, 6, 7$).

Come ultimo argomento, presentiamo una piccola digressione sulla rappresentazione parametrica di $\varphi(m)$ nel caso lineare. Abbiamo già sottolineato come sia possibile descrivere $\varphi(m(\xi))$ variando il parametro ξ , ma è chiaro che, prendendo $\xi \in [0, 1]$, siamo in grado di rappresentare la funzione solo nel range $m(\xi) \in [0, m_0]$ (con $m_0 = \pi(m_0)$).

Per ottenere anche il ramo con $m \in (m_0, 1)$ occorre prendere $\exp(\beta)$ al posto di $\exp(-\beta)$ nelle definizioni delle quantità termodinamiche: in particolare si avrà che $m_\beta = -\partial_\beta u(\beta)$. Questo ci porterà all'equazione

$$\pi(-\partial_\beta u(\beta)) = \frac{e^{-u(\beta)} - 1}{e^\beta - 1}. \quad (5.43)$$

La sostituzione opportuna questa volta è

$$\vartheta = (e^\beta - 1) \in [0, \infty), \quad (5.44)$$

$$z(\vartheta) = e^{-u(\beta(\vartheta))}, \quad (5.45)$$

da cui semplificando si ottiene l'equazione differenziale

$$\partial_\vartheta z(\vartheta) = \frac{z(\vartheta)^2 - (a\vartheta + 1)z(\vartheta)}{b\vartheta(1 + \vartheta)}. \quad (5.46)$$

Si tratta di una equazione di Riccati, dello stesso tipo della precedente (5.37): anche la sua soluzione è concettualmente simile, e porta alla funzione

$$z(\vartheta) = (1 + \vartheta)^{\frac{1-a}{b}} \left[\vartheta^{\frac{1}{b}} \Psi_- + {}_2F_1 \left(-\frac{1}{b}, 1 + \frac{a-1}{b}; 1 - \frac{1}{b}; -\vartheta \right) \right]^{-1}. \quad (5.47)$$

Determinare il parametro libero è più complesso del caso precedente, essendo questo individuato dall'unica soluzione reale dell'equazione

$$\Psi_- \mid \lim_{\vartheta \rightarrow \infty} \partial_\vartheta z(\vartheta) \in (0, \infty) : \quad (5.48)$$

dimostrare l'unicità di Ψ_- (e determinarne simbolicamente il valore) è tecnicamente possibile a partire dalla (5.46), ma comporta una mole di lavoro aggiuntivo che esula dagli scopi principali di questo lavoro.

Dall'espressione di $z(\vartheta)$ ricaviamo

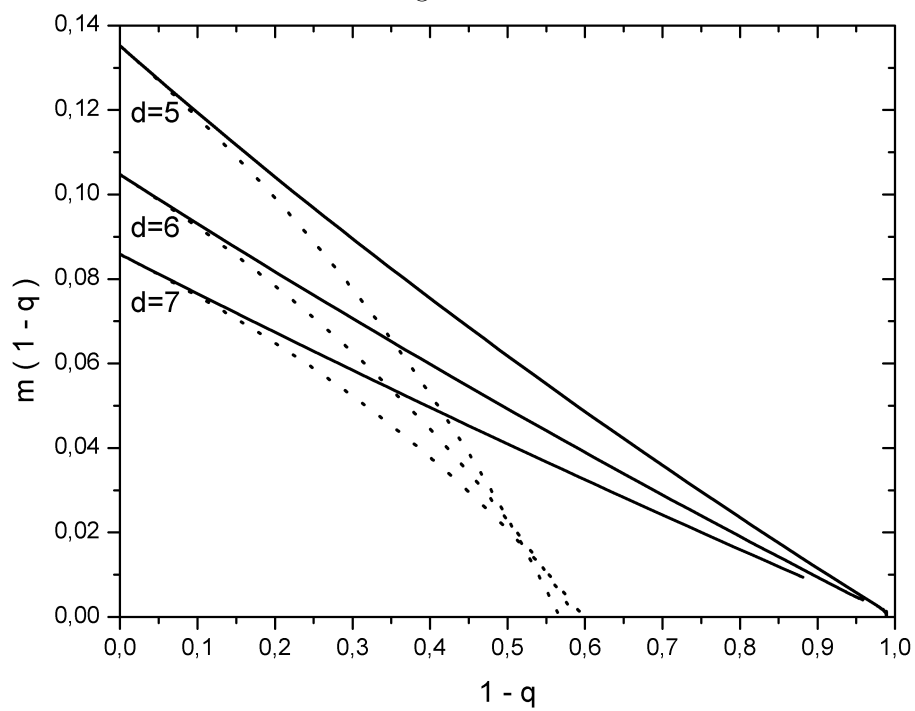
$$u(\vartheta) = -\log(z(\vartheta)), \quad (5.49)$$

$$m(\vartheta) = -(1 + \vartheta) \partial_{\vartheta} u(\vartheta), \quad (5.50)$$

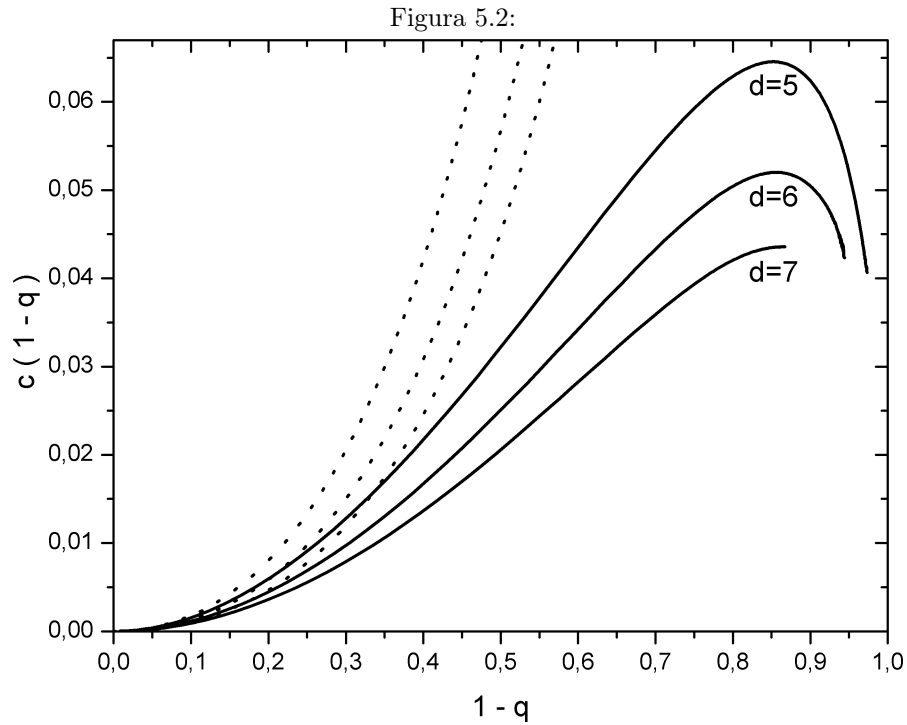
dove il range di $m(\vartheta)$ al variare di ϑ è $[m_0, 1]$: abbiamo dunque ottenuto anche il secondo ramo di $\varphi(m)$.

Si noti che questa seconda funzione $z(\vartheta)$ non rappresenta il modello di Stanley per $q > 1$, in quanto oltre il punto $m = C_d$ la $\varphi(m)$ reale si annulla, dando origine a comportamenti completamente differenti.

Figura 5.1:



La figura mostra il numero medio di intersezioni per monomero $m(1-q)$ per $d = 5, 6, 7$, calcolato con l'approssimazione (5.38). Le linee di punti indicano l'espansione al primo ordine in $\beta = -\log(q)$: $m(1-q) \sim C_d + \sigma_d \log(q)$, con $\sigma_d = C_d \bar{C}_d / (1 - 2B_d)$.



La figura mostra il calore specifico per monomero $c(1-q)$ per $d = 5, 6, 7$, calcolato con l'approssimazione (5.38). Le linee di punti indicano l'espansione al primo ordine in $\beta = -\log(q)$: $c(1-q) \sim \sigma_d \log(q)^2$, con $\sigma_d = C_d \bar{C}_d / (1 - 2B_d)$. I massimi per $d = 4, 5, 6$ sono rispettivamente in $q_5 = 0.1478$, $q_6 = 0.1440$, $q_7 = 0.1437$.

Capitolo 6

Conclusioni

Prima di discutere le conclusioni, presentiamo un breve riassunto dei principali risultati (originali) ottenuti nei vari capitoli.

Il primo capitolo è introduttivo al problema delle intersezioni, e riassume essenzialmente alcuni aspetti noti della teoria dei Random Walks. Sono tuttavia presenti due risultati minori, come il calcolo dei valori numerici di σ_d per $d \in [4, 8]$, e la descrizione della distribuzione $P_n(M)$ in termini della funzione ambiente $\pi_n(M)$.

Il secondo introduce invece l'ensemble Ω_m , ed è dedicato allo studio numerico delle sue proprietà al variare di m : in particolare, vengono osservati gli andamenti della distanza media end-to-end $\mathfrak{R}_n^2(m)$, e della funzione $\pi(m)$.

Per quanto riguarda $\mathfrak{R}_n^2(m)$, le simulazioni indicano la sussistenza della relazione $\mathfrak{R}_n^2(m) \propto n^{2\nu(m)}$, con $\nu(m)$ esponente critico dipendente da m e d . Per $d \geq 3$ si è rilevata l'esistenza di una transizione di fase per un valore critico $0 < m_c < 1$ del parametro m : prima di questo valore, le catene si comportano come dei Self-Avoiding Walks, con $\nu(m < m_c) = \nu_d$, mentre per $m > m_c$ collassano in una configurazione semi-compatta con $\nu(m > m_c) = 1/d$ (range proporzionale al volume). Da argomentazioni euristiche, e per analogia con i comportamenti della Wiener Sausage, si predice che $m_c = C_d$ per $d = 3, 4$, $m_c > C_d$ per $d \geq 5$. Dai risultati delle simulazioni si predice inoltre che, al punto critico per $d = 3, 4$, l'esponente assuma un valore $\nu(m_c) = 1/2$.

I dati confermano l'esistenza della funzione $\pi(m) \in (0, 1)$, definita come limite di $\pi_n(M/n)$ per $n, M \rightarrow \infty$, $M/n \rightarrow m$. Anche in $\pi(m)$ si osserva un punto di non analiticità in m_c : a causa di limitazioni tecniche sul metodo di simulazione, non è stato possibile indagare in maniera conclusiva l'andamento asintotico nella zona clusterizzata $m > m_c$.

Il terzo capitolo introduce un nuovo processo stocastico, esplicitamente dipendente dal tempo, individuato dalla funzione $\pi(m) \in (0, 1)$. Viene introdotto un metodo per calcolare i momenti, e una equazione differenziale implicita per la distribuzione stazionaria. I risultati vengono successivamente applicati al calcolo della $P_n(m)$ del SRW.

In fine, il quarto capitolo è principalmente dedicato alla derivazione microscopica di una approssimazione lineare per $\pi(m)$, mentre il quinto utilizza l'analogia con il modello di Stanley per estrarre ulteriori informazioni circa l'ensemble $P_n(m)$. Sempre nel capitolo quinto vi è una riformulazione del processo stocastico (definito nel capitolo terzo) in termini di funzioni generatrici, che ha consentito di risolvere esattamente il caso lineare con $\pi(m) = a + bm$.

6.1 Grandi deviazioni di $P_n(M)$ nella direzione negativa

I risultati ottenuti sul processo stocastico (3.1), (3.2) permettono di dimostrare alcune proprietà della funzione $P_n(M)$ per deviazioni moderate $M = \mathcal{O}(\langle M_n \rangle)$ nella direzione $M < \langle M_n \rangle$ (direzione negativa).

Benché il problema delle grandi deviazioni nella direzione $M > \langle M_n \rangle$ sia stato affrontato da molti autori (soprattutto nel caso della Wiener Sausage, si veda [13]), quello di deviazioni di $P_n(M)$ nella direzione negativa è stato preso in considerazione in soli due lavori: il [22] riguarda la Wiener Sausage, mentre il [26] tratta del modello discreto (SRW). In particolare, il lavoro [26], in cui vengono implicitamente provate esistenza e convessità della funzione $\varphi(m)$ (definita in (3.32)), sembra rappresentare l'attuale stato dell'arte.

Il lavoro svolto ci permette di dedurre direttamente alcune proprietà del limite

$$\psi(\beta) = \lim_{n \rightarrow \infty} n^{-1} \log \langle e^{-\beta M} \rangle, \quad (6.1)$$

per SRW su reticolo \mathbb{Z}^d . In particolare, se $\pi(m) \in (\eta_d, C_d)$ per $m \in (0, C_d)$, dalla (5.31) segue immediatamente che

$$\log(1 + \eta_d(1 - e^{-\beta})) \leq \psi(\beta) \leq \log(1 + C_d(1 - e^{-\beta})) \quad (6.2)$$

per qualunque $\beta > 0$. Inoltre, dai risultati del capitolo quinto si ricava che, per $d \geq 3$, sussiste il limite

$$\lim_{\beta \rightarrow 0} z(1 - e^{-\beta}) e^{-\psi(\beta)} = 1, \quad (6.3)$$

con $z(\cdot)$ definita dalle equazioni (5.38), (5.39) (e $a = C_d(1 - B_d)$, $b = B_d$). Sempre dall'equazione (5.31) è possibile dimostrare che, per $d = 3$ ($B_d \rightarrow 1/2$),

$$\lim_{\delta m \rightarrow 0^-} \frac{\varphi(\delta m + C_3)^{-1} \delta m^2}{W_{-1}(2\delta m)^2} \log \left(\frac{2\delta m}{W_{-1}(2\delta m)} \right) = 1, \quad (6.4)$$

dove $W_{-1}(\cdot)$ è il ramo inferiore della funzione di Lambert, e $\delta m = m - C_3$.

Questi risultati costituiscono un significativo complemento ai lavori [22] e [26]. In ultimo, dalle considerazioni espresse nel capitolo quarto segue che l'equazione (5.38) costituisce un'ottima approssimazione non perturbativa di $\exp(-\psi(\beta))$ per $d \geq 4$.

6.2 Transizione Coil-Globule

La transizione Coil-Globule (CG, [4, 5]), in cui una catena flessibile collassa da una configurazione estesa (*random-coil*) a quella di un cluster semi-compatto, è un fenomeno di grande interesse per la fisica dei polimeri, essenzialmente per la somiglianza qualitativa con il *protein folding* nelle macromolecole biologiche.

La maggior parte dei modelli termodinamici, che mostrano una transizione CG, considerano in genere una competizione tra interazioni di natura geometrica differente: ad esempio, si può considerare il caso di una catena ideale su reticolo, con interazioni on-site repulsive e link attrattivi fra primi vicini. La transizione nasce dalla compensazione di queste interazioni. Vale la pena di riportare che la transizione CG non possiede ancora una teoria quantitativa affidabile: benché siano stati ottenuti alcuni notevoli risultati attraverso la teoria tricritica di ferromagneti con spin zero-dimensionali ([27, 28, 30]), le teorie RG perturbative sono probabilmente inadeguate per calcolare le quantità di interesse nel di caso catene finite (si veda [29] e referenze).

Si consideri il random walk di n passi $\omega = \{S_0, S_1, \dots, S_n\}$: definiamo il numero di visite per ogni sito come $\psi_x = \sum_i \delta(x - S_i)$. Un modello tipico che incorpora sia il volume escluso che la transizione CG è definito dall'hamiltoniana

$$E[\psi] = a(n) + \epsilon_0 \sum_x \psi_x^2 - \epsilon_1 \sum_{\langle x, y \rangle} \psi_x \psi_y, \quad (6.5)$$

dove con $\langle x, y \rangle$ si sono indicate le coppie di siti primi vicini.

Prendendo $\epsilon_1 = 0$ nella (6.5), si avrà il modello di Domb-Joyce ([17]), che permette di modellizzare correttamente l'effetto di volume escluso, ma non mostra alcuna transizione CG nel parametro di Boltzmann: in generale, tutti i modelli termodinamici con un solo tipo (geometrico) di interazione non permettono di ottenere una transizione CG in temperatura.

Benché sia possibile indurre una transizione CG nei modelli di tipo Domb-Joyce cambiando il segno dell'accoppiamento ϵ_0 , questo porterà a configurazioni estremamente collassate, e decisamente poco realistiche (analogamente al caso del modello di Stanley attrattivo).

Nel caso $d = 3$ il modello proposto realizza volume escluso, transizione CG e cluster quasi-compatti con un singolo vincolo geometrico, mostrando le stesse caratteristiche della transizione descritta dall'hamiltoniana (6.5).

Se i due modelli dovessero trovarsi nella stessa classe di universalità, questo sarebbe un risultato interessante, in quanto nel modello esaminato la transizione nasce da un cambio radicale nella strategia ottima per ottenere uno specifico rapporto di intersezione: la transizione è quindi guidata dalla richiesta di massimizzare l'entropia configurazionale dato il vincolo m (ovvero, una correlazione a lungo raggio), senza l'aggiunta esplicita di alcuna competizione tra interazioni.

Appendice

Teorema di Jain-Pruitt per $d \geq 4$

Presentiamo ora alcune parti rilevanti della dimostrazione per la varianza ([9]) in $d \geq 4$. A questo scopo sarà necessario introdurre le seguenti variabili (omettiamo per chiarezza le dipendenza funzionale dalla realizzazione ω):

$$Z_i^n = \mathbb{I}_\omega [S_i \neq S_{i+1} S_{i+2}, \dots, S_i \neq S_n] \quad (6.6)$$

$$Z_i = \mathbb{I}_\omega [S_i \neq S_{i+1}, S_i \neq S_{i+2}, \dots] \quad (6.7)$$

$$W_i^n = Z_i^n - Z_i = \mathbb{I}_\omega [S_i \neq S_{i+1}, \dots, S_i \neq S_n; \exists S_k = S_i, k > n] \quad (6.8)$$

dove $\mathbb{I}_\omega [\Phi]$, definita su Ω , rappresenta la funzione caratteristica (*indicatore*) del set $\Phi \in \Omega$ nella variabile funzionale $\omega \in \Omega$:

$$\mathbb{I}_\omega [\Phi] = \begin{cases} 1 & \omega \in \Phi \\ 0 & \omega \notin \Phi \end{cases} . \quad (6.9)$$

In termini pratici, Z_i^n vale 1 se nel cammino ω il sito i -esimo non viene rivisitato nei passi $i + 1, i + 2, \dots, n$ (ma può esserlo nei successivi passi) ed è nulla altrimenti. Z_i è il limite Z_i^n per $n \rightarrow \infty$, in cui il sito i -esimo non viene più visitato. In fine, W_i^n vale 1 per quelle configurazioni in cui il sito i non viene visitato nei passi $i + 1, i + 2, \dots, n$, ed in cui $\exists k > n$ in cui il cammino è tornato sul sito i -esimo. La variabile R_n può essere espressa in termini di queste variabili, secondo la relazione

$$R_n = \sum_{i=0}^n Z_i^n = \sum_{i=0}^{n-1} Z_i + \sum_{i=0}^{n-1} W_i^n + 1. \quad (6.10)$$

Definendo ancora due variabili $Y_n = \sum_{i=0}^{n-1} Z_i$, $W_n = \sum_{i=0}^{n-1} W_i^n$, in modo da avere $R_n = Y_n + W_n + 1$, con un po' di algebra possiamo convenire che

$$\langle \Delta R_n^2 \rangle = \langle \Delta Y_n^2 \rangle + \langle \Delta W_n^2 \rangle + 2 \langle \Delta Y_n \Delta W_n \rangle. \quad (6.11)$$

Dalla diseuguaglianza di Schwartz sull'ultimo termine segue immediatamente che

$$\langle \Delta Y_n \Delta W_n \rangle^2 \leq \langle \Delta Y_n^2 \rangle \langle \Delta W_n^2 \rangle; \quad (6.12)$$

è chiaro a questo punto che se $\langle \Delta W_n^2 \rangle = o(\langle \Delta Y_n^2 \rangle)$, questo porta all'andamento $\langle \Delta R_n^2 \rangle \sim \langle \Delta Y_n^2 \rangle$ nel limite. La dimostrazione si riduce dunque a provare che $\langle \Delta W_n^2 \rangle = o(\langle \Delta Y_n^2 \rangle)$, e a stimare l'andamento asintotico della $\langle \Delta Y_n^2 \rangle$. Omettiamo la dimostrazione della prima affermazione e vediamo come ricavare l'andamento asintotico: dalla definizione di Y_n troviamo

$$\langle \Delta Y_n^2 \rangle = \sum_{j=1}^{n-1} \langle \Delta Z_j^2 \rangle + 2 \sum_{j=1}^{n-1} \sum_{i=0}^{j-1} \langle \Delta Z_i Z_j \rangle, \quad (6.13)$$

dove $Z_i = 1$ se il sito è occupato, e 0 altrimenti. Dal fatto che $\langle Z_i^2 \rangle = \langle Z_i \rangle = 1 - F_i$ segue che $\langle \Delta Z_n^2 \rangle \sim F(1 - F)n$. Avremo dunque che

$$\langle \Delta Y_n^2 \rangle \sim F(1 - F)n + 2 \sum_{j=1}^{n-1} a_j \quad (6.14)$$

dove a_j è la somma dalla matrice di covarianza $a_j = \sum_{i=0}^{j-1} \langle \Delta Z_i \Delta Z_j \rangle$ nella variabile Z_i .

Dobbiamo ora stimare la a_j , e consideriamo a tal scopo il prodotto $Z_i Z_j$: perché sia non-nullo è necessario che nel cammino avvengano in sequenza i seguenti eventi: il cammino muove dall'origine al punto x in $j - i$ passi, senza essere tornato nell'origine, questo corrisponde ad una probabilità $F_{j-1}(0, x)$ (si veda la sezione precedente per le definizioni). Successivamente il camminatore non rivisita più né l'origine, né il sito x . Questo comporta:

$$\langle Z_i Z_j \rangle = \sum_{x \neq 0} F_{j-i}(x) \text{P}[\#k > (i - j) \mid S_k = \{0, x\}] \quad (6.15)$$

$$\langle Z_i \rangle = \sum_{x \neq 0} F_{j-i}(x) \text{P}[\#k > (i - j) \mid S_k = 0] \quad (6.16)$$

$$\langle Z_j \rangle = \text{P}[\#k > (i - j) \mid S_k = x]. \quad (6.17)$$

Introduciamo la funzione di supporto

$$\begin{aligned} b(x) &= \text{P}[\#k > (i - j) \mid S_k = \{0, x\}] - \\ &+ \text{P}[\#k > (i - j) \mid S_k = 0] \text{P}[\#k > (i - j) \mid S_k = x]. \end{aligned} \quad (6.18)$$

La funzione $b(0, x)$ può essere riscritta per cammini transienti (e dopo alcune manipolazioni algebriche) come

$$b(x) = (1 - G) G(x)^2 [1 - G(x)^2]^{-1}. \quad (6.19)$$

A questo punto possiamo scrivere a_j come

$$a_j = \sum_{x \neq 0} \sum_{i=0}^{j-1} F_{j-i}(x) b(x) = (1 - G) \sum_{x \neq 0} \sum_{l=1}^j \frac{F_l(x) G(x)^2}{1 - G(x)^2}. \quad (6.20)$$

Consideriamo in fine la quantità a , limite $j \rightarrow \infty$ della precedente espressione:

$$a = (1 - G) \sum_{x \neq 0} \frac{F(x) G(x)^2}{1 - G(x)^2} < \infty. \quad (6.21)$$

E' facile notare come per $\sum_x F(x) G(x)^2 < \infty$ si abbia $a = \mathcal{O}(1)$, e dunque $\langle \Delta R_n^2 \rangle = \mathcal{O}(n)$. Quest'ultima condizione è valida solo per $d \geq 4$: se $d = 3$ la quantità $\sum_x F(x) G(x)^2$ è divergente, e l'andamento $\langle \Delta R_n^2 \rangle = \mathcal{O}(n \log(n))$ necessita di lavoro supplementare per essere esplicitato (si veda [9]).

Self-Avoiding Walk

Definiamo ω , Self-Avoiding Walk (SAW) di n passi su \mathbb{Z}^d con estremi x e y , come una sequenza di siti $\omega \equiv \{S_0, S_1, \dots, S_n\}$ con $S_0 = x$, $S_n = y$. La sequenza rappresenta un SAW se valgono le relazioni $|S_{j+1} - S_j| = 1$, $S_i \neq S_j$ per $\forall i \neq j$. Da qui in poi indicheremo come $|\omega| = n$ la lunghezza del cammino e come $(S_j)_i$ la componente i -esima del vettore S_j (con $i = 1, \dots, d$).

La nostra prima quantità di interesse sarà il numero c_n di SAW che hanno un estremo nell'origine e la cui lunghezza è $|\omega| = n$. Benché sia facile calcolare esattamente c_n per i primi valori di n (ad esempio $c_1 = 2d$, $c_2 = 2d(d-1)$, etc ...), l'approccio combinatorio esatto diventa presto impossibile all'aumentare di n . I risultati di maggiore interesse circa c_n riguardano infatti l'andamento asintotico per $n \rightarrow \infty$.

Prima di introdurre altre quantità è opportuno fare alcune semplici considerazioni su c_n . In primo, luogo è facile notare come il numero c_n dei SAW sia maggiorato dal numero di Random Walks Semplici (SRW) di n passi (che vale $w_n = (2d)^n$); questo limite superiore può essere immediatamente migliorato considerando il numero di Non-Reversal Walks (NRW: random walk semplice in cui ad ogni passo è vietata l'inversione immediata del cammino) che è $2d(2d-1)^{n-1}$. Per quanto riguarda il limite inferiore, possiamo contare il numero di cammini in cui ogni passo è in direzione di una delle coordinate positive (ad ogni passo una coordinata viene aumentata e le altre rimangono invariate), che vale d^n . Otteniamo dunque che

$$d^n \leq c_n \leq 2d(2d-1)^{n-1}. \quad (6.22)$$

Per continuare dobbiamo definire una misura di probabilità per il set di SAW di n passi ($|\omega| = n$). La misura che utilizzeremo è la misura uniforme, dove per ogni cammino viene assegnato lo stesso peso c_n^{-1} (in quest'ottica il problema del SAW è quello della Self-Repelling Chain, in quanto la misura uniforme è una misura su cammini completi di lunghezza n , e non definisce alcun processo stocastico).

Indicando il valore di aspettazione rispetto alla misura uniforme con $\langle \cdot \rangle$, il valore quadratico atteso della distanza end-to-end ($|S_0 - S_n| = |S_n|$) sarà

$$\mathfrak{R}_n^2 = \langle S_n^2 \rangle = \frac{1}{c_n} \sum_{\omega} S_n^2, \quad (6.23)$$

dove la somma sui SAW ω è intesa su tutti i cammini con $|\omega| = n$. Come per c_n , anche per \mathfrak{R}_n^2 l'approccio combinatorio diventa troppo complicato all'aumentare di n .

Per il SAW si suppone che c_n presenti, per $d \leq 3$, un andamento esponenziale con correzioni a potenza, invece dell'andamento puramente esponenziale del SRW. Si ritiene anche che la distanza quadratica end-to-end non sia lineare in N , come invece avviene per SRW. Queste proposte, consistenti con le proprietà di altri modelli di meccanica statistica, sono supportate da simulazioni numeriche e alcuni calcoli non rigorosi di teoria dei campi.

Gli andamenti congetturati per c_n e \mathfrak{R}_n^2 sono ([7])

$$c_n \sim A_d \mu_d^n n^{\gamma_d - 1}, \quad (6.24)$$

$$\mathfrak{R}_n^2 \sim D_d n^{2\nu_d}, \quad (6.25)$$

dove $A_d, D_d, \mu_d, \gamma_d$ e ν_d sono costanti positive dipendenti dalla dimensionalità d del reticolo. I coefficienti γ_d e ν_d sono esempi di esponenti critici, mentre μ_d è detta *costante connettiva*. Come vedremo si ritiene anche che, in $d = 4$, per (6.24), (6.25) siano necessarie delle correzioni logaritmiche, mentre per $d \geq 5$ si ha $\gamma_d = 1$. Notiamo come nel SRW le quantità analoghe abbiano $\gamma_d = 1$, $\nu_d = 1/2$, così come per i NRW e altri cammini generalizzati il cui processo di generazione è ancora markoviano.

La costante connettiva μ_d della formula (6.24) viene definita attraverso il limite

$$\mu_d = \lim_{n \rightarrow \infty} c_n^{1/n} \quad (6.26)$$

la cui esistenza può essere facilmente provata in maniera rigorosa. E' dimostrato anche che $c_n \geq \mu_d^n$. Le semplici restrizioni dell'equazione (6.22) implicano immediatamente che

$$d \leq \mu_d \leq 2d - 1. \quad (6.27)$$

Benché esistano buone stime del valore di μ_d , per reticoli ipercubici \mathbb{Z}^d il valore esatto è tuttora ignoto in $d > 1$ (uno dei pochi risultati riguarda il reticolo esagonale in $d = 2$, per cui si congettura un valore $\mu_2 = \sqrt{2 + \sqrt{2}}$) ([31]). E' nota una espansione asintotica di μ_d per alti valori della dimensionalità ([32]): per $d \rightarrow \infty$ si ha

$$\begin{aligned} \mu_d = 2d - 1 - \frac{1}{2d} - \frac{3}{(2d)^2} - \frac{16}{(2d)^3} - \frac{102}{(2d)^4} - \frac{729}{(2d)^5} - \frac{5533}{(2d)^6} - \frac{42229}{(2d)^7} + \\ - \frac{288761}{(2d)^8} - \frac{288761}{(2d)^8} - \frac{1026328}{(2d)^9} + \frac{21070667}{(2d)^{10}} + \frac{780280468}{(2d)^{11}} + \mathcal{O}\left(\frac{1}{(2d)^{12}}\right). \end{aligned} \quad (6.28)$$

Intuitivamente si nota dalla (6.28) che, per d grandi, l'effetto principale della self-avoidance è di eliminare le inversioni immediate (come nel NRW).

Vediamo ora alcune proprietà dell'esponente γ_d . Dato che $c_n \geq \mu_d^n$, allora si ha che $\gamma_d \geq 1$ per qualunque dimensione d . Tuttavia non esiste ancora alcuna prova rigorosa del fatto che γ_d sia finito per $d = 2, 3, 4$ dove le migliori restrizioni superiori note sono ([7])

$$c_n \leq \begin{cases} \mu_d^n \exp(a_d n^{1/2}) & d = 2 \\ \mu_d^n \exp\left(a_d n^{\frac{d}{d+2}} \log n\right) & d = 3, 4 \end{cases}, \quad (6.29)$$

con $a > 0$. Per $d \geq 5$ si può invece dimostrare che $\gamma_d = 1$.

L'esponente γ_d , oltre a caratterizzare le correzioni a potenza dell'andamento di c_n , dà la misura di probabilità che due SAW, $\omega^{(1)}$ e $\omega^{(2)}$, di n passi e con un estremo in comune, non siano intersecati. Infatti questa probabilità vale (considerando la (6.24))

$$\Pi_n = \mathbb{P} \left[\omega^{(1)} \cap \omega^{(2)} = S_0 \right] = \frac{c_{2n}}{c_n^2} \sim \left(\frac{2^{\gamma_d-1}}{A} \right) n^{1-\gamma_d}. \quad (6.30)$$

Si nota immediatamente che per $\gamma_d > 1$ la probabilità di intersezione si annulla per $n \rightarrow \infty$, mentre per $\gamma_d = 1$ rimane costante e positiva. Per i SRW la stessa quantità è sempre positiva per $d > 4$, per $d = 4$ decresce come $(\log n)^{-1/2}$ mentre in $d = 2, 3$ decresce come $n^{-\kappa}$.

La regola con cui abbiamo definito il SAW può essere interpretata intuitivamente come una sorta di interazione repulsiva. In quest'ottica la distanza end-to-end quadratica dovrebbe crescere più velocemente nel SAW rispetto al SRW, ovvero l'esponente critico ν_d dovrebbe essere maggiore o al più uguale a quello del SRW ($\nu_d \geq 1/2$). Ad ogni modo, una prova rigorosa della disuguaglianza $\mathfrak{R}_n^2 \geq Cn$ per $\forall d$ è ancora un problema aperto.

Anche per quel che riguarda il limite superiore, non ci sono risultati rigorosi migliori di quello immediatamente ricavabile dalla definizione (6.22): $\mathfrak{R}_n^2 \leq n^2$, $\nu_d \leq 1$. Tuttavia in $d \geq 5$ è stato provato che $\nu_d = 1/2$, da cui si osserva che gli effetti self-avoiding in reticoli ad alta dimensionalità non cambiano la legge di scala del SRW ([33]).

Sempre per alte dimensioni, è dimostrato anche che il coefficiente di diffusione D_d della (6.26) è sempre $D_d > 1$ (quindi strettamente maggiore di quello del SRW); ne deriva che il SAW in alte dimensioni continua ad essere più esteso del SRW, ma solo per quanto riguarda il coefficiente diffusivo. La tendenza a essere più esteso diventa inoltre meno pronunciata all'aumentare della dimensione, dunque si suppone che ν_d sia una funzione non crescente in d .

Si ritiene ([33]) che gli esponenti critici ν_d e γ_d siano dipendenti dalla dimensionalità del reticolo d , ma non dal tipo di passo compiuto (finché i passi ammessi sono simmetrici e finiti) o dal tipo di reticolo su cui ci troviamo (iper-cubico, triangolare, esagonale, etc ...). Questa indipendenza dai dettagli del sistema è chiamata *universalità*: diremo dunque che i modelli che hanno gli stessi esponenti critici appartengono alla stessa *classe di universalità*. Ad esempio la costante connettiva μ_d , che rappresenta il numero di coordinazione effettivo del reticolo, non è universale, in quanto dipende dal tipo di reticolo, oltre che dalla dimensione d .

E' chiaro che il SAW dovrebbe essere (in senso di classe di universalità) più vicino al SRW in alte dimensioni, dato che il SRW tende ad auto-intersecarsi sempre meno all'aumentare della d . Il caso $d = 4$ è un caso speciale, dato che il tempo τ_d di primo ritorno all'origine, condizionato dal fatto che ciò accada, è una quantità finita per $d > 4$; questo suggerisce che, per alte dimensioni, l'effetto di self-avoidance sia un effetto *a corto raggio*, e dunque non abbia effetti sugli esponenti critici.

Tabella 6.1:

d	μ_d	D_d	γ_d	ν_d
2	2.63815 (8)	–	43/32	3/4
3	4.683 (9)	–	1.16 (2)	0.587597(7)
4	6.774043(5)	–	1 <i>l.c.</i>	1/2 <i>l.c.</i>
5	8.838544 (3)	1.4767 (1)	1	1/2
6	10.878094 (4)	1.2940 (6)	1	1/2
7	12.902817 (3)	1.2187 (3)	1	1/2
8	14.919257 (2)	1.1760 (2)	1	1/2

l.c. indica la correzione logaritmica (6.31)

Per ora gli unici risultati rigorosi, che confermano gli andamenti a potenza e i valori congetturati per ν_d e γ_d , sono per $d \geq 5$. Le correzioni logaritmiche in $d = 4$ sono state calcolate con il gruppo di rinormalizzazione e valgono ([37])

$$\begin{aligned} c_n &\sim A_4 \mu_4^n \log(n)^{\frac{1}{4}}, \\ \mathfrak{R}_n^2 &\sim D_4 n \log(n)^{\frac{1}{4}}. \end{aligned} \quad (6.31)$$

E' comune, in meccanica statistica, considerare l'esistenza di una *dimensione critica* d_c oltre la quale gli esponenti critici non dipendono più dalla dimensione, e sono gli stessi della versione in campo medio ($d \rightarrow \infty$) del modello in esame. Dati i risultati fin qui esposti, la dimensione critica per il SAW sembrerebbe $d_c = 4$. Per $d > 4$ gli esponenti critici del SAW sono gli stessi del SRW, possiamo quindi considerare il SRW come il modello in campo medio del SAW, e ci riferiremo agli esponenti critici del SRW come esponenti di campo medio.

Per quanto riguarda i valori numerici delle costanti citate in questa sezione, lo stato dell'arte è riportato in tabella 6.1: i valori riportati sono estrapolati dai lavori [31, 33, 34, 35, 36, 37].

Abbiamo già sottolineato la carenza di risultati esatti sugli esponenti per $d = 2, 3, 4$. I valori riportati per $d = 2$ derivano dalla soluzione esatta, non rigorosa, del modello di Ising con spin N -dimensionali (il cosiddetto modello $O(N)$) che contiene il SAW come caso particolare $N \rightarrow 0$ ([4]). Questa straordinaria connessione tra sistemi di spin e SAW si basa sul noto teorema $N \rightarrow 0$ di De Gennes. Per quanto riguarda $d = 3$, non esistono risultati analoghi e i valori presentati degli esponenti vengono da simulazioni numeriche ad altissima precisione ([35]).

Una semplice ma sorprendentemente accurata analisi (di tipo mean-field) sul valore di ν è stata proposta da Flory ([6]). Gli esponenti di Flory valgono $\nu_F = 3/(2+d)$ per $d \leq 4$ e $\nu_F = 1/2$ per $d > 4$; questi esponenti sono in accordo con quelli attualmente accettati per $d = 2$, $d > 4$, $d = 4$ (a parte la correzione logaritmica) e si avvicinano notevolmente al valore di 0.587597(7) per $d = 3$.

Volume della Wiener Sausage

Prima di discutere l'oggetto principale di questa appendice, introduciamo brevemente la Wiener Sausage. Detto $\beta(t)$, $t \in \mathbb{R}^+$ il moto Browniano standard in \mathbb{R}^d , definiamo la Wiener Sausage (WS) $W^a(t)$ di raggio a come

$$W^a(t) = \bigcup_{0 \leq s \leq t} B_a[\beta(s)], \quad t \geq 0, \quad (6.32)$$

dove $B_a[x]$ è una ipersfera d -dimensionale di raggio a , centrata in $x \in \mathbb{R}^d$. Consideriamo il volume $|W^a(t)|$ dell'insieme, equivalente del Range nei SRW: come per il SRW gli andamenti asintotici dei primi due momenti del volume sono noti: per $d \geq 3$ si ha che ([13]):

$$\langle |W^a(t)| \rangle \sim \kappa_a t, \quad (6.33)$$

mentre per la varianza $\langle \Delta |W^a(t)|^2 \rangle$ valgono le relazioni ([13])

$$\langle \Delta |W^a(t)|^2 \rangle \asymp \begin{cases} t \ln(t) + \mathcal{O}(t) & d = 3 \\ t + o(t) & d \geq 4 \end{cases}. \quad (6.34)$$

Si noti che sono gli stessi andamenti che si trovano per il range del SRW. Inoltre, anche il volume della WS ha distribuzione gaussiana attorno al valor medio per $d \geq 3$.

In questa appendice vengono riportati alcuni risultati noti riguardo alle deviazioni di $|W^a(t)|$ nella direzione negativa (valori più piccoli di $\langle |W^a(t)| \rangle$), in cui $|W^a(t)| = \mathcal{O}(t)$: questo caso, dove le deviazioni sono dell'ordine di $\langle |W^a(t)| \rangle$ è detto anche di *deviazione moderata*.

Consideriamo brevemente il caso delle *grandi deviazioni*, definite dal vincolo $|W^a(t)| \leq f(t)$, con $f(t) = o(t)$, $\lim_{t \rightarrow \infty} f(t) = \infty$. In una serie di studi condotti da Donsker e Varadhan ([21]), Bolthausen ([38]) e Sznitman ([39]) si è arrivati a definire la seguente proprietà asintotica:

$$\lim_{t \rightarrow \infty} t^{-1} f(t)^{\frac{2}{d}} \ln(\mathbb{P}[|W^a(t)| \leq f(t)]) = -\frac{1}{2} \lambda_d, \quad (6.35)$$

con λ_d minimo autovalore per l'operatore laplaciano $-\nabla^2$ sulla sfera di volume unitario.

Da questa relazione, segue che la strategia ottimale per realizzare situazioni del tipo $|W^a(t)| \leq f(t)$ è quella di confinare la WS in una ipersfera di volume $f(t)$: la WS copre per intero l'interno della ipersfera (il range non ha buchi).

In un notevole lavoro esatto di Van den Berg, Bolthausen, den Hollander ([13]), la relazione (6.35) è stata estesa al caso delle deviazioni moderate: in particolare, per $d \geq 3$ viene dimostrata la relazione

$$\lim_{t \rightarrow \infty} t^{1-\frac{2}{d}} \ln(\mathbb{P}[|W^a(t)| \leq \bar{m}t]) = I^{\kappa_a}(\bar{m}) \in (0, \infty). \quad (6.36)$$

Questa relazione suggerisce che la strategia ottimale per ottenere delle WS con $|W^a(t)| \leq \bar{m}t$ sia quella di arrangerle in cluster semi-compatti, ovvero

cluster connessi di taglia $\mathcal{O}(t)$, contenenti buchi di dimensione $\mathcal{O}(1)$ distribuiti casualmente all'interno (configurazione *a gruviera*).

Definiamo ora la variabile $u = \bar{m}/\kappa_a$, e la funzione $\chi(\bar{m}/\kappa_a) = 2\kappa_a^{2/d} I^{\kappa_a}(\bar{m})$: nel lavoro [13] viene dimostrato che la funzione $\chi(u)$ è strettamente decrescente in u , e gode delle proprietà

$$\lim_{u \rightarrow 1^-} (1-u)^{-\frac{2}{d}} \chi(u) = 2^{\frac{2}{d}} \omega_d, \quad (6.37)$$

$$\lim_{u \rightarrow 0^+} u^{-\frac{2}{d}} \chi(u) = \lambda_d, \quad (6.38)$$

dove $\omega_d \in (0, \infty)$, e λ_d è lo stesso valore definito nel caso di grandi deviazioni. Un ulteriore risultato di notevole interesse è che, per $d \geq 5$, la funzione $\chi(u)$ presenta un punto di non analiticità per un particolare valore $u_c \in (0, 1)$: in questo punto si ha una discontinuità finita nella funzione $\partial_u \chi(u)$.

L'esistenza di u_c trova la sua interpretazione nelle configurazioni ottimali per ottenere una WS con deviazioni moderate ([13]). Se per $u \in (0, u_c)$ la configurazione ottimale è quella compatta durante tutta la generazione della WS, per $u \in (u_c, 1)$ la strategia migliore potrebbe essere temporalmente inomogenea: in particolare, una strategia in cui la WS cresce come cluster semi-compatto fino al tempo $\alpha(\bar{m})t$ (coprendo un volume $\bar{m}t - v(\bar{m})t$), e poi continua fino a t come un moto browniano libero (su scala \sqrt{t}), coprendo un ulteriore volume $v(\bar{m})t$.

Per $d = 3, 4$, la funzione $\chi(u)$ risulta analitica in tutto l'intervallo chiuso $u \in (0, 1)$, suggerendo che in questi due casi la strategia sia temporalmente omogenea ([13]).

Pruned-Enriched Rosenbluth Method e simulazione dell'ensemble $\Omega_n(M)$

Di seguito verrà esposto il metodo computazionale utilizzato per studiare l'ensemble $\Omega_n(M)$. Si tratta del Pruned-Enriched Rosenbluth Method ([30, 40]), una evoluzione sostanziale del metodo di Rosenbluth ([41]) che si è rivelata estremamente efficiente per simulare catene interagenti e altri ensemble di interesse nella fisica dei polimeri. Dato che, per definire il PERM, risulta essenziale introdurre il RM, andremo subito a riassumerne le caratteristiche fondamentali.

Il metodo di Rosenbluth (RM) è stato uno dei primi algoritmi cinetici: essenzialmente, un cammino è accresciuto con passi successivi, scelti volta per volta fra le evoluzioni permesse. Dunque, se ad un dato passo vi sono k possibili prosecuzioni del cammino (vincolate all'ottenimento delle proprietà richieste), ognuna di queste avrà una probabilità $p = 1/k$ di verificarsi. Dato che, in generale, p è soggetto a variazioni durante la crescita del cammino, per avere una distribuzione piatta è necessario ripesare ogni cammino ottenuto con la sua probabilità di generazione.

Si consideri la funzione *atmosfera* $a_n = a[\omega_n]$, indicante il numero di continuazioni possibili per il cammino ω_n (di n passi): il peso W associato a ω_n sarà

il prodotto delle atmosfere a_k , $k \in [0, n-1]$ incontrate lungo la crescita,

$$W_n = \prod_{k=0}^{n-1} a_k. \quad (6.39)$$

Dopo aver creato S cammini, possiamo definire uno stimatore C_n^* del numero totale di configurazioni possibili C_n , mediando tutti i cammini $\omega_n^{(i)}$ ($i \in [1, S]$) generati con i rispettivi pesi $W_n^{(i)}$:

$$C_n^* = \langle W_n \rangle = S^{-1} \sum_i W_n^{(i)}. \quad (6.40)$$

Si noti che la media è su tutti i cammini costruiti, anche quelli impossibili rispetto alla regola imposta dalla funzione atmosfera: in effetti, le configurazioni impossibili sono eliminate automaticamente, in quanto avranno peso $W_n^{(i)}$ nullo.

Quello che si assume è essenzialmente di voler misurare una variabile A , fluttuante ma scorrelata da W_n : definiamo dunque media e varianza delle A sui sample:

$$\bar{A}_n = S^{-1} \sum_i A_{\omega_n^{(i)}}, \quad (6.41)$$

$$\overline{\Delta A_n^2} = S^{-1} \sum_i \left(A_{\omega_n^{(i)}} - \bar{A}_n \right)^2. \quad (6.42)$$

Questa media è presa sulla misura non uniforme (definita da a_k); quella con sample di eguale peso statistico sarà invece:

$$\langle A_n \rangle = \langle W_n \rangle^{-1} \sum_i A_{\omega_n^{(i)}} W_n^{(i)}, \quad (6.43)$$

$$\langle \Delta A_n^2 \rangle = \langle W_n \rangle^{-1} \sum_i \left(A_{\omega_n^{(i)}} - \langle A_n \rangle \right)^2 W_n^{(i)}. \quad (6.44)$$

Risulta piuttosto semplice dimostrare che la varianza $\langle \Delta A_n^2 \rangle$ sulla misura uniforme è legata a quella sulla distribuzione correlata $\overline{\Delta A_n^2}$ attraverso la relazione

$$\langle \Delta A_n^2 \rangle = S^{-1} \left(1 + \frac{\langle \Delta W_n^2 \rangle}{\langle W_n \rangle^2} \right) \overline{\Delta A_n^2} : \quad (6.45)$$

si noti da quest'ultima espressione come l'efficienza del RM sia legata all'ordine della quantità $\langle \Delta W_n^2 \rangle / \langle W_n \rangle^2$, che, in generale, diverge molto velocemente all'aumentare di n .

In pratica, i problemi con il metodo RM sono essenzialmente due. In primo luogo, i pesi $W_n^{(i)}$ possono variare su molti ordini di grandezza, portando ad avere una media falsata dalla presenza di pochi cammini con pesi molto grandi ($\langle \Delta W_n^2 \rangle / \langle W_n \rangle^2$ molto grande). In secondo luogo, se la funzione ambiente esclude (probabilisticamente) una certa frazione di continuazioni ad ogni passo,

allora si avrà una soppressione dei cammini che aumenta esponenzialmente in funzione della loro lunghezza.

Il Pruned-Enriched Rosenbluth Method (PERM) permette di aggirare entrambe queste limitazioni, inserendo nell'RM una procedura che seleziona le configurazioni da continuare. L'idea di base è quella di sopprimere artificialmente le fluttuazioni di $W_n^{(i)}$: dunque, se il peso di una configurazione è troppo grande rispetto allo stimatore C_n^* , questa viene duplicata in varie copie, riducendo di conseguenza $W_n^{(i)}$. Se invece il peso è troppo basso, la configurazione viene eliminata con una certa probabilità: nel caso la configurazione non sia eliminata, questa viene continuata con un peso statistico aumentato. Si noti che entrambe le operazioni (che chiameremo rispettivamente di *arricchimento* e *potatura*), non cambiano l'espressione di C_n^* .

Chiaramente, la scelta dei criteri di arricchimento e potatura è arbitraria, ma solo una scelta accurata (basata sul tipo di modello) permetterà di avere un algoritmo efficiente: il criterio utilizzato in questo lavoro (che ha il pregio di essere *parameter-free*) è stato proposto alcuni anni fa in [40]. Il metodo propone di arricchire e potare ad ogni passo, in modo da esplorare porzioni più estese dello spazio delle configurazioni.

Sia $r = W_n^{(i)}/C_n^*$ il rapporto fra il peso del cammino i -esimo e lo stimatore: se $r > 1$ allora vengono costruite $c = \min([r], a_n)$ copie di $\omega_n^{(i)}$, ognuna con peso $W_n^{(i)}/r$. Se invece $r \leq 1$, il cammino viene continuato con probabilità r e peso C_n^* (ovvero eliminato con probabilità $1 - r$). Si noti che l'operazione di arricchimento/potatura va effettuata solo dopo che la configurazione è stata inclusa nel calcolo di C_n^* , per poi essere utilizzata nel passo successivo.

Un altro punto cruciale per l'efficienza dell'algoritmo è dato dalla scelta dell'atmosfera a_k : data la natura dell'ensemble che ci si propone di studiare, si è resa necessaria l'introduzione di un parametro libero q , che permette di controllare la forma geometrica dei cammini.

Sia $R_x[\omega]$ la funzione caratteristica del cammino ω , il cui valore è 1 se $x \in \omega$, e 0 altrimenti: la crescita dei nostri cammini viene definita dalla seguente probabilità di transizione:

$$\pi_{\omega_n^{(i)}}(q, \delta x) = \frac{q^{R_{S_n^{(i)} + \delta x}[\omega_n^{(i)}]}}{\sum_{|\delta x'|=1} q^{R_{S_n^{(i)} + \delta x'}[\omega_n^{(i)}]}}, \quad (6.46)$$

dove $\pi_{\omega_n^{(i)}}(q, \delta x)$ è la probabilità saltare nel sito $S_n^{(i)} + \delta x$ (trovandosi in $S_n^{(i)}$) al passo $(n + 1)$ -esimo. Essenzialmente, si tratta di un Myopic Self-Avoiding Walk ([42]) controllato dal parametro q : variando q possiamo aumentare ($q > 1$) o diminuire ($q < 1$) il numero medio di intersezioni eseguite dal cammino generato, ottenendo quindi una esplorazione parziale della distribuzione delle intersezioni $P_n(M)$ in zone lontane dal suo valore medio.

Il peso statistico legato al cammino $\omega_n^{(i)}$, e il relativo stimatore per al funzione di partizione sono

$$W_n^{(i)}(q) = \prod_{k=0}^{n-1} \pi_{\omega_k^{(i)}}(q, \delta x_k), \quad (6.47)$$

$$\langle W_n \rangle_q = S^{-1} \sum_i W_n^{(i)}(q). \quad (6.48)$$

Ora, detto Ω l'insieme dei cammini possibili, la media sul sottoinsieme $\Phi \in \Omega$ sarà data dalla relazione

$$\langle A \rangle_\Phi = \langle W_n \rangle_q^{-1} \sum_i A_{\omega_n^{(i)}} W_n^{(i)}(q) \mathbb{I}_{\omega_n^{(i)}}[\Phi], \quad (6.49)$$

con $\mathbb{I}_\omega[\Phi] = 1$ se $\omega \in \Phi$, e 0 altrimenti. Siccome siamo interessati a studiare i cammini con un rapporto fissato di intersezioni per monomero, nel nostro caso avremo $\Phi = \Omega_n(M)$.

Viene riportato di seguito lo pseudo-codice della subroutine principale: per semplicità si omettono tutte le costanti esterne, le variabili di implementazione e gli array di supporto (ad esempio l'array relativo allo stadio di *learning* e il meccanismo di limitazione delle ramificazioni).

Ciclo(x, n) {

E' la subroutine che simula i cammini con il metodo PERM descritto in precedenza: nel codice reale le variabili passate sono molto più numerose di x ed n (variabili di supporto, puntatori, registro delle configurazioni, etc ...), ma si è preferito ometterle, in favore di una esposizione più astratta

Esegui il passo $x' = x + \delta x_n$ con distribuzione $\pi_{\omega_{n-1}^{(i)}}(q, \delta x_n)$;

La prima operazione è l'esecuzione del passo in accordo con la (6.46): si omettono le variabili necessarie per l'esecuzione del passo, calcolate nel ciclo precedente.

$$w_n^{(i)} = w_{n-1}^{(i)} + \log \left[(q-1) \pi_{\omega_{n-1}^{(i)}}(q, \delta x_n) + 1 \right];$$

Calcola $\pi_{\omega_n^{(i)}}(q, \delta x_n)$;

Aggiorna i registri;

Viene calcolata la $w_n^{(i)} = \log(W_n^{(i)})$ relativa al cammino $\omega_n^{(i)}$ in esecuzione, e la $\pi_{\omega_n^{(i)}}(q, \delta x_n)$ da usare nell'eventuale ciclo successivo. Subito dopo, viene aggiornato l'array che registra la configurazione dei cammini.

$$Z_n = Z_n + \exp(w_n^{(i)});$$

$$S_n = S_n + 1;$$

Registra la statistica;

Aggiornamento delle variabili globali Z_n, S_n ($\langle W_n \rangle_q = Z_n/S_n$), e registrazione delle quantità di interesse secondo la (6.49), con $\Phi = \Omega_n(M)_m$ (nel codice reale è presente un array esterno di *learning*, compilato in uno stadio precedente del programma, necessario per evitare eventuali *overflow*). Di seguito inizia invece la procedura di potatura/arricchimento:

```
if (n < N) {
    r = S_n Z_n^{-1} exp(w_n^{(i)});
```

Dopo aver verificato di non essere già arrivati alla lunghezza N desiderata, si procede con il calcolo di $r = W_n^{(i)}(q) / \langle W_n \rangle_q$: a questo punto

```
if (r > 1) {
    if (r > 2d) {r = 2d;} else {r = [r];}
```

Se $r > 1$, $r < 2d$ si procede trasformando r nella sua parte intera (ovviamente, si possono fare solo un numero intero di copie del cammino), altrimenti, se $r > 2d$, si impone $r = 2d$, in quanto $2d$ è il massimo numero di prosecuzioni effettivamente diverse realizzabili, e averne di più non porterebbe alcun beneficio apprezzabile

```
w_n^{(i)} = w_n^{(i)} - log(r);
for (k = 0; k < r; k++) {Ciclo(x', n + 1);}
```

Si procede con l'abbassamento del peso $W_n^{(i)}(q)$ di un fattore $1/r$, e la successiva duplicazione dei cammini in r copie distinte, che verranno continuate indipendentemente (nel codice reale è presente una variabile che limita il numero massimo globale di biforcazioni, per evitare *overflow* di memoria)

```
} else {
    w_n^{(i)} = w_n^{(i)} - log(r);
    if (rand() < RANDMAX * r) {Ciclo(x', n + 1);}
}
```

Se invece $r < 1$ si aumenta il peso $W_n^{(i)}(q)$ di un fattore $1/r$, per poi continuare il cammino con probabilità r , o *potarlo* con probabilità $1 - r$.

```
return;
}
```

Quando si raggiunge la lunghezza N , la subroutine si ferma. Si sottolinea che la subroutine reale è stata implementata in linguaggio C, su macchina Intel Xeon E5520, con un utilizzo di memoria sempre al di sotto della Cache di III livello (8Mb).

L'algoritmo presentato è risultato estremamente efficiente nel simulare cammini in fase estesa ($m < m_c$), consentendo di calcolare le quantità di interesse per catene di lunghezza $\mathcal{O}(10^3)$, con errori $\sim 1\%$ e in tempi relativamente brevi (alcune ore). Per quanto riguarda la fase collassata ($m > m_c$), le simulazioni hanno evidenziato un aumento esponenziale di $\langle \Delta W_n^2 \rangle_q / \langle W_n \rangle_q$, dovuto all'insorgenza di correlazioni a lungo raggio tra i monomeri dei cluster: questa caratteristica (intrinseca al modello) ha reso le simulazioni molto dispendiose in termini computazionali, e ha permesso di simulare catene di lunghezza $\mathcal{O}(10^3)$ solo in una parte relativamente piccola dell'intervallo $m \in (m_c, 1)$.

In generale, l'impossibilità di simulare catene in fase collassata da parte degli algoritmi PERM è ben nota, e va ricercata nella definizione stessa di crescita cinetica: la regola di accrescimento nel RM e nel PERM è intrinsecamente locale, e dunque non permette di costruire efficientemente strutture clusterizzate, che sono invece caratterizzate da fluttuazioni su scala paragonabile alla loro taglia complessiva. Secondo questa linea di pensiero, algoritmi basati su movimenti globali, come il metodo dei Pivot, potrebbero risultare più adatti allo scopo.

Benché il PERM rappresenti ancora il metodo più diffuso per la simulazione dei polimeri, la situazione è destinata a cambiare entro breve. Infatti, una recente (e straordinariamente potente) evoluzione del metodo dei Pivot ([35, 43]) ha premesso di raggiungere risultati fino ad ora impensabili con le catene estese, e potrebbe rappresentare, in un prossimo futuro, una efficiente soluzione anche per la simulazione di polimeri clusterizzati.

Ringraziamenti

Si ringrazia Frank den Hollander (Università di Leiden), per aver suggerito la correzione $C_3 / \langle M_n \rangle$, e Riccardo Balzan (EPFL), per le notevoli intuizioni riguardo al processo stocastico definito nel capitolo terzo. Si ringraziano inoltre Jack F. Douglas (NIST) e Giorgio Parisi (Università di Roma "La Sapienza") per utili discussioni e suggerimenti, e Nathan Clisby (Università di Melbourne), Gregory F. Lawler (Università di Chicago), Gordon Slade (Università della British Columbia) per la disponibilità nel rispondere ad alcune importanti domande.

Bibliografia

- [1] F. Spitzer - *Principles of Random Walk* Springer, New York (2001)
- [2] B. D. Hughes - *Random Walks and Random Enviroments* Vol.1 Clarendon Press, Oxford (1995)
- [3] W. Feller - *An introduction to Probability Theory and Its Applications* Vol. 1 Wiley, New York (1950)
- [4] P. G. de Gennes - *Scaling Concepts in Polymer Physics* Cornell University Press (1979)
- [5] J. des Cloiseaux, J. Jannink - *Polymers in Solutions: Their Modelling and Structure* Oxford University Press (1990)
- [6] P. J. Flory - *Principles of Polymer Chemistry* Cornell University Press (1971)
- [7] N. Madras, G. Slade - *The Self-Avoiding Walk* Birkhauser, Boston (1996)
- [8] G. Polya - *Math. Ann.* 84, 149 (1921)
- [9] N. C. Jain, W. E. Pruitt - *J. Analyse Math.* 24, 369 (1971)
- [10] N. C. Jain, S. Orey - *Isr. J. Math.* 6, 373 (1968)
- [11] A. Dvoretzky, P. Erdos - *Proc. Second Berkley Symp. on Prob. and Statistics*, 353 (1951)
- [12] D. C. Torny - *J. Stat. Phys.* 44, 49 (1986)
- [13] M. van den Berg, E. Bolthausen, F. den Hollander - *Ann. Math.* 153, 355 (2001)
- [14] J. F. Douglas - *Phys. Rev. E* 54, 2677 (1996)
- [15] R. Balzan - *Comunicazione privata*
- [16] H. E. Stanley, K. Kang, S. Redner, R. L. Blumberg - *Phys. Rev. Lett.* 51, 1223 (1983), Erratum: *ibid.* 54, 1209 (1985)

- [17] C. Domb, C. S. Joyce - J. Phys. C 5, 956 (1972)
- [18] D. C. Brydges, T. Spencer - Comm. Math. Phys. 97, 125 (1985)
- [19] D. C. Brydges, G. Slade - Proc. International Congress of Mathematicians, Hyderabad, India (2010)
- [20] R. Bauerschmidt, H. Duminil-Copin, J. Goodman, G. Slade - Clay Mathematics Institute Summer School, Búzios, Brazil (2010)
- [21] M. D. Donsker, S. R. S. Varadhan - Comm. Pure. Appl. Math. 28, 525 (1975), Erratum: *ibid.* 28, 677 (1975)
- [22] M. van den Berg, B. Tóth - Probab. Th. Rel. Fields 88, 249 (1991)
- [23] S. Redner, K. Kang - Phys. Rev. Lett. 51, 1729 (1983), Erratum: *ibid.* 52, 401 (1984)
- [24] D. Y. C. Chan, B. D. Hughes - J. Phys. A 17, L121 (1984)
- [25] H. Kleinert - *Path Integrals in Quantum Mechanics, Statistics, and Polymer Physics* World Scientific (1990)
- [26] Y. Hamana, H. Kesten - Probab. Th. Relat. Fields 120, 183 (2001)
- [27] P. G. de Gennes - J. Physique Lett. 36, L55 (1975), *ibid.* 39, L299 (1978)
- [28] B. Duplantier - J. Physique 43, 991 (1982)
- [29] J. F. Douglas - Macromolecules 22, 1786 (1989)
- [30] P. Grassberger - Phys. Rev. E 56, 3682 (1997)
- [31] B. Nienhuis - Phys. Rev. Lett. 49, 1062 (1982)
- [32] N. Clisby, R. Liang, G. Slade - J. Phys. A 40, 10973 (2007)
- [33] T. Hara, G. Slade - Commun. Math. Phys. 147, 101 (1992), Reviews in Math. Phys. 4, 235 (1992)
- [34] N. Madras, A. D. Sokal - J. Stat. Phys. 50, 109 (1988)
- [35] N. Clisby - Phys. Rev. Lett. 104, 055702 (2010)
- [36] A. L. Owczarek, T. Prellberg - J. Phys. A 34, 5773 (2001)
- [37] J. C. Le Guillou, J. Zinn-Justin - J. Phys. France 50, 1365 (1989)
- [38] E. Bolthausen - Ann. Prob. 18, 1576 (1990)
- [39] A. S. Sznitman - Comm. Pure Appl. Math. 43, 809 (1990)
- [40] T. Prellberg, J. Krawczyk - Phys. Rev. Lett. 92, 120602 (2004)

- [41] M. N. Rosenbluth, A. W. Rosenbluth - J. Chem. Phys. 23, 356 (1955)
- [42] D. J. Amit, G. Parisi, L. Peliti - Phys. Rev. B 27, 1635 (1983)
- [43] N. Clisby - J. Stat. Phys. 140, 349 (2010)

